

П-168

Азәрбајҹан ССР
Елмләр Академијасы
Академия наук
Азербайджанской ССР

ISSN 0002-3078

МӘРУЗӘДАӘР
ДОКЛАДЫ

ЧИЛД
ХLV
ТОМ



1989

ГМБ

ДАН Азерб. ССР публикует краткие сообщения об оригинальных, ингде не опубликованных ранее, результатах научных исследований, представленные академиками АН Азерб. ССР, которые тем самым берут на себя ответственность за научные достоинства представляемой статьи.

В «Докладах» не публикуются крупные статьи, механически разделенные на ряд отдельных сообщений, статьи полемического характера, без новых фактических сообщений, статьи полемического характера, без новых фактических данных, статьи с описанием промежуточных опытов, без определенных выводов и обобщений, чисто методические статьи, если предлагаемый метод не является принципиально новым, а также статьи по систематике растений и животных (за исключением описания особо интересных для науки находок).

Будучи органом срочной информации, журнал «ДАН Азерб. ССР» принимает и отбирает к печати статьи, объем которых допускает их публикацию в установленные решение Президиума АН Азерб. ССР сроки.

В связи со всеми перечисленными ограничениями отклонение статьи редакцией «Доклады АН Азерб. ССР» означает только, что она не согласуется с требованиями и во: 1929 *Документ АИ Азерб ССР*

РЗ

3

просит авторов руководствоваться ознакомится с ними

, к рассмотрению не прини-

меть представление члена АН
тся (см. выше).

не редакцией не принимаются:
ищественным поводом для вне-
кость сообщения и соображ-
ешение редколлегии.

енные статьи на рецензию.
ного автора в год. Это правило
сов Академии наук Азерб. ССР.
ый следует поместить статью, а
личной классификации (УДК). К
ерат в двух экземплярах, пред-
курналов ВИНИТИ.

ание учреждения, в котором вы-
гакже полный почтовый адрес и
соавтора.

азать лицо, с которым редакция

не означает, что статья принята
рукопись вновь рассматривается
риуть вместе с первоначальным
чания. Датой поступления считаются
статьи.

не более 1/4 авторского листа
кт, таблицы, библиография (не
не должно превышать четырех,
вклейки на мелованной бумаге,
льшого увеличения. Штриховые
печатаются, а даются на кальке
двух экземплярах. Повторени-
х недопустимо. Рисунки долж-
ающем ясность передачи все-
бумаге. Подписи к рисункам
з два интервала на отдельных
указываются фамилии авторов

(о обложки)

АЗЭРБАЙЧАН ССР ЕЛМЛЭР АКАДЕМИЯСЫ
АКАДЕМИЯ НАУК АЗЕРБАЙДЖАНСКОЙ ССР

МО'РУЗЭЛЭР ДОКЛАДЫ

ТОМ XLV ЧИЛД

№ 3

«ЕЛМ» НӘШРИЙАТЫ—ИЗДАТЕЛЬСТВО «ЭЛМ»
БАКЫ — 1989 — БАКУ

УДК 517. 51

МАТЕМАТИКА

РЕДАКЦИОННАЯ КОЛЛЕГИЯ:

Э. Ю. Салаев (главный редактор), Г. Б. Абдуллаев, М. Т. Абасов,
 В. С. Алиев, Г. А. Алиев, Дж. А. Алиев, И. Г. Алиев, Дж. Б. Гулиев,
 Н. А. Гулиев, М. З. Джафаров, Ф. Г. Максудов, А. А. Надиров,
 Ю. М. Сенцов (зам. главного редактора), М. А. Усейнов
 Г. Г. Зейналов (ответств. секретарь).

А. Д. ДЖАБРАИЛОВ, Н. И. ГУЛИЕВ

ПРОМЕЖУТОЧНЫЕ ТЕОРЕМЫ ВЛОЖЕНИЯ ПРОСТРАНСТВ
ФУНКЦИЙ С ОБОБЩЕННОЙ ГЛАДКОСТЬЮ

(Представлено академиком АН Азербайджанской ССР Ф. Г. Максудовым)

В работе определяются и изучаются (с точки зрения теорем вложения) общие функциональные пространства дифференцируемых функций, определенных в n -мерной области, произвольно заданный набор из $n+1$ смешанных производных, которые удовлетворяют кратному интегральному условию Гельдера общего вида.

Пусть $f=f(x)$ —функция точек $x \in E_n$. Векторы $m=(m_1, \dots, m_n)$, $N=(N_1, \dots, N_n)$ —целочисленные неотрицательные, т. е. координаты m_j , N_j ($j=1, \dots, n$)—неотрицательны и целые.

Полагаем, что

$$\Delta^N(t)f = \Delta_1^{N_1}(t_1) \cdots \Delta_n^{N_n}(t_n)f,$$

$$D^m f = D_1^{m_1} \cdots D_n^{m_n} f, \quad D_k^{m_k} f = \frac{\partial^{m_k} f}{\partial x_k^{m_k}},$$

где $\Delta_i^{N_i}(t_i)f$ —конечная разность функции f порядка N_i по направлению x_i с шагом t_i .

Пусть область $G \in E_n$, тогда полагаем, что

$$\Delta^N(t; G)f = \Delta^N(t)f,$$

если только кратная разность строится по вершинам параллелепипеда, целиком принадлежащего области G , а в противном случае полагаем

$$\Delta^N(t; G)f = 0.$$

Вводим полуформу

$$\|f, L_{p,0}^{(m; N)}(G, \varphi)\| = \left(\int_{B_{|\varepsilon|}} \left\| \frac{\Delta^N\left(\frac{t}{N}; G\right) D^m f}{\prod_{j \in \varepsilon} \varphi_j(t_j)} \right\|^0 \prod_{j \in \varepsilon} \frac{dt_j}{t_j} \right)^{\frac{1}{0}},$$

где $| \leq p, 0 \leq \infty; \varepsilon = \text{supp } N$ и, итель вектора N , т. е. множество индексов отличных от нуля координат вектора $N=(N_1, \dots, N_n)$; $|\varepsilon|$ —количество элементов множества ε ;

$$\frac{t}{N} = \left(\frac{t_1}{N_1}, \dots, \frac{t_n}{N_n} \right),$$

причем

$$\frac{t_j}{N_j} = 0 \quad (j \notin \varepsilon);$$

$$E_{|\varepsilon|} = \{t \in E_n; t_j = 0 \quad (j \notin \varepsilon)\}.$$

© Издательство «Эли», 1989 г.

Предположено, что

$$\|\cdot\|_{p,G} = \left(\int_G |\cdot|^p dx \right)^{\frac{1}{p}}, \quad 1 \leq p < \infty,$$

$$\|\cdot\|_{\infty,G} = \sup_{x \in G} |\cdot|.$$

В случае $\theta = \infty$

$$\|f, L_{p,0}^{<m^k, N^k>} (G; \varphi)\| = v \sup_{x \in G} \left\| \frac{\Delta^N \left(\frac{t}{N}; G \right) D^m f}{\prod_{j \in \varepsilon} \varphi_j(t_j)} \right\|_{p,G}$$

Координаты вектора $\varphi = (\varphi_1, \dots, \varphi_n)$, $\varphi_k = \varphi_k(t_k)$ ($k = 1, \dots, n$) удовлетворяют условию α_1 :

$$\varphi_k(t_k) > 0 \quad (t_k \neq 0), \quad \varphi_k(t_k) \downarrow 0 \quad (|t_k| \downarrow 0),$$

причем при $\gamma_k > 0$ ($0 < \gamma_k < \infty$)

$$\frac{\varphi_k(\gamma_k)}{\gamma_k^{N_k}} \left(\int_0^{\gamma_k} \left(\frac{\xi^{N_k}}{\varphi_k(\xi)} \right)^0 \frac{d\xi}{\xi} \right)^{\frac{1}{0}} \leq \text{const},$$

$$\varphi_k(\gamma_k) \left(\int_{\gamma_k}^{\infty} \left(\frac{1}{\varphi_k(t_k)} \right)^0 \frac{dt_k}{t_k} \right)^{\frac{1}{0}} \leq \text{const}$$

для всех $k \in \varepsilon = \text{supp } N$.

Аналогичные условия имеют место и на $]-\infty, 0]$.

Будем предполагать, что область $G \in A(\omega; h)$, т. е. область G удовлетворяет условию « ω -рога» (см. работу [3] О. В. Бескова), при этом координаты вектор-функции $\omega = (\omega_1, \dots, \omega_n)$ $\omega_k = \omega_k(v)$ ($0 < v \leq h$) удовлетворяет условию α_2 :

$$\omega_k(v) > 0 \quad (0 < v \leq h), \quad \omega_k(v) \downarrow 0 \quad (v \downarrow 0+), \quad (k = 1, \dots, n)$$

являются дифференцируемыми функциями

$$(\omega'_k(v) > 0, \quad k = 1, \dots, n, \quad 0 < v \leq h).$$

Обозначим через

$$\prod_{k=0}^n L_{p_k, \theta_k}^{<m^k, N^k>} (G; \varphi^k) \quad (I)$$

замыкания множества достаточно гладких финитных в E_n функций по

$$\sum_{k=0}^n \|f, L_{p_k, \theta_k}^{<m^k, N^k>} (G; \varphi^k)\| < \infty,$$

где предполагается, что имеют место условия 1)—4), т. е.

$$1) \quad 1 \leq p_k \leq \theta_k \leq \infty \quad (k = 0, 1, \dots, n);$$

2) $m^k = (m_1^k, \dots, m_n^k)$, $N^k = (N_1^k, \dots, N_n^k)$ ($k = 0, 1, \dots, n$) — целочисленные неотрицательные векторы такие, что

$$\text{supp } (m^0 + N^0) \subseteq e_n \stackrel{\text{def}}{=} \{1, \dots, n\},$$

$$\{k\} \subseteq \text{supp } (m^k + N^k) \subseteq e_n \quad (k = 1, \dots, n);$$

3) Область $G \in A(\omega; h)$, $h > 0$ и справедливо условие α_2 ;

4) Координаты каждого из векторов

$$\varphi^k = (\varphi_1^k, \dots, \varphi_n^k), \quad \varphi_j^k = \varphi_j^k(t_j)$$

для всех $j \in \text{supp } N^k = \varepsilon_k$ удовлетворяет условию α_1 при соответствующих $\theta = 0_k$, $N_j = N_j^k$. (см. (3)).

Пусть $v = (v_1, \dots, v_n)$ — целочисленный неотрицательный вектор, удовлетворяющий условию

$$v_j \geq m_j^0 + N_j^0 \quad (j = 1, \dots, n),$$

$$v_k < m_k^k + N_k^k, \quad v_j \geq m_j^k + N_j^k \quad (j \neq k) \quad (k = 1, \dots, n).$$

Обозначим ($q > p_k$) выражения

$$Q_k(v) = \prod_{j=1}^n (\omega_j(v))^{\frac{m_j^k - v_j - \frac{1}{p_k} + \frac{1}{q}}{q}} \prod_{j \in \varepsilon_k} \varphi_j^k(\omega_j(v)) \quad (k = 0, 1, \dots, n).$$

Теорема 1. Пусть f принадлежит пространству (I), причем имеют место 1)—4). Вектор $v = (v_1, \dots, v_n)$ — целочисленный неотрицательный и удовлетворяет условие α_3 , причем

$$\omega_k(h) = \int_0^h Q_k(v) \frac{d\omega_k(v)}{\omega_k(v)} < \infty \quad (k = 1, \dots, n).$$

Тогда

$$D^\alpha f \in L_q(G),$$

причем существует $h_0 > 0$ такое, что справедливо неравенство

$$\|D^\alpha f\|_{q,G} \leq c(Q_0(h) \|f, L_{p_0, \theta_0}^{<m^0, N^0>} (G; \varphi^0)\| + \sum_{k=1}^n W_k(h) \|f, L_{p_k, \theta_k}^{<m^k, N^k>} (G; \varphi^k)\|) \quad (2)$$

при $0 < h \leq h_0$, где c — постоянная, независящая от f и h .

Пусть теперь вектор $m+v = (m_1+v_1, \dots, m_n+v_n)$ удовлетворяет условию α_3 , т. е.

$$m_j + v_j \geq m_j^0 + N_j^0 \quad (j = 1, \dots, n),$$

$$m_k + v_k < m_k^k + N_k^k \quad v_j + m_j \geq m_j^k + N_j^k \quad (j \neq k) \quad (k = 1, \dots, n),$$

при этом

$$H_k(v) = \frac{\prod_{j \in \varepsilon_k} \varphi_j^k(\omega_j(v))}{\prod_{j \in \varepsilon_{-k}} \varphi_j^k(\omega_j(v))} \cdot \prod_{j=1}^n (\omega_j(v))^{\frac{m_j^k - v_j - m_j - \frac{1}{p_k} + \frac{1}{q}}{q}},$$

где $1 \leq p_k \leq g \leq \infty$, $\varepsilon = \text{supp } N$, $\varepsilon_k = \text{supp } N^k$ ($k = 0, 1, \dots, n$).

Теорема 2. Пусть f принадлежит пространству (I), причем имеют место условия 1)—4).

Вектор $m+v$ удовлетворяет условию α_3 , причем

$$R_k(h) = \int_0^h H_k(v) \frac{d\omega_k(v)}{\omega_k(v)} < \infty \quad (k = 1, \dots, n).$$

Тогда

$$D^\alpha f \in L_{q,0}^{<m:N>} (G; \varphi),$$

где $1 < q \leq 0 \leq \infty$, $N = (N_1, \dots, N_n)$, $\varphi = (\varphi_1, \dots, \varphi_n)$ такие, что имеет место условие α_1 , причем существует $h_0 > 0$ такое, что справедливо неравенство

$$\|D^* f, L_{q,0}^{(m,N)}(G; \varphi)\| \leq C(H_0(h) \|f, L_{p_k,0_k}^{(m_k,N_k)}(G; \varphi^k)\| + \sum_{k=1}^n R_k(h) \|f, L_{p_k,0_k}^{(m_k,N_k)}(G; \varphi^k)\|) \quad (3)$$

при $0 < h \leq h_0$, где C —постоянная, независящая от f и h .

Заметим, что неравенство (2) в частном случае при $\varepsilon_0 = \emptyset$, $\varepsilon_k = \{k\}$ ($k=1, \dots, n$), $m_k = (0, \dots, 0)$ ($k=0, 1, \dots, n$) ранее для $G=E_n$ исследованы в работах [1, 2]. Пространства (1) в случае степенных вектор-функций φ , φ^k ($k=0, 1, \dots, n$) для областей с $\omega(h) = (h^{v_1}, \dots, h^{v_n})$ исследовались в работе [3]. Пространства (1) являются обобщениями известных пространств С. М. Никольского, О. В. Бесова (см. по поводу этих пространств работы [4–10]).

Литература

1. Гольдман М. Л.—Труды МИАН СССР, 1984, т. 170.
2. Ильин Н. А.—ДАН СССР, т. 289, 1986, № 5.
3. Джабраилов А. Д.—Труды МИАН СССР, 1972, т. 117.
4. Бесов О. В.—Труды МИАН СССР, 1961, т. 60.
5. Никольский С. М.—Труды МИАН СССР, 1951, т. 38.
6. Ильин В. П.—Труды МИАН СССР, 1962, т. 66.
7. Кудрявцев Л. Д.—Успехи матем. наук, 1954, т. 9, № 1.
8. Лизоркин П. И.—Сибирский матем. журн., 1968, т. 9, № 5.
9. Бесов О. В., Ильин В. П., Никольский С. М.—Интегральные представления функций и теоремы вложения.—М.: Наука, 1975.
10. Никольский С. М.—Приближения функций многих переменных и теоремы вложения.—М.: Наука, 1969.

Азербайджанский инженерно-строительный институт

Поступило 25. X 1987

Э. Д. Чабраильов, Н. И. Гулиев

ҮМУМИ ҺАМАРЛЫГЛЫ ФУНКСИАЛАР ФӘЗАСЫ ҮЧҮН АРАЛЫГ ДАХИЛОЛМА ТЕОРЕМЛӘРИ

Мәгәләдә иктияри $n+1$ сајда гарышыг төрәмәләри n -өлчүлүк областда үмумиләшмиш Һелдер шәрттиниң өдөрөн функциялар фәзасы үчүн дахилолма теоремләри верилир.

A. D. Jabrailov, N. I. Guliev

INTERMEDIATE THEOREMS OF ENCLOSURE OF SPACES OF FUNCTIONS WITH THE GENERALIZED SMOOTHNESS

In this article the general functional spaces of the differentiable functions defined in n -dimensional region of arbitrary given, collection from the $n-1$ mixed derivatives which satisfy multiple integral condition of the Helder of general view are investigated.

АЗӘРБАЙҖАН ССР ЕЛМЛӘР АКАДЕМИЯСЫНЫН МӘРҮЗӘЛӘРИ

ДОКЛАДЫ АКАДЕМИИ НАУК АЗЕРБАЙДЖАНСКОЙ ССР

ТОМ XLV ЧИЛД

№ 3

1989

УДК 621.315.592

ФИЗИКА ПОЛУПРОВОДНИКОВ

А. Ш. АБДИНОВ, А. М. ГУСЕИНОВ, Л. Н. МУЛИНА,
Ю. Г. НУРУЛЛАЕВ, М. М. СЕИДОВ

ОСОБЕННОСТИ ОТРИЦАТЕЛЬНОЙ ФОТОПРОВОДИМОСТИ В МОНОКРИСТАЛЛАХ СЛОИСТЫХ ПОЛУПРОВОДНИКОВ СЕЛЕНИДОВ ИНДИЯ И ГАЛЛИЯ

(Представлено академиком АН Азербайджанской ССР Э. Ю. Саласым)

В низкоомных ($\rho_{\text{то}} \leq 10^2 \div 10^3$ Ом см при $T=300$ К) и обладающих свойством фотоэлектрической памяти [1] высокоомных ($\rho_{\text{то}} \geq 10^5 \div 10^6$ Ом см при $T \approx 300$ К) кристаллах InSe и GaSe исследована отрицательная фотопроводимость.

Установлено, что во всех изучаемых образцах (независимо от ρ при относительно высоких T фотопроводимость наблюдается лишь в области собственного поглощения (рис. 1). При $T \leq 200$ К и $T \leq 150$ К

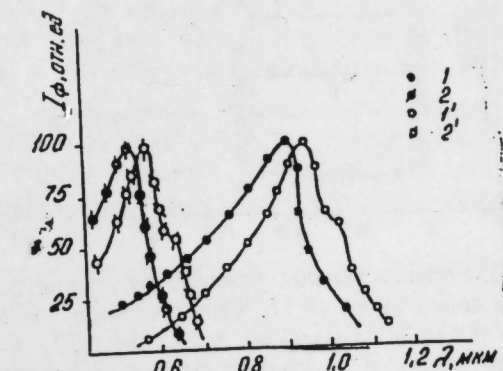


Рис. 1. Спектральное распределение фотопроводимости в низкоомных (кр. 1 и 2) и высокоомных (кр. 1' и 2') кристаллах InSe (кр. 1 и 1') и GaSe (кр. 2 и 2') при $T=300$ К

для InSe и GaSe, соответственно, помимо собственной фотопроводимости (ФП), в низкоомных кристаллах наблюдается также слабая отрицательная фотопроводимость (ОФП), а в высокоомных — ОФП и положительная примесная фотопроводимость (рис. 2).

В низкоомных кристаллах как ФП, так и ОФП имеют безынерционный характер ($\tau \leq 10^{-5}$ с). В высокоомных кристаллах как собственная и примесная фотопроводимость, ОФП тоже имеет медленный характер. При выключении света исходное темновое значение тока ($I_{\text{то}}$) устанавливается в два этапа. В начальном этапе ток через образец (I) резко несколько увеличивается, а в последующем этапе со временем роста I замедляется (рис. 3). Наконец, зависимость I от времени (t) становится такой медлен-

ной, что как-будто проводимость образца не меняется. В этом состоянии, хотя на образец не действует свет, однако квазистационарное значение проводимости или тока через образец (I_{τ}^-) оказывается заметно меньше $I_{\text{то}}^-$, наблюдается остаточная ОФП величиной $\Delta T_{\tau}^- = I_{\text{то}}^- - I_{\tau}^-$. При этом $\Delta I_{\Phi} = I_{\text{то}}^- - I_{\Phi}^-$ (где I_{Φ}^- — стационарное значение ОФП) и ΔI_{τ}^- , а также определяемые в виде $\beta = \frac{\Delta I_{\Phi}}{I_{\text{то}}}$ и $\beta_0 = \frac{\Delta I_{\tau}^-}{I_{\text{то}}}$ глубины ОФП и остаточной

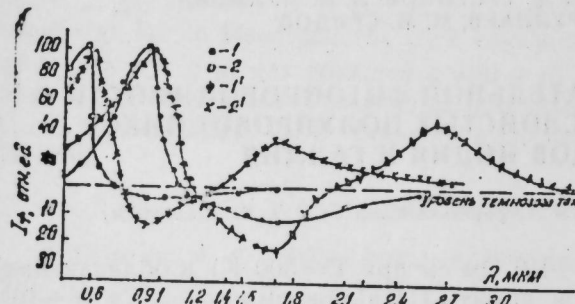


Рис. 2. Спектральное распределение фотопроводимости в низкоомных (кр. 1 и 2) и высокоменных (кр. 1' и 2') кристаллах InSe (кр. 1 и 1') и GaSe (кр. 2 и 2') при $T = 77$ К

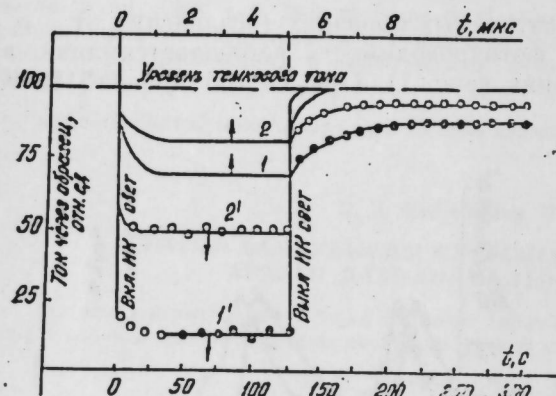


Рис. 3. Кинетика ОФП в низкоомных (кр. 1 и 2) и высокоменных (кр. 1' и 2') кристаллах InSe (кр. 1 и 1') и GaSe (кр. 2 и 2'). $T = 77$ К; $\lambda = 1,70$ мкм (InSe); $\lambda = 0,85$ мкм (GaSe)

ОФП, соответственно, зависят от длины волны (λ) и интенсивности ($\Phi_{\text{п}}$) примесного света от I . Спектральное распределение остаточной ОФП в InSe и GaSe охватывает диапазон $1,20 < \lambda < 2,80$ и $0,68 < \lambda < 2,00$ мкм, соответственно, и несколько смещено в сторону больших λ относительно спектрального распределения ОФП в низкоомных кристаллах. Максимум спектрального распределения остаточной ОФП в InSe и GaSe соответствует $\lambda_m = 1,70$ и $\lambda_m = 0,85$ мкм, соответственно.

Обнаружение остаточной ОФП хорошо проявляется на кривых темновых ВАХ в омическом участке (рис. 4). Установлено, что при относительно малых интенсивностях примесного света с ростом $\Phi_{\text{п}}$ величины ΔI_{Φ}^- и ΔI_{τ}^- (соответственно β и β_0) линейно увеличиваются, далее в широком интервале $\Phi_{\text{п}}$ кривые зависимости $\Delta I_{\Phi}^-(\Phi_{\text{п}})$ и $\Delta I_{\tau}^-(\Phi_{\text{п}})$ выходят на насыщение, и при более высоких $\Phi_{\text{п}}$ значение ΔI_{Φ}^- и ΔI_{τ}^- уменьшается. В изучаемых кристаллах при относительно низких $\Phi_{\text{п}}$ доминирует ОФП, а при более высоких $\Phi_{\text{п}}$ — в области относительно больших λ появляется и ПФП ($I_{\Phi\text{п}}$). С дальнейшим ростом $\Phi_{\text{п}}$ ПФП начинает преобладать и $I_{\Phi} = I_{\Phi}^- + I_{\Phi\text{п}}$

оказывается положительной, но меньше $I_{\Phi\text{п}}$. При этом с ростом $\Phi_{\text{п}}$ красная граница ОФП смещается в сторону относительно коротких λ .

В состоянии остаточной ОФП, во-первых, величина собственного и примесного фототока оказывается меньше, имеющего место в исходном состоянии; во-вторых, на кривых спектрального распределения

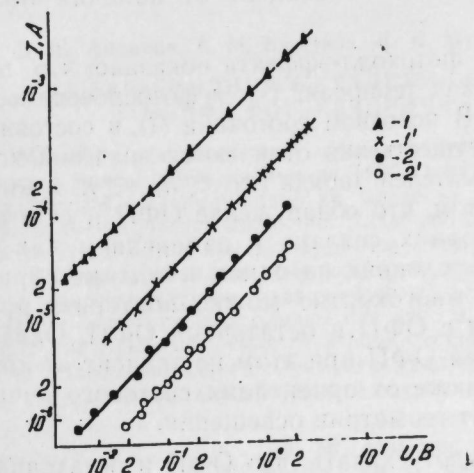


Рис. 4. ВАХ высокоменных кристаллов InSe (кр. 1 и 1') и GaSe (кр. 2 и 2') в исходном состоянии (кр. 1 и 2) и в состоянии остаточной ОФП (кр. 1' и 2') при $T = 77$ К.

ОФП при $1,60 < \lambda < 2,15$ и $0,90 < \lambda < 1,80$ мкм для InSe и GaSe, соответственно, наблюдается некоторая впадина. Максимум этой впадины в InSe соответствует $\lambda = 2,00$ мкм, а в GaSe — $\lambda = 1,40$ мкм.

С ростом T от 77 К ΔI_{Φ}^- и ΔI_{τ}^- уменьшаются сначала очень слабо, а далее резко и при $T \geq 200$ К и $T > 220$ К в InSe и GaSe, соответственно, эффекты ОФП и остаточной ОФП совсем исчезают. Обнаруженная сильная зависимость ΔI_{τ}^- от T позволяет осуществить температурное стирание состояния с остаточной ОФП.

Установлено, что имеет место и оптическое стирание состояния с остаточной ОФП путем освещения образца примесным светом с $\lambda = 1,60 \div 2,15$ и $\lambda = 0,90 \div 1,80$ мкм для InSe и GaSe, соответственно. Максимум спектрального распределения оптического стирания при этом в InSe соответствует $\lambda = 2,00$ мкм, а в GaSe — $\lambda = 1,40$ мкм. В отличие от температурного стирания при этом стопроцентного разрушения состояния с остаточной ОФП не происходит.

Исследование термостимулированной проводимости (ТСП) в образцах, находящихся в исходном состоянии и в состоянии остаточной ОФП, показало, что во втором случае на кривых ТСП помимо обнаруженных в исходном состоянии трех пиков (пиков, соответствующих наличию в запрещенной зоне уровней прилипания с глубиной залегания $e_{11} = 0,06$ эВ, $e_{12} = 0,11$ эВ, $e_{13} = 0,34$ эВ и $e_{11} = 0,08$ эВ, $e_{12} = 0,35$ эВ, $e_{13} = 0,43$ эВ InSe и GaSe, соответственно) наблюдается еще и четвертый относительно слабый пик, свидетельствующий о наличии уровня прилипания с $e_{14} = 0,55$ и $e_{14} = 0,60$ эВ для InSe и GaSe, соответственно. После температурного или оптического стирания состояния с остаточ-

ной ОФП этот дополнительный пик исчезает. Аналогичные результаты наблюдаются и при изучении индуцированной примесной фотопроводимости в изучаемых образцах.

Установлено, что ход кинетики, спектрального распределения, ЛАХ, температурной зависимости, а также численные значения отдельных параметров ОФП и остаточной ОФП в изучаемых кристаллах InSe и GaSe при прочих одинаковых условиях не зависят от наличия токов в образце.

Исследование эффекта Холла и фотохолл-эффекта показало, что при всех изученных условиях как темновая, так и фотопроводимость в InSe имеет n -типа, а в GaSe — p -типа. В исходном состоянии (I), в состоянии ОФП (II) и остаточная ОФП (III) существенно отличаются значения концентрации (n) и подвижности (μ) носителей заряда ($n_{II} < n_{III} < n_I$ и $\mu_{II} < \mu_{III} < \mu_I$). Это свидетельствует о том, что обнаружение ОФП и остаточной ОФП при рассмотренных условиях связано с изменением как n , так и μ . При одинаковых внешних условиях на одном и том же образце с высокой воспроизводимостью многократно можно повторить процессы записи и стирания состояния с ОФП и остаточной ОФП. Оказалось, что как ОФП, так и остаточная ОФП при этом не зависит от контактов и поверхности образца, а также от ориентации светового пучка относительно оси «С» кристалла и от геометрии освещения.

Полученные результаты позволяют сказать, что ОФП и остаточная ОФП в InSe и GaSe не связаны с эффектами поляризации, фотохимическими реакциями, тепловыми, контактными и поверхностными явлениями, фазовыми переходами и структурными изменениями, а также другими необратимыми процессами, происходящими под действием внешних воздействий.

ОФП может объясняться наличием в запрещенной зоне изучаемых материалов двух групп рекомбинационных центров (быстрых — s и медленных — r) [2].

Остаточная ОФП может объясняться на основе следующей модели. В запрещенной зоне состоящей из низкоомной матрицы (НО), с высокоомными включениями (ВО) высокоомных кристаллов InSe и GaSe [3] существуют r -медленные и s -быстрые центры рекомбинации, а также α -мелкие и β -глубокие уровни прилипания (s -и α -уровни локализованы в НО, а r -и β -уровни — в ВО). При освещении такой системы примесным светом с определенной λ часть исходных основных носителей заряда перебрасывается с НО в ВО и захватывается там на β -уровнях. В результате этого концентрация неосновных носителей заряда на s -центрах резко увеличивается и из-за сильного роста скорости рекомбинации проводимость образца длительное время остается меньше исходного темнового — наблюдается остаточная ОФП. Этот механизм хорошо объясняет все основные особенности и характеристики остаточной ОФП. По красной границе спектра оптического стирания остаточной ОФП определена глубина залегания β -уровней ($e = e_c - 0,50$ эВ и $e = e_v + 0,68$ эВ в InSe и GaSe, соответственно), а по красной границе спектрального распределения ОФП — глубина залегания r -центров рекомбинации ($e_r = e_v + 0,50$ эВ и $e_r = e_c - 0,60$ эВ в InSe и GaSe, соответственно) в изучаемых кристаллах.

Литература

1. Абдинов А. Ш. Автореф. дис... докт. физ.-мат. наук. — Баку, 1979. 2. Бьюб Р. Фотопроводимость твердых тел. — М.: Мир, 1962. — 558 с. 3. Абдинов А. Ш., Гасанов Я. Г., Аббасова П. Г. — ФТП, 1983, т. 17, вып. 8, с. 1525.

Азербайджанский государственный университет
им. С. М. Кирова

Поступило 12. VII 1988

Э. Ш. Абдинов, А. М. Гусейнов, Л. Н. Мулина, Ю. Г. Нуруллаев, М. М. Сеидов
ЛАЙВАРЫ ИНДИУМ ВӘ ГАЛИУМ-СЕЛЕН МОНОКРИСТАЛЛАРЫНДА
МӘНФИ ФОТОКЕЧИРИЧИЛИЖИН ХҮСУСИЈЈӘТЛӘРИ

Мәгаләдә тәчрүби олараг мұхтәлиф хүсуси мұғавимәтли InSe әуе GaSe монокристалында мәнфи фотокеңиричилек (МФК) һадисесинин хүсусијјәтләри тәдигін олумыштыру. Мұғајжыләшdirilmishdir ки, алчаг әуе јүкесек мұғавимәтли кристалларда МФК фәргли хүсусијјәтләре маликдир. Алчаг мұғавимәтли кристалларда МФК әталәтсизdir, јүкесек мұғавимәтли кристалларда исә галыг мәнфи фотокеңиричилек мүшәнидә олунып, Қөстәрілмешdir ки, биринчи групп кристалларда МФК-нын хүсусијјәтләри биринче јарымкеңиричинин гадаған олумыш зонасында ики групп (јеини әуе јаваш) рекомбинация мәркәзләринин олмасы илә изаһ едила билир. Јүкесек омлы кристалларда исә галыг МФК-ны изаһ етмәк үчүн һәмни геңи-биринче јарымкеңиричиләр үчүн ики барырлы модели әуе гадаған олумыш зонада ики тип рекомбинация (јеини әуе јаваш) әуе ики тип јапышма (дајаз әуе дәрени) мәркәзләри олдугуну нәзәрә алмаг лазымыдыр.

A. Sh. Abdinov, A. M. Guseinov,
L. N. Mulina, Yu. G. Nurullaev, M. M. Seydov

THE PECULIARITIES OF THE NEGATIVE PHOTOCONDUCTIVITY IN InSe AND GaSe SINGLE CRYSTALS

The negative photoconductivity is investigated in InSe and GaSe single crystals with different resistivity (ρ_{T_0}). In crystals studied the peculiarities of this effect are found to depend considerably on ρ_{T_0} . In lowohmic crystals the negative photoconductivity has the noninertial character and is well explained on the base of nonhomogeneous semiconductor model with two types (rapid und slow) of recombination centres in the forbidden gap. In high-ohmic crystals the negative photoconductivity has a slow relaxation character and is explained on the base of the two-barrier model of the space-nonhomogeneous semiconductor with two types (rapid and slow) of recombination centres and two types (shallow and deep) of trapping levels as well.

УДК 621.315.592

ФИЗИКА ПОЛУПРОВОДНИКОВ

Н. А. АГАЕВ, Г. Х. АЖДАРОВ

ПОДВИЖНОСТЬ ДЫРОК В КРИСТАЛЛАХ ТВЕРДЫХ РАСТВОРОВ ГЕРМАНИЙ-КРЕМНИЙ ПРИ РАССЕЯНИИ НА КОЛЕБАНИЯХ РЕШЕТКИ

(Представлено академиком АН Азербайджанской ССР М. И. Алиевым)

Подвижность свободных носителей заряда в полупроводниках определяется конкретной зонной структурой кристалла и характером их взаимодействия с акустическими и оптическими ветвями колебаний решетки, а также с несовершенствами кристаллической структуры (ионизированные и нейтральные примесные центры, вакансии междуузельные атомы, дислокации и т. д.). Как известно, в кристаллах твердых растворов помимо указанных механизмов имеет место еще дополнительное рассеяние, обусловленное беспорядками сплава [1], которое существенно влияет на величину подвижности носителей заряда.

Настоящая работа посвящена изучению закономерностей изменения подвижности дырок в кристаллах твердых растворов Ge—Si с составом при их рассеянии на колебаниях решетки. Исследования проводились на монокристаллах Ge—Si с содержанием кремния до 15 ат%, выращенных методом твердой подпитки расплава [2]. Все кристаллы, выращенные этим методом, обладают дырочной проводимостью, обусловленной неконтролируемыми, легкоионизируемыми акцепторными центрами с концентрацией $\sim 10^{14} \div 10^{15} \text{ см}^{-3}$. С целью уменьшения влияния примесных центров на подвижность дырок для исследований отбирались кристаллы с наименьшей концентрацией примесных центров ($\sim 10^{14} \text{ см}^{-3}$). На рис. 1 представлены температурные зависимости

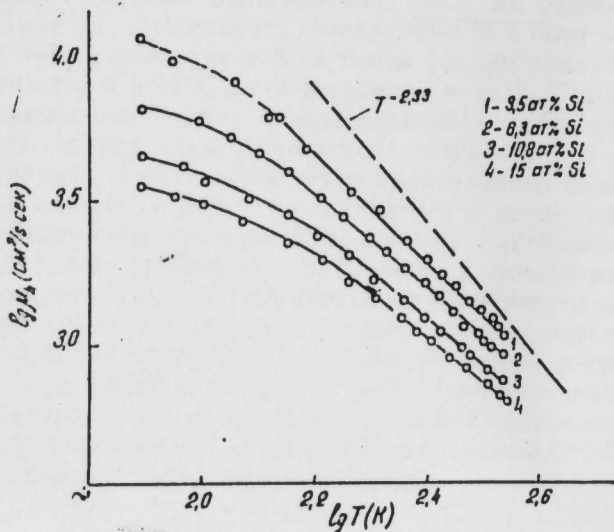


Рис. 1. Температурные зависимости омической подвижности дырок в кристаллах твердых растворов германий-кремний

омической подвижности для нескольких таких кристаллов с различным составом в области 77—300 К. Кривые построены на основании экспериментальных данных холловской подвижности и Холл-фактора дырок [3]. Ввиду относительно небольшой концентрации ионизированных и нейтральных примесных центров в кристаллах можно, показать, что их вклад в рассеяние дырок при $T > 100$ К будет пренебрежимо мал [4]. Порядок плотности дислокаций в монокристаллах Ge—Si, который составляет $\sim 10^5 \div 10^6 \text{ см}^{-2}$, позволяет их не рассматривать [2, 4]. Таким образом, при $T > 100$ К доминирующую роль в определении величины подвижности дырок в рассматриваемых кристаллах будут играть колебания решетки и беспорядки сплава. Роль последних наглядно демонстрируется на рис. 1 уменьшением подвижности дырок с увеличением содержания кремния в кристалле. Задача состоит в выделении вклада в рассеяние дырок колебаний решетки из данных рис. 1. Строгое решение этой задачи требует знания для каждого состава материала таких параметров как деформационный потенциал акустических и оптических фононов, скорость распространения акустических волн, температуры оптических фононов, рассеивающий потенциал беспорядков сплава и т. д. [4]. В настоящее время в литературе отсутствуют данные по этим параметрам. Однако специфичность экспериментально наблюдаемых зависимостей подвижностей дырок от температуры при рассеянии на колебаниях решетки в составных компонентах исследуемых материалов позволяет решить задачу в следующем варианте. Известно, что в достаточно чистых германии и кремнии в области 100—280 К имеют место простые степенные закономерности подвижности дырок от температуры [4]:

$$\mu_{\text{Ge}} = \alpha_{\text{Ge}} T^{-2.33} (\text{см}^2/\text{В. с}); \mu_{\text{Si}} = \alpha_{\text{Si}} T^{-2.30} (\text{см}^2/\text{В. с})$$

Здесь α_{Ge} и α_{Si} —постоянные, значения которых составляют $1.05 \cdot 10^9$ и $0.25 \cdot 10^9$, соответственно. Эти закономерности относят к рассеянию дырок на колебаниях решетки как акустических, так и оптических. В случае сплавов Ge—Si, обладающих в рамках модели и виртуального кристалла для твердых растворов промежуточными свойствами между составляющими их компонентами, очевидно следует ожидать аналогичную степенную зависимость μ_p от T . При этом, учитывая достаточно близость показателей степеней T для Ge и Si, можно принять, что в рассматриваемых нами составах кристаллов Ge—Si, которые более богаты содержанием германия, он равен 2,33, как в чистом германии. Согласно теории Брукса [1], при рассеянии носителей заряда на беспорядках сплава подвижность

$$\mu_c = \beta_c T^{-1/2},$$

где β_c —постоянная для каждого состава кристалла. Тогда, при совместном действии обоих механизмов рассеяния в предположении их аддитивности для результирующей подвижности дырок в кристаллах Ge—Si имеем:

$$\frac{1}{\mu_{p+c}} = \frac{1}{\mu_p} + \frac{1}{\mu_c} = \frac{T^{2.33}}{\alpha_{\text{Ge-Si}}} + \frac{T^{0.5}}{\beta_c} \quad (1)$$

Для выделения вклада в рассеяние дырок колебаний решетки необходимо определить значения $\alpha_{\text{Ge-Si}}$ для каждого состава. С этой целью была проведена интерпретация экспериментальных данных (рис. 1) с помощью соотношения (1). Используя экспериментальные значения подвижности ды-

рок для конкретного состава при двух фиксированных температурах в интервале 100—280 К из системы двух уравнений, составленных на основе (I), определялись численные значения α_{Ge-Si} и β_c . Очевидно, что при справедливости развитого подхода значения этих параметров, вычисленные для любой пары температур из указанного интервала, должны оставаться постоянными. Как показали расчеты, значения α_{Ge-Si} и β_c остаются практически постоянными ($\pm 3\%$) для всех составов.

Таким образом, в твердых растворах Ge—Si в указанных условиях действительно имеют место закономерности $\mu_p \sim T^{-2.33}$ и $\mu_c \sim T^{-0.5}$.

На рис. 2 представлены рассчитанные значения α_{Ge-Si} для кристаллов Ge—Si с различным составом. Как видно α_{Ge-Si} , характеризующий вели-

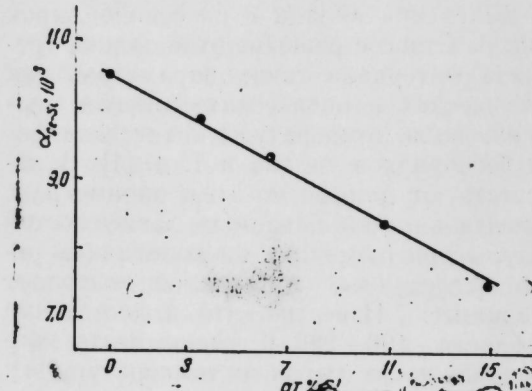


Рис. 2. Зависимость параметра α_{Ge-Si} от содержания кремния в кристаллах твердых растворов германий-кремний

чину подвижности дырок при рассеянии на колебаниях решетки, существенно падает с ростом содержания кремния в кристалле. Так, например для кристалла с 11% Si значение α_{Ge-Si} примерно на 30% ниже, чем для чистого Ge. Такое уменьшение может быть понято, если принять во внимание, что величина α_{Ge} примерно в четыре раза выше, чем α_{Si} .

В ряде работ при интерпретации экспериментальных данных по подвижности носителей заряда в кристаллах твердых растворов [1, 5, 6] принималось, что величина параметра α_{x-y} остается неизменной с составом. Как показывают результаты настоящей работы, такой подход может привести к существенным ошибкам.

Резюмируя изложенное, можно сделать следующее заключение. В кристаллах твердых растворов Ge—Si с содержанием кремния до 15 ат. % подвижность дырок при рассеянии на колебаниях решетки в области 100—280 К изменяется $\mu_p \sim T^{-2.33}$, как и в чистом германии. С ростом содержания кремния в материале эффективность рассеяния дырок на колебаниях решетки существенно растет в соответствии с моделью виртуального кристалла.

Литература

1. Makawski L., Glicksman. Disorder scattering in solid solutions of III-V semiconducting compounds.—J. Phys. Chem. Solids, 1973, v. 34, p. 487—492.
2. Таиров С. И. Выращивание монокристаллов твердых растворов германий-кремний и исследование их электрических свойств.—Дисс... канд. физ.-матем. наук.—Баку, 1967.—132 с;
- Агаев Н. А., Мир-Багиров В. В., Аждаров Г. Х. О возможности получения однородных монокристаллов бинарных твердых растворов методом подпитывания расплава вторым компонентом.—Изв. АН СССР, Неорг. матер., 1988, № 7. 3. Агаев Н. А., Аждаров Г. Х. Рассеяние дырок на беспорядках сплава в кристаллах твердых растворов германий-кремний.—Сборник ИФАН АзССР, т. I. «Физ. полупроводников и диэлектриков», 1988. 4. Смит Р. Полупроводники. УМ: Мир, 1982.—556 с. 5. Тагиров В. И. Исследование примесных состояний и донорно-акцепторного взаимодействия в твердых растворах германий-кремний.—Дис ...докт. физ.-матем. наук.—Баку, 1972.—6. Glicksman M. Mobility of electrons in germanium-silicon alloys.—Phys. Rev., 1954, v. III, № 1, p. 125—1. 8.

Поступило 5. VII 1988
Институт физики АН АзССР
Н. А. Агаев, Г. Х. Эждаров

КЕРМАНИУМ-СИЛИСИУМ БӘРК МӘҢЛҮЛЛАРЫ КРИСТАЛЛАРЫНДА ГӘФӘС РӘГСЛӘРИНДӘН СӘПИЛМӘЛӘР ЗАМАНЫ ДЕШИКЛӘРИН ЙҮРҮКЛҮҮ

Мәгәләдә керманиум-силисиум бәрк мәңлүллары кристалларында гәфәс рәгсләриндән сәпилмәләр заманы дешикләрин йүрүклүүнүн дәйищмә ганунаујгунилүгүнүн тәдгиги иштөөлөрү верилмишdir.

Тәдгигат тәркибинде 15 ат. %-э гәдәр Si атомлары олан Ge—Si монокристалларында дешикләрин һолл йүрүклүүнүн 77—300 К интервалда температур асылылыгынын өлчүлмәсі илә апарылышыдыр. Мұхталиф сәпилмә механизмләринин аддитивлиji күмәннина вә кристал үчүн виртуал модельн дөгрүлүгүна эсасланараң дешикләрин ялныз гәфәс рәгсләри илә мәңдүдлашан μ_p йүрүклүү тә'жин едилмишdir.

Көстәрілмешdir ки, тәдгиг олуан Ge—Si кристалларында дешикләрин йүрүклүү, тәмиз керманиумда олдуғу кими, 100—280 К интервалда температурла $T^{-2.33}$ шәклиндә мүтәнасибидir. Кристалда силисиумун мигдары артдыгча дешикләрин гәфәс рәгсләриндән сәпилмәләр дә артыр.

N. A. Agaev, G. Kh. Azhdarov MOBILITY OF HOLES IN GERMANIUM-SILICON SOLID SOLUTIONS DUE TO SCATTERING BY THE LATTICE PHONONS

The results of the investigations of the mobility of holes in germanium-silicon solid solutions due to lattice phonon scattering with compositions are reported. The Hall-mobility of holes in Ge—Si alloys single crystals with compositions varying up to 15 atomic percent silicon is measured between 77 and 300K. Under assumption that the different scattering mechanisms can be added constructively and virtual crystal model approximation takes place in alloys the mobility of holes μ_p due to lattice phonons scattering was subtracted. It is shown that in all investigated compositions μ_p is proportional to $T^{-2.33}$ between 100—280 K as in germanium. The strength of the scattering of holes by lattice phonons in Ge—Si alloys increases with increasing of silicon content in crystals.

УДК 539.194.01

ТЕОРЕТИЧЕСКАЯ ФИЗИКА

Т. С. АБИЛОВА, Ф. А. КАДЫМОВА, К. А. ГАНБАРОВА, Р. М. АХМЕДОВ

ТЕОРЕТИЧЕСКИЙ РАСЧЕТ ИК-СПЕКТРОВ МОЛЕКУЛЫ
β-АЛЛИЛАМИНОБУТИРОНИТРИЛА В РАЗЛИЧНЫХ
КОНФОРМАЦИЯХ

(Представлено академиком АН Азербайджанской ССР Н. А. Гулевым)

Настоящая работа является продолжением исследования структуры молекул, относящихся к классу соединений, называемых аминонитрилами, сочетанием методов теоретического конформационного анализа, теоретической и экспериментальной ИК-спектроскопии.

Исследуемые соединения имеют перспективные области применения [1, 2]. Ранее [3] этим методом исследовались устойчивые конформации молекул β-ИПАБН и β-ИПАИБН, где были получены и проанализированы теоретические кривые ИК-поглощения этих молекул. В настоящей работе приводятся результаты аналогичного исследования строения молекулы β-аллиламинобутиронитрила (β-ААБН), которая также относится к вторичным аминам этого класса соединений. В литературе на сегодняшний день не имеется теоретического расчета ИК-спектров молекулы β-ААБН с предварительным расчетом устойчивых конформаций.

Исследуемую молекулу можно представить как молекулу β-АБН с замещением одного из атомов водорода аминогруппы на аллильный радикал. Примененный для расчета устойчивых конформеров молекул метод теоретического конформационного анализа описан в [3]. Этот метод был применен к исследованию конформационного строения молекулы β-ААБН, изображенной на рис. 1. Были найдены устойчивые конформации молекулы, перечисленные в табл. 1. Углы вращения указаны на рис. 1.

Мы видим, что по сравнению с изопропильной группировкой (см. [3]), замещающая аллильная группировка приводит к появлению довольно большого числа устойчивых конформаций молекулы. Заметим, что энергетически наиболее выгодная конформация отличается от других не менее, чем на 1,7 ккал/моль. Представляет интерес построить теоретические кривые ИК-поглощения для всех перечисленных конформаций. С этой целью были составлены и решены задачи для нахождения частот, форм и интенсивностей в ИКС нормальных колебаний исследуемой молекулы и построены теоретические кривые ИК-поглощения. Решение осуществлялось с помощью программ по колебательной спектроскопии для ЭВМ типа ЕС.

Как известно, в результате решения мы получаем возможность строгой интерпретации ИК-спектра, а анализ форм и интенсивностей позволяет следить за конформационными изменениями, проявляющи-

мися в ИК-спектре. При расчете в нулевом приближении использовались системы силовых постоянных и электрооптических параметров, взятых из [3, 4]. Они подверглись незначительным изменениям в частности, наибольшему изменению подверглись силовые постоянные, относящиеся к аминной группировке и присоединенной к ней метилено-

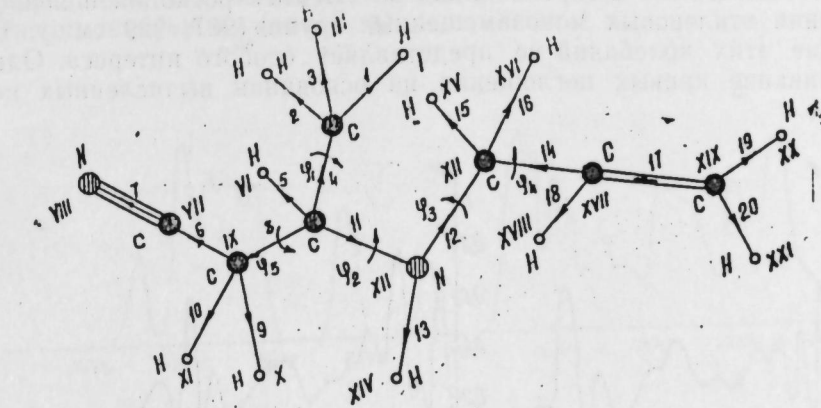


Рис. 1. Молекула β-ААБН

Таблица 1

№ конф.	φ_1	φ_2	φ_3	φ_4	φ_5	$E_{\text{общ.}}$ (ккал/моль)	$E_{\text{отн.}}$ (ккал/моль)
1	180	-73	-63	+122	+120	-1,48	0
2	180	-69	-174	-173	+120	0,22	1,7
3	180	-173	+172	-119	96	0,23	1,71
4	180	-172	+172	+116	97	0,23	1,71
5	180	-146	-180	+177	107	0,39	1,87
6	180	-148	-180	-119	105	0,46	1,94
7	180	-138	+64	-124	113	0,53	2,01
8	180	-67	-172	-180	7	0,7	2,18
9	180	-168	+180	-180	-127	0,80	2,28
10	180	-74	-175	180	-123	1,09	2,57

вой группы. В табл. 2 приводятся окончательные значения силовых постоянных, значительно измененных по сравнению с нулевым приближением.

Таблица 2

$K_{11\ 13}$	$K_{12\ 13}$	K_{FB}	$K_{12\ 15}$	$K_{12\ 16}$	$I_{11\ 13}^{11\ 12}$
0,75	0,75	0,9	0,9	0,9	0,09
$I_{12\ 13}^{11\ 12}$	$I_{12\ 13}^{11\ 13}$	K_{P_1}	K_{P_2}	K_z	$m_{P_1}^{P_2}$
0,25	0,04	0,325	0,317	0,75	0,047

Исследуемая молекула состоит из групп атомов, имеющих много характеристических по частоте колебаний, которые в сущности представлены в ИК-спектре и покрывают многие нехарактеристические полосы. Это — валентные колебания N—H-связей (3325 см^{-1}) валентные и деформационные колебания CH-связей метиленовых группировок, широко освещенные в справочниках по ИК-спектроскопии и неплоские колебания этиленовых монозамещенных групп ($987, 929 \text{ см}^{-1}$). Перечисление этих колебаний не представляет особого интереса. Однако, выстраивание кривых поглощения на основании вычисленных интен-

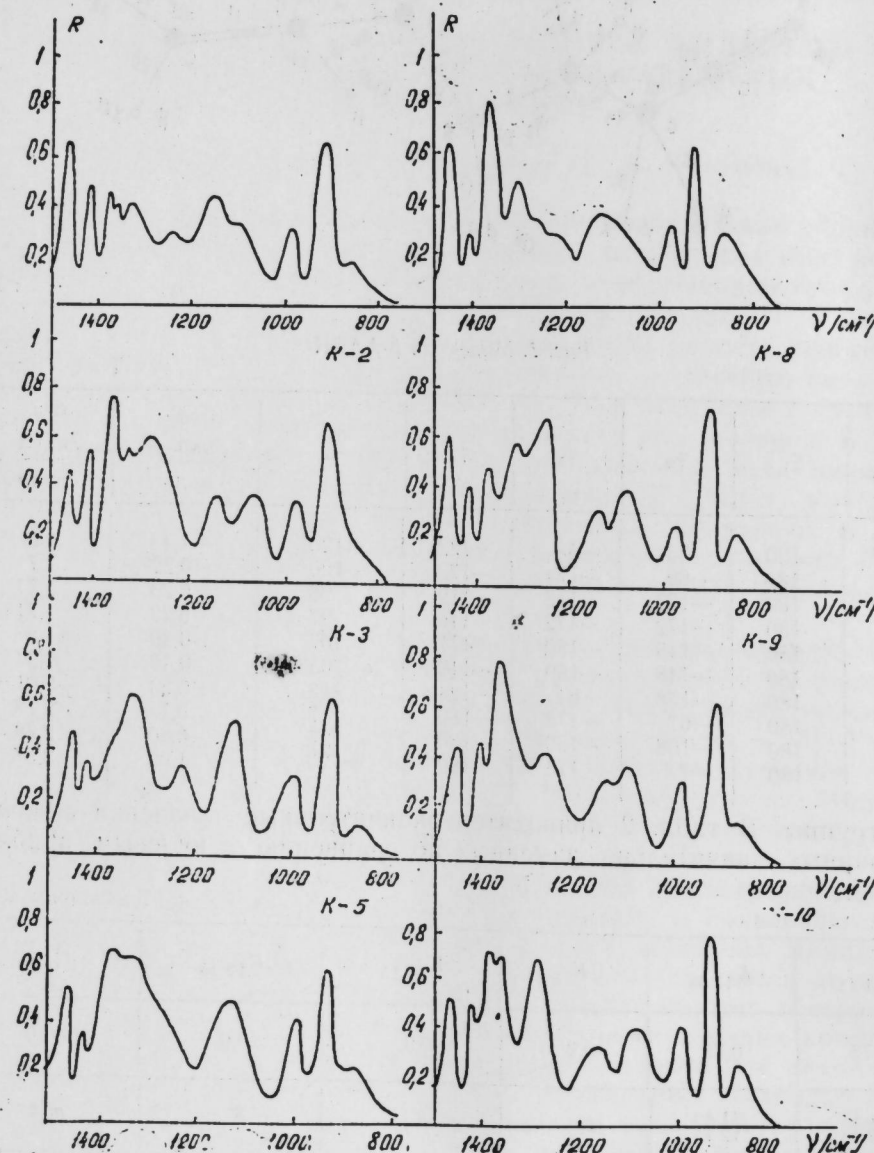


Рис. 2. Теоретические ИК-спектры молекулы β -ААБН в различных конформациях

сивностей в ИКС дает возможность исследовать конформационное строение молекулы. Конформационно чувствительная область ИК-спектра для перечисленных конформаций изображена на рис. 2, где даны теоретические ИК-спектры поглощения наиболее отличающихся конформаций (1—3, 5, 7—10).

Мы видим, что 1 конформация дает ИК-спектр, наиболее близкий к экспериментальному (рис. 3, a).

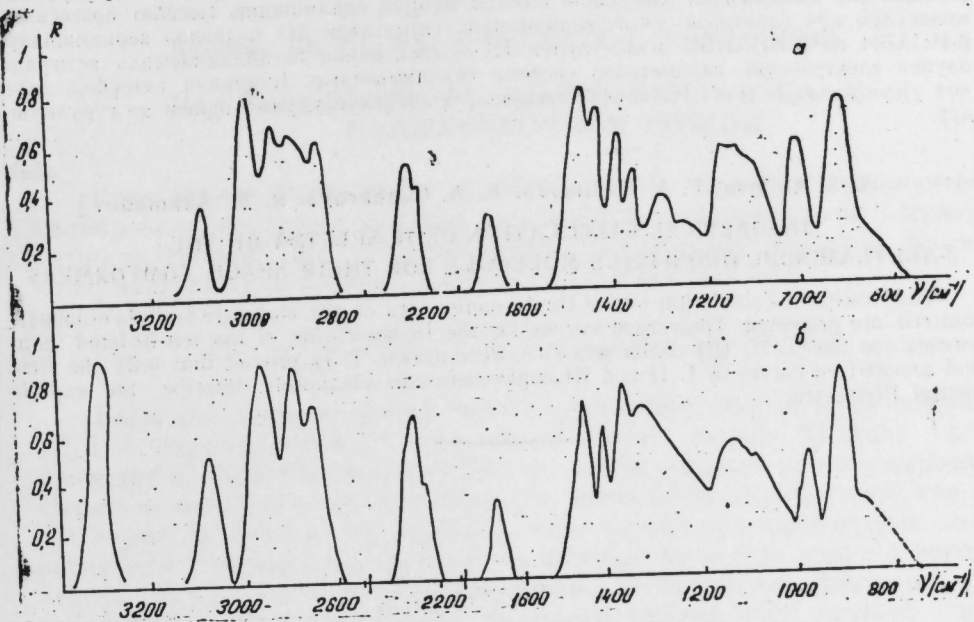


Рис. 3. Экспериментальный и теоретический ИК-спектры молекулы β -ААБН

Так, поглощение в области $1500—1300$, в особенности полоса 1464 (экспериментальная 1448 имеет наибольшую интенсивность в этой области), наилучшим образом согласуется с экспериментом.

Суммарный ИК-спектр 1, 2, 3 конформаций в предположении одинакового количественного содержания конформаций представлен на рис. 3б. Как мы видим, он дает лучшую картину в смысле близости к экспериментальной картине.

Таким образом, уточненные системы силовых постоянных и электрооптических параметров вполне пригодны для молекулы β -ААБН, а теоретические ИК-спектры подтверждают наиболее вероятное пребывание молекулы в 1 конформации.

Литература

1. Бабаев Р. А., Ахмедов Р. М., Мехтиев С. И., Кудиев Т. А., Джабаров М. И. — Радиобиология, 1980, т. XX, вып. 5, 750—752.
2. Гюльахмедов А. Н., Мехтиев С. И., Ахмедов Р. М., Халилов Х. А. — ДАН АзССР 1980, т. XXXVI, № 6, 73—75.
3. Абильгасимова Т. С., Данг Суан Хай, Алиев Р. Э., Сарванова Н. Н., Ахмедов Р. М. — ДАН АзССР, 1987, т. XLIII, № 1, 22—28.
4. Грибов Л. А., Дементьев В. А. Методы и алгоритмы вычислений и нефти колебательных спектров молекул. М.: Наука, 1981.

Азербайджанский государственный
университет им. С. М. Кирова

Поступило 13. IX 1988

МУХТАЛИФ ИНФОРМАСИЯЛАРДА β -АЛЛИЛАМИНОБУТИРОНИТРИЛ МОЛЕКУЛУНУН ИНФРАГЫРМЫЗЫ СПЕКТРИНИН НӘЗӘРИ ҮСАБАТЫ

Бу мәгаләдә жүхарыда көстәрилән молекулун информасија тәһлилнин нәтиҗәләри веरилмишdir. Тәчрүбә спектри илә мугајисә етмәк учун спектрин ИГ→Ниссанда 10 конформерләrin иңәзәри удулма эյриләri несабланмышдыr. Молекулун I конформасијасынын ени баҳымындан элверишлі олмасы мүәйян едилемшишdir. Үсабат просесинде молекулун күч сабитләри дәғигләшдирилмиш, гијматләри исә чәдвәлдә веरилмишdir. β -ИПАБН вә β -ИПАИБН молекулуну ИГ→ спектринин несабланмасында истифада олунан электрооптик параметрләр системи сахланмышдыr. Ыэмчинин тәчрүбәјә даһа соҳи ујгун калән I, II вә III конформасијалар учун жекүн удулма эйриси дә гурулмуш-дур.

T. S. Abilova, F. A. Kadimova, K. A. Ganbarova, R. M. Akhmedov]

THEORETICAL CALCULATION OF IR-SPECTRA OF THE β -ALLYLAMINOBUTIRONITRILE MOLECULE FOR THEIR SPACE CONFORMERS

The results of calculation of the stable conformers of the molecule β -allylaminobutironitrile are presented. Theoretical curves for the IR-absorption of the ten isolated conformers and the (I, II, III) conformers sum were drawn. It is proved that only the first and summarized curves of I, II and III conformers can adequately describe the experimental IR-spectra.

Чл.-корр. АН АзССР С. А. ГАДЖИЕВ, Т. О. БАПРАМОВА

ИССЛЕДОВАНИЕ ФУНКЦИИ ГРИНА «ДУХА» В КАЛИБРОВОЧНОЙ ТЕОРИИ

Квантование неабелевых калибровочных полей в ковариантных калибровках нарушает условие унитарности и калибровочной инвариантности теории. Для восстановления этих условий вводятся духовые поля, лангранжиан которых приобретает следующий вид:

$$L = -\frac{1}{4} F_\mu^a F_\mu^a + i \bar{C}^\alpha \partial_\mu (\nabla_\mu C)^\alpha - \frac{1}{2\alpha} (\partial_\mu A_\mu)^2.$$

Введение духовых полей сильно усложняет анализ ряда вопросов КХД в инфракрасной области. В частности, анализ функции Грина приводит к расходимости, которую не всегда удается перенормировать. Отметим, что можно воспользоваться аксиальной калибровкой, где отсутствуют духовые поля, однако, в этом случае при квантовании полей возникают своеобразные трудности, которые не всегда удается преодолевать. В частности, получается сильно усложненный глюонный propagator, вычисление петлевых диаграмм оказывается намного сложнее, чем в других калибровках и т. д. В этой работе мы покажем, что введение духовых полей выделяет определенную калибровку, которая занулирует все петлевые диаграммы и упрощает вычисление ряда полевых функций.

Рассмотрим функцию Грина духа в радиальном приближении и напишем интегральное уравнение, соответствующее диаграммам на рис. 1.

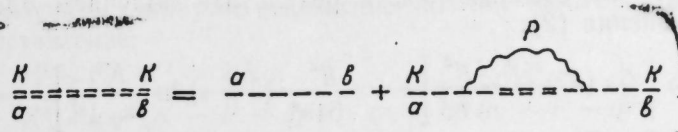


Рис. 1.

$$G^{ab}(K^2) = D^{ab}(K^2) + \frac{g^2}{(2\pi)^4} \int \Gamma_\mu(K, P) D^{ac}(K, P)^* \quad (1)$$

$$*G^{ce}(K, P) D^{ed}(K, P) \Gamma_\nu(K, P) D_{\mu\nu}^{db}(K, P) d^4P.$$

Суммируя по цветовым индексам и считая вершины μ , ν необросшими, уравнение (1) в произвольной калибровке сводится к следующему:

$$G(K^2) = D(K^2) + \frac{iC_v g^2}{(2\pi)^4} \int \frac{G(P, K)}{P^2(K-P)^4} \left[K^2 - kP - \frac{1-\alpha}{P^2}(KP - P^2) \right] dR^4 \quad (2)$$

где C_v — генератор цветовой группы для группы $SU(2)$.

Уравнение (2) решается методом последовательных приближений, множитель $\frac{C_v g^2}{(2\pi)^4}$ играет роль малого параметра α

$$D^{ab}(K^2) = \frac{\delta^{ab}}{K^2 + iQ}.$$

Выпишем нулевое и первое приближения:

$$G^{(0)}(K^2) = \frac{1}{K^2},$$

$$G^{(1)}(K^2) = i \int \frac{d^4 P}{P^4 (K - P)^4} \left[K^2 - \alpha(KP) - \frac{1-\alpha}{P^2} (KP)^2 \right]. \quad (3)$$

Для вычисления (3) используется фейнмановское параметрическое представление для знаменателя подинтегрального выражения и делается переход в n -мерное евклидово пространство (размерная регуляризация); в результате получаем следующее выражение:

$$G^{(1)}(K^2) = -\frac{\frac{n}{2}}{\pi^2} \cdot \frac{3-\alpha}{4K^2} (K^2)^{\frac{n}{2}-2} \Gamma\left(2 - \frac{n}{2}\right). \quad (4)$$

При $n \rightarrow 4$ (четырехмерное пространство) $\Gamma\left(2 - \frac{n}{2}\right)$ имеет особенность типа простого полюса с вычетом $a_{-1} = -1$ [1]; разлагая ее в ряд Лорана с учетом:

$$(K^2)^{\frac{n}{2}-2} = \exp\left[\left(\frac{n}{2} - 2\right) \ln K^2\right] = 1 + \left(\frac{n}{2} - 2\right) \ln K^2 + O\left(\frac{n}{2} - 2\right)^2$$

мы находим следующее регуляризованное выражение:

$$G_R^{(1)}(K^2) = -\frac{3-\alpha}{4K^2} \ln \frac{K^2}{-\mu^2},$$

где μ^2 — точка нормировки.

Таким же способом определяются другие приближения и удается суммировать полученный ряд, в результате получаем следующее решение уравнения (2):

$$G_R(K^2) = -\frac{g^2}{K^2} \left[1 + \frac{g^2}{64\pi^2} (3-\alpha) \ln \frac{K^2}{-\mu^2} \right]^{-1}. \quad (5)$$

Из выражения (5) легко определить функцию Грина духа в калибровке Ландау и Фейнмана. Если в этом выражении взять $\alpha = 3$, то оно превращается в голую функцию Грина. Это означает, что при $\alpha=3$ все петлевые члены сокращаются. Таким образом мы получили, что имеется выделенная калибровка ($\alpha=3$), которая упрощает вычисление ряда полевых функций. К аналогичному заключению пришли авторы работы [2], исследуя вопрос о совместности сингулярной инфракрасной асимптотики глюонного пропагатора и показали, что существует выделенная калибровка, которая приводит к сокращению петлевых членов.

Следует отметить, что при $\alpha \rightarrow \infty$ (аксиальная калибровка) $G(K^2) \rightarrow 0$, что согласуется с тем, что в аксиальной калибровке духи отсутствуют.

При $\alpha \leq 3$ функция (5) не имеет физического полюса, а при $\alpha > 3$ возникает не физический полюс, который соответствует «ноль заряда» в КЭД.

Теперь рассмотрим обратстание вершины, которому соответствует диаграмма на рис. 2.

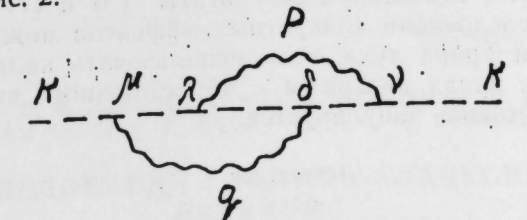


Рис. 2.

Поправка к функции Грина, соответствующая диаграмме на рис. 2 имеет вид:

$$G(K^2) = \frac{g^4 C_v^2}{(2\pi)^4} \int \frac{K_\nu (K - P)_\lambda (K - P - q)_\lambda (K - q)_\mu}{q^2 P^2 (K - q)^2 (\lambda - P)^2 (K - P - q)^2} * \\ * \left(g_{\mu\nu} - \frac{1-\alpha}{q^2} q_\mu q_\nu \right) \left(g_{\lambda\lambda} - \frac{1-\alpha}{P^2} P_\lambda P_\lambda \right) d^4 P d^4 q.$$

После свертки индексов получим:

$$G(K^2) = \frac{g^4 C_v^2}{(2\pi)^4} \int \frac{d^4 q d^4 P}{q^2 P^2 (\lambda - q)^2 (\lambda - P)^2 (K - P - q)^2} \left[K^2 - KP - \right. \\ \left. - \alpha(Kq) + \alpha(Pq) - \frac{1-\alpha}{q^2} (Kq)(Kq - Pq) \right] \times \\ \times \left[K^2 - \alpha(KP) - Kq - \frac{1-\alpha}{P^2} (KP)(KP - Pq) \right]. \quad (6)$$

Вычисление выражения (6) затруднено тем, что для интеграла

$$J = \int \frac{d^4 q}{q^2 (K - q)^2 (K - P - q)^2}$$

не удается получить замкнутое выражение; поэтому нами предлагается следующее представление:

$$J = \frac{1}{K^4} \int \left\{ \frac{K^2 + 2(Kq)}{q^2 (K - P - q)^2} - \frac{2(Kq)}{(\lambda - q)^2 (\lambda - P - q)^2} \right\} d^4 q,$$

которое позволяет получить обозримое выражение для (6). Расчет проводился в n -мерном евклидовом пространстве и после регуляризации делается переход в четырехмерное пространство, в результате получим следующее:

$$G_R(K^2) = \frac{g^4 \alpha (3-\alpha)}{256 \pi^4} \cdot \frac{1}{K^2} \ln^2 \frac{K^2}{-\mu^2}. \quad (7)$$

Вышие приближения также пропорциональны множителям $\alpha(3-\alpha)$, в чем нетрудно убедиться с помощью тождества Уорда—Славнова—Тейлора. Из (7) следует, что при $\alpha=3$ диаграмма занулируется в полном согласии с (5). Таким образом, в двух случаях мы показали, что существует выделенная калибровка, которая приводит к сокращению петлевых диаграмм. В общем виде доказать это утверждение нам не

удалось, однако существует утверждение о том, что для кваркового пропагатора в КХД имеется выделенная калибровка, обеспечивающая сокращение главных инфракрасных особенностей [3]. В КЭД калибровка Соловьева-Ясина [4] приводит к сокращению главных инфракрасных сингулярностей. Резюмируя результаты (5) и (7) можем утверждать, что при исследовании конкретных эффектов можно пользоваться «голой» функцией Грина духа, если использовать калибровку $\alpha=3$.

Отметим, что вклад диаграмм с обрастающими вершинами в калибровке Ландау также занулируется.

Литература

- Гаджиев С. А. и др. Физика элементарных частиц атомов и молекул. — Баку, 1988.
- Арбузов Б. А., Давыдовичев А. И. — ТМФ, 71, 1987, 21.
- Арбузов Б. А. и др. — ЯФ 38, 1982, 1340.
- Соловьев Л. Д. — ДАН СССР, 110, 203, 1956; Vennie et al. — Phys. Rev., 10, 1974, 3254.
- Славнов А. А., Фадеев Л. Д. Введение в квантовую теорию калибровочных полей. — М., 1988.

Азербайджанский государственный университет
им. С. М. Кирова

Поступило 16. VI 1988

С. Э. Начиев, Т. О. Бајрамова

ЯНГ-МИЛЛС НЭЗЭРИЈЭСИНДЭ С-ЗЭРРЭЧИЙН
ГРИН ФУНКСИЯСЫНЫН ТЭДГИГИ

Янг-Миллс нэзэрийэснидэ α -нын ихтијари гијматиндэ гејри-нөгтэви тэнэлэр үчүн С-зэррэчиийн Грин функциясы тэдгиг олунур. Көстәрилүү кү, елэ α ($\alpha=3$) мөвчүдүүрүү, бүтүн илкэкли диаграмлар ихтисар олунур.

S. A. Hadjiev, T. O. Bairamova.

THE INVESTIGATION OF „THE GHOST“ GREEN FUNCTION IN A GAUGE THEORY

The Green function of „the ghost“ in an arbitrary gauge with the dressed vertex is investigated. It is shown that the gauge exists ($\alpha=3$) in which the loop diagrams are cancelled.

АЗЭРБАЙЧАН ССР ЕЛМЛЭР АКАДЕМИЈАСЫНЫН МЭРҮЗЭЛЭРИ

ДОКЛАДЫ АКАДЕМИИ НАУК АЗЕРБАЙДЖАНСКОЙ ССР

ТОМ XLV ЧИЛД

№ 3

1989

ОРГАНИЧЕСКАЯ ХИМИЯ

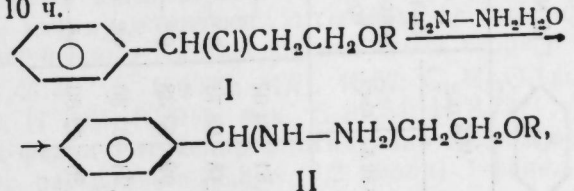
УДК 541.127.547.412

Д. Н. ХЫДЫРОВ, Н. В. ЛИПУШКИНА, А. К. АРАБОВ, М. М. ГАСАНОВА,
чл.-корр. АН АзССР Р. А. БАБАХАНОВ, С. Ш. ВЕРДИЕВА

СИНТЕЗ И ИССЛЕДОВАНИЕ 1-ФЕНИЛ-3-АЛКОКСИПРОПИЛГИДРАЗИНОВ-1

Известно, что вещества, содержащие в молекуле монозамещенную гидразинную группу ($-\text{NH}-\text{NH}_2-$), в частности, 1-метил-2-фенилэтилгидразин гидрохлорид (катрон) и 2, 4-диметоксибензилгидразин гидрохлорид («ветразин») обладают ценными фармакологическими свойствами и широко применяются в медицинской практике [1—3].

Для изучения фармакологических свойств интересно было синтезировать не описанные в литературе 1-фенил-3-алоксипропилгидразины-1. Синтез последних осуществлялся путем взаимодействия 1-хлор-1-фенил-3-алоксипропанов гидразин гидратом при нагревании (85—90°) в течение 10 ч.



где R=CH₃; C₂H₅; n-C₃H₇; изо-C₃H₇: —CH₂—CH—CH₂—.

Наилучшие выходы (70—80%) монозамещенных гидразинов достигаются при мольном соотношении гидразин гидрат: хлорэфир, равном 10:1. Установлено, что при увеличении молекулярного веса эфирного радикала в хлорэфирах (I) выход целевого продукта уменьшается.

Полученные гидразины (II) представляют собой прозрачные жидкости со специфическим аминным запахом, растворяющиеся в воде, спирте, бензоле, ограниченно — в эфире и гидразин гидрате.

Обнаружено, что в результате данной реакции также получаются в незначительном количестве (около 10—15%) эфиры гидрокоричного спирта, образование которых, по-видимому, обусловлено частичным восстановлением 1-хлор-1-фенил-3-алоксипропанов (I) гидразином в условиях реакции [4].

Гидразины (II) с хлористым водородом образуют хорошо кристаллизующиеся из спирта солянокислые соли с четкой температурой плавления и хорошо растворимые в воде.

Строение целевых 1-фенил-3-алоксипропилгидразинов-1 и побочных продуктов (эфиров гидрокоричного спирта) доказано ИК-и ЯМР-спектрами, а состав — элементным анализом.

Что касается 1-хлор-1-фенил-3-алоксипропанов, являющихся исходным сырьем, то они нами синтезированы аллоксиметилхлорированием стирола в присутствии хлористого цинка в качестве катализатора по методу, описанному в [5].

Физико-химические свойства 1-фенил-3-алоксипропилгидразинов
общей формулы:

№ сод.	R	Выход (%)	n_D^{20}	d_4^{20}	M_{RD}	Найдено, %			Формула	Найдено, %					
						Т. пл. солянокислых солянокислых солью		Найдено, %	С		H				
						с	Н		С	Н	С	Н	N		
1	CH ₃	80	119—121(2)	1,5302	1,0402	53,51	54,07	—	66,88	8,75	15,75	C ₁₀ H ₁₄ N ₂ O	66,70	8,90	15,60
2	C ₂ H ₅	74	128—129(2)	1,5210	1,0154	58,18	58,71	90—91	67,92	9,18	14,67	C ₁₁ H ₁₄ N ₂ O	68,04	9,28	14,43
3	C ₃ H ₇ -и30	70	142—143(2)	1,5150	0,9959	62,99	63,38	98—99	69,53	9,45	13,67	C ₁₂ H ₁₄ N ₂ O	69,23	9,61	13,46
4	C ₃ H ₇ -и30	72	129—130(2)	1,5140	0,9928	62,93	63,30	94—95	69,35	9,75	13,64	C ₁₂ H ₁₄ N ₂ O	69,23	9,61	13,46
5	CH ₂ -CH-CH ₃	75	133—134(2)	1,5298	1,0211	62,30	62,80	68—69	70,10	8,85	13,70	C ₁₂ H ₁₅ N ₂ O	69,90	8,74	13,59

Фармакологические свойства синтезированных 1-фенил-3-алоксипропилгидразинов изучены в лабораторных условиях. В опытах на белых мышах установлено, что максимальная переносимая доза (в вену) 1-фенил-3-изопропоксипропилгидразин гидрохлорида составляет 15 мг/кг, тогда как в дозе 1 мг/кг он понижает артериальное давление на 25—30 мм рт. ст., эффект длится 4—5 мин. Изучение фармакологических свойств указанных гидразинов продолжается.

ЭКСПЕРИМЕНТАЛЬНАЯ ЧАСТЬ

Синтез 1-фенил-3-метоксипропилгидразина-1. В реакционную колбу емкостью 1 л помещают 600 г (10 гмоль) гидразин гидрат, нагревают до 75° и при сильном перемешивании к нему по каплям прибавляют 184,5 г (1 гмоль) 1-хлор-1-фенил-3-метоксипропана в течение 2 ч. Перемешивание продолжают еще 10 ч при нагревании (85—90°). Охлажденную до комнатной температуры смесь экстрагируют бензолом до 95° (или четыреххлористым углеродом) 3 раза по 250 мл. После отгонки бензола до 95° из остатка в количестве 180 г вакуумной разгонкой выделяют 144 г (80% от теор.) 1-фенил-3-метоксипропилгидразина-1 с т. кип. 119—121° (2 мм).

В аналогичных условиях получено еще четыре новых 1-фенил-3-алоксипропилгидразинов-1, константы которых представлены в таблице.

При этом также выделяют 22 г (15% от теор.) легкую фракцию с т. кип. 63—64° (5 мм), представляющую собой метиловый эфир гидрокоричного спирта, полученного восстановлением атома хлора в молекуле (I) гидразином: n_D^{20} 1,4950; d_4^{20} 0,9382; M_{RD} 46,62; C₁₀H₁₃O, выч. 46,71, найд. С 80,68; 80,70; Н 8,61; 8,79%, выч. С 80,54; Н 8,72%.

Синтез 1-фенил-3-этоксипропилгидразин гидрохлорида. В 100 мл сухого бензола растворяют 38,8 г (0,2 гмоля) 1-фенил-3-этоксипропилгидразина, охлаждают ледяной водой и к этому раствору при перемешивании медленно пропускают сухой хлористый водород (7—8 ч) до прекращения поглощения последнего. Отфильтровывают образовавшиеся кристаллы. После перекристаллизации из спирта вещество имеет Т. пл. 90—91°, выход—41,5 г (90%).

Аналогично получены еще четыре представителя 1-фенил-3-алоксипропилгидразин гидратов, температуры плавления которых представлены в таблице.

Выводы

1. Впервые синтезированы и охарактеризованы неописанные в литературе пять 1-фенил-3-алоксипропилгидразинов-1 и соответствующие им солянокислые соли.

2. По предварительным испытаниям на белых мышах обнаружено, что солянокислые соли 1-фенил-3-алоксипропилгидразинов-1 в дозе 1 мг/кг понижают артериальное давление на 25—30 мм рт. ст. в течение непродолжительного времени (4—5 мин).

Литература

1. Кост А. Н., Сагитуллин Р. С. Метилалкильгидразины. — Успехи химии, 1964, т. 33, с. 361—387.
2. Пат. США 1 928 875. Isopropylydrazine Derivatives. Martin W. B. Swett J. R. Опубл. РЖХим, 1961, 10 Л 33211.
3. Машковский М. Д. Лекарственные средства. — М.: Медицина, 1972, ч. 1, с. 430.
4. Кубота Сэйдзи, Акита Гадай.

Развитие органических соединений с гидразином. — Опубл. РЖХим., 1962, 17Ж, 185.
5. Мамедов Ш. А., Хыдыров Д. Н. Синтез простых хлорэфиров ароматического ряда.—
ЖОХ, 1961, т. 31, С. 3905—3909.

Государственный медицинский
институт им. И. Нариманова

Поступило 26. X. 1988

Д. Н. Хыдыров, Н. В. Липушкина, А. К. Эрбов, М. М. Гасанова, Р. А. Бабаханов,
С. Ш. Вердиева

1-ФЕНИЛ-3-АЛКОКСИПРОПИЛНИДРАЗИН-1-ИН СИНТЕЗИ ВЭ ТЭДГИГИ

Мэгалэдэ илк дэфэ олараг эдэбијатда мэ'лум олмајан беш 1-фенил-3-алоксипро-
пилнидразин-1 вэ онун индрохлорлу дузларынын синтези ва характеристикасы верилир.
Аг сичанлар үзэрийнда апарылан тэчрублэр эсасында мүэйжэн олонмушдур ки, 1-фе-
нил-3-алоксипропилнидразин-1 вэ онун индрохлорлу дузлары 4—5 дэгигэ мүлдэтнинэ
артернал тээжигэ 25—30 мм чивэ сутуу тээжиги гэдэр ашагы салыр.

D. N. Khidirov, N. V. Lipushkina, A. K. Arabov,
M. M. Gasanova, R. A. Babakhanov, S. S. Verdieva

SYNTHESIS AND INVESTIGATION OF 1-PHENYL-3-ALKOKSIPROPILGIDRAZIN-1

Five 1-phenyl-3-alkoxisopropylgizadzin-1 and corresponding hydrochloric acid salts were synthesized and characterized in the literature for the first time.

According to the preliminary tests on the white mice it was determined that hydrochloric acid salts 1-phenyl-3-alkoxisopropylgizadzin-1 in 1 mg/kg doze decrease the arterial pressure on 25—30 mm m.c. during the short time (4—5 minutes).

АЗЭРБАЙЧАН ССР ЕЛМЛЭР АКАДЕМИЈАСЫНЫН МЭРҮЗЭЛЭРИ

ДОКЛАДЫ АКАДЕМИИ НАУК АЗЕРБАЙДЖАНСКОЙ ССР

ТОМ XLV ЧИЛД

№ 3

1989

УДК 541.128.35:546.623

НЕОРГАНИЧЕСКАЯ ХИМИЯ

А. Д. КУЛИЕВ, Г. Н. КИРИЧЕНКО, Р. М. МАСАГУТОВ,
акад. Т. Н. ШАХТАХТИНСКИЙ

ИЗУЧЕНИЕ ФАЗОВЫХ ПРЕВРАЩЕНИЙ АКТИВНОГО ГИДРОГЕЛЯ АЛЮМИНИЯ ПОД ВОЗДЕЙСТВИЕМ ТЕМПЕРАТУРЫ

Ни одна каталитическая система не привлекает внимания такого большого количества ученых, занимающихся изучением реакции алкилирования фенола метиловым спиртом в паровой фазе, как, оксиды алюминия. В большинстве случаев исследователи предлагают в качестве наиболее активной модификации γ -форму оксида алюминия [1]. Имеется ряд работ [2—4] по алкилированию фенола метиловым спиртом в присутствии различных модифицированных форм оксидов алюминия. Однако, несмотря на широкое распространение, алюмооксидные катализаторы, часто именуемые γ -оксидом, ввиду значительной разноречивости результатов исследований, требуют более детального изучения физико-химических свойств. В этой связи представляется целесообразным точное определение фазового состава образующегося Al_2O_3 в зависимости от температуры прокалки исходного гидрогеля алюминия, в большинстве случаев являющегося хорошо окристаллизованной формой бемита. С целью более детальной интерпретации фазового состава алюмооксидной системы проводился рентгенофазовый анализ при разогреве образцов на рентгеновском дифрактометре ДРОН-3 в отфильтрованном $Co\text{K}_{\alpha}$ -излучении с помощью высокотемпературной приставки ГПВ1-1500.

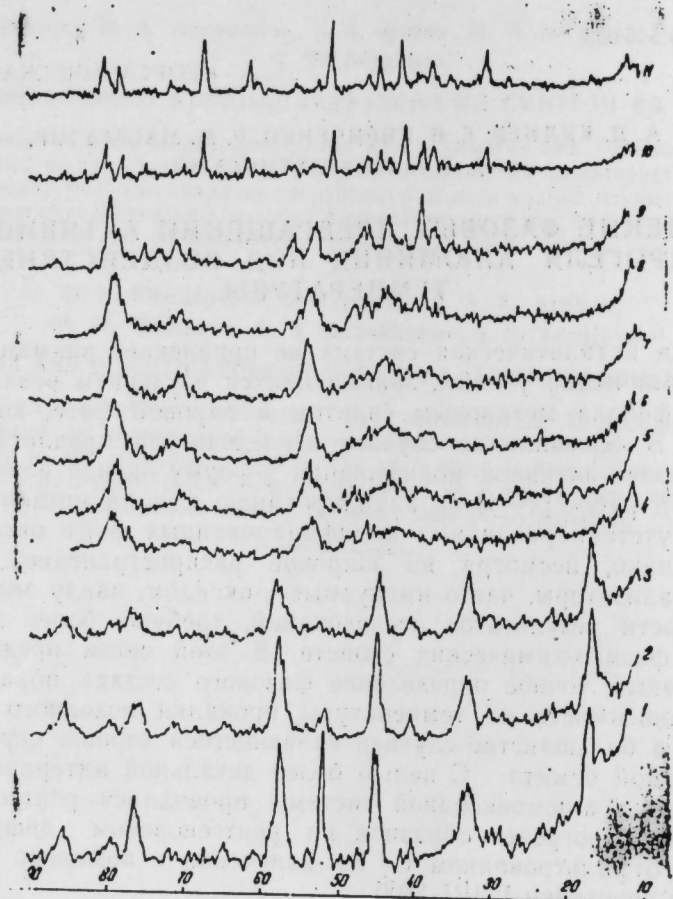
Отнесение линий на дифрактограммах проводилось путем сопоставления их с табличными данными [5] и результатами исследований, полученными другими авторами [6].

Дифрактограммы, приведенные на рисунке, были отсняты в атмосфере воздуха при следующих температурно-временных режимах съемки:

- 1—рентгенограмма исходного активного гидрогеля, предварительно просушенного при 50° в течение 1 ч;
- 2, 3, 4...11—рентгенограммы образцов, прокаленных при 200, 300, 400... 1100°, соответственно, в течение 1 ч;
- время, затраченное на увеличение температуры образца на каждые 100° , составляло 30 мин.

На дифрактограмме исходного активного гидрогеля были обнаружены линии ($d=6,112; 3,160; 2,343; 1,857$ и др.), соответствующие фазе хорошо окристаллизованной формы бемита и полосы, отвечающие наиболее интенсивным линиям диаспора ($d=3,970; 2,329; 2,065$ и др.). Однако, нагрев до 200° привел к значительному уменьшению интенсивностей полос, отвечающих диаспору, а при температуре 300° на дифрак-

тограмме образца исчезли и наиболее сильные линии этой фазы. При этом произошло значительное уменьшение интенсивностей линий, отвечающих и хорошо окристаллизованной форме бемита. В то же время в образце, прокаленном при 300° , охлажденном в атмосфере воздуха



Дифрактограммы исходного алюминия (1) и оксидов алюминия, полученных при разных температурах прокалки (2-7)

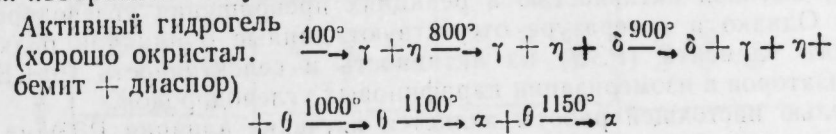
до комнатной температуры и оставленном на 12 ч, появляются еще заметные полосы, отвечающие наиболее интенсивным линиям γ - и η -форм оксида алюминия. Эти линии ($d = 1,985; 1,956; 1,407; 1,395$) становятся еще более отчетливыми при достижении температуры прокалки 400° . При этом на дифрактограмме практически полностью исчезают полосы, отвечающие бемиту. Интересно отметить, что дальнейшее увеличение температуры прокалки до 700° практически не приводит к появлению заметных количеств других форм Al_2O_3 .

На дифрактограмме образца, прокаленного при 800° , наблюдается некоторое размытие и смещение линий, отвечающих фазам γ - и η - Al_2O_3 . Дальнейшее увеличение температуры до 900° объясняет причину этого смещения появлением новой фазы — δ -формы оксида алюминия. В образце, прокаленном при 900° эта форма Al_2O_3 становится преобладаю-

щей. Наряду с последней, однако, возможно присутствие еще незначительных количеств γ , η - Al_2O_3 и появляется новая — θ -форма оксида алюминия. Прокалка при 1000° приводит к переходу всех промежуточных форм оксида алюминия (γ , η , δ) в θ - Al_2O_3 . На это указывают полосы, отвечающие на дифрактограмме наиболее интенсивным линиям ($d = 2,859; 2,731; 2,462; 2,028; 1,392$ и др.) этой фазы.

Поднятие температуры прокалки до 1100° приводит к сильному уменьшению полос, отвечающих фазе θ - Al_2O_3 и появлению новых с $d = 3,480; 2,560; 2,091; 1,607$ и др., которые можно отнести к наиболее интенсивным линиям фазы α - Al_2O_3 . Эти линии становятся еще более четкими при температуре прокалки образца 1150° . В последнем случае образец практически полностью состоит из фазы α - Al_2O_3 .

Фазовые превращения активного гидрогеля алюминия в зависимости от температуры прокалки в атмосфере воздуха можно схематически изобразить следующим образом:



Таким образом, проведенные исследования указывают на необходимость внимательного подбора температуры прокалки активного гидрогеля алюминия, часто принимаемого за основу при подготовлении алюмооксидных катализаторов.

Литература

- Харлампович Г. Д., Чуркин Ю. В. Фенолы. — М.: Химия, 1974. 2. Чуркин Ю. В., Рusanova Л. А., Macagutov R. M. Труды НИИНефтехим-производства, 1970, вып. 2, с. 13—17. 3. Рusanova Л. А. Дис...канд. техн. наук. — Уфа, 1971, с. 180. 4. А. с. № 311890 (СССР). Способ получения алкилфенолов. Macagutov R. M., Khan M. B., Черкасов Р. И., Чуркин Ю. В. Опубл. в БИ, 1971, № 25. 5. Миркин Л. И. Справочник по рентгеноструктурному анализу поликристаллов. — М.: Физматгиз, 1961. 6. Строение и свойства адсорбентов и катализаторов. — М.: Мир, 1973, с. 190.

Институт теоретических проблем химической технологии АН АзССР

Поступило 29. I 1988

А. Д. Гулиев, Г. Н. Кириченко, Р. М. Macagutov, Т. Н. Шахтахтински
АКТИВ АЛЮМИНИУМ ҺИДРОКЕНИНДЭ ТЕМПЕРАТУРУН ТЭСИРИНДЭН
ФАЗА ЧЕВРИЛМЭЛЭРИНИН ӨРЭНИЛМЭСИ

Мөгөлэдэ яхши кристаллашмын бемит формасындан ибарэц болан алюминий һидрокелинин һава мүһитинде 1150° температура гэдэр гыздырьгыда баш верэн фаза чеврилмэлэри тэдгиг едилмишдир. Көстэрилмишдир ки, илкин көтүрүлмүүш актив һидрокелдэн ардычыл олраг алюминий оксидин лазымы гэдэр тэмиз γ , θ вэ α формаларыны алмаг олар. Енис заманда мухтэлиф температурларда формалашмын алюминий оксидин тэргибиндэ кечичи бэ вэ η формаларынүүн олмасы гэйд едилр.

Һидрокелин гыздырма температурун вэ вахтыны дэйшишмэклэ алюминий оксидин истэндилэн формаларыны алмаг олар.

A. D. Kuliev, G. N. Kirichenko, R. M. Masagutov, T. N. Shahtahtinsky
THE INVESTIGATION OF PHASE CONVERSIONS OF ACTIVE HYDROGEL
OF ALUMINUM OXIDE UNDER TEMPERATURE INFLUENCE

Phase conversions of aluminium hydrogel, which is well crystallized form of boimith, under warming in air atmosphere until 1150° , are investigated in present article.

It is shown that clean forms of γ , θ and α -aluminium oxide may be consequently produced from initial form of active hydrogel. At the same time the presence of transition oxide δ - and η -forms in Al_2O_3 being formed at different temperatures is indicated. Dominance of one or another aluminium oxide form may be achieved by temperature and hydrogel annealing time varying.

ФИЗИЧЕСКАЯ ХИМИЯ

Чл.-корр. АН АзССР Б. А. ДАДАШЕВ, С. Б. АГАЕВА, С. М. МАМЕДОВА,
Е. Н. ПОПОВА, А. А. САРЫДЖАНОВ

ИЗОМЕРИЗАЦИЯ *n*-ПЕНТАНА НА Pd-СВК-ЦЕОЛИТАХ, СОДЕРЖАЩИХ КАТИОНЫ РЕДКОЗЕМЕЛЬНЫХ ЭЛЕМЕНТОВ

Сверхвысококремнеземные цеолитные (СВКЦ) катализаторы обладают высокой активностью в реакциях превращения углеводородов [1—2]. Однако в литературе отсутствуют данные о влиянии редкоземельного элемента (РЗЭ) на активность и селективность Pd-СВКЦ катализаторов в изомеризации парафиновых углеводородов.

Целью настоящей работы является изучение влияния РЗЭ на активность и кислотность Pd-СВК цеолитных катализаторов в реакции изомеризации *n*-пентана.

Катализаторы готовили на основе СВК цеолитов, полученных из ГрозНИИ, отличающихся соотношением $\text{SiO}_2/\text{Al}_2\text{O}_3$, с модулем (*n*), равным 38, 61, 200.

По данным рентгенофазного анализа, проведенного на дифрактометре ДРОН-2 (излучение $\text{CuK}\alpha$), установлено, что все образцы цеолитов обладают высокой степенью кристалличности, причем образец с модулем *n*=38 по структуре относится к семейству цеолитов типа пентасил, а образцы с *n*=61 и *n*=200 — к цеолитам типа ультрасил.

Перед использованием цеолиты прокаливали при 550° 16 ч для разложения органических катионов, затем декатионировали 2*N* раствором азотокислого аммония при 80° 6 ч, отмывали от ионов NO_3^- высушивали при 120° 2 ч и прокаливали при 550° 4 ч.

РЗЭ формы цеолитов получали ионным обменом при обработке *n*-форм цеолитов водным раствором соли РЗЭ (Pr) с последующей отмыvkой от ионов NO_3^- . Палладий вводили пропиткой раствором тетраамихлорида палладия.

Цеолиты смешивали со связующим — окисью алюминия (25 мас. %), сушили при 120° и прокаливали при 550° .

Содержание Pd и РЗЭ в составе катализатора составляет 0,5 и 0,8 мас. % соответственно.

Перед опытом катализаторы активировали в токе воздуха при 500° 5 ч и обрабатывали водородом при 380° 10 ч.

Изомеризацию *n*-пентана проводили в стеклянном трубчатом реакторе проточного типа с электрообогревом в стационарном слое катализатора, каталитическую активность определяли при 280° в среде водорода при атмосферном давлении и отношении $\text{H}_2/\text{HC}_5\text{H}_{12}$, равном 2, в течение 1 ч.

Методики анализа продуктов реакции и определения концентрации и силы кислотных центров описаны в работе [3].

Определенные количества аммиака (ммоль/г), десорбирующиеся при различных температурах, соответствуют по принятой в работах

Кислотные и кагалитические свойства модифицированных СВК-цеолитов

Образец	$\frac{\text{SiO}_2}{\text{Al}_2\text{O}_3}$	Количество хемосорбированного NH_3 , ммоль/г				Суммарная кислотность, ммоль/г	Выход продуктов реакции, масс. %	Конверсия, масс. %	Избирательность, %			
		300°	отн. %	400°	отн. %							
<i>n</i> -СВКЦ	38	1,39	76,3	0,36	19,7	0,07	3,8	1,82	7,8	16,3	21,1	44,3
Pd <i>n</i> -СВКЦ	>	1,40	84,3	0,22	13,2	0,04	2,4	1,66	59,3	3,9	63,2	92,2
Pd РЗЭ <i>n</i> -СВКЦ	>	1,42	86,0	0,20	12,0	0,03	1,8	1,65	62,1	1,2	63,3	98,2
<i>n</i> -СВКЦ	61	0,72	66,6	0,31	28,7	0,03	4,6	1,08	6,8	10,8	17,6	38,7
Pd <i>n</i> -СВКЦ	>	0,74	77,0	0,19	19,7	0,05	3,1	0,96	57,9	3,8	61,7	93,8
Pd РЗЭ <i>n</i> -СВКЦ	>	0,75	80,6	0,16	17,2	0,02	2,1	0,93	60,5	1,2	61,7	98,5
<i>n</i> -СВКЦ	200	0,42	68,8	0,15	24,5	0,04	6,5	0,61	5,8	7,6	13,4	30,4
Pd <i>n</i> -СВКЦ	>	0,44	80,0	0,09	16,3	0,02	3,6	0,55	48,7	1,9	56,1	96,1
Pd РЗЭ <i>n</i> -СВКЦ	>	0,45	83,3	0,07	12,9	0,02	3,7	0,54	50,2	0,6	50,8	99,8

[3, 4] условной классификации концентрациям различных по силе кислотных центров: слабых — до 250°, средних — 300°, сильных — 400°, очень сильных — 500°.

Данные по кислотности и каталитической активности образцов приведены в таблице.

На декатионированных СВК-цеолитах превращение *n*-пентана проходит в одних и тех же направлениях с образованием идентичных продуктов. Это указывает на общую природу активных центров катализаторов в изомеризации пентана. Вместе с тем имеет место существенное различие в селективности процесса.

На декатионированных СВК-цеолитах типа пентасил изомеризация протекает с большей селективностью (45%), чем на СВК-цеолитах типа ультрасила (30—38%). В отношении выхода изопентана практически нет существенного различия (6—9 масс %). После модифицирования СВК-цеолитов Pd и РЗЭ становится очевидным, что наибольшую изомеризующую активность проявляет цеолит типа пентасил, селективность же образцов находится на одном уровне. При изучении кислотности образцов методом высокотемпературной адсорбции аммиака было установлено, что после модифицирования Pd и РЗЭ происходит заметное снижение концентраций сильных и очень сильных кислотных центров, при этом вклад средних кислотных центров после модифицирования в общем значении кислотности увеличивается (таблица).

Таким образом, в СВК-цеолитах происходит перераспределение кислотных центров в сторону увеличения концентрации средних кислотных центров, ведущих изомеризацию за счет подавления Pd и РЗЭ сильных и очень сильных кислотных центров, ведущих крекинг.

Литература

- Пигузова Л. И. Сверхвысокремнеземные цеолиты и их применение в нефте-переработке и нефтехимии. — ЦНИИТЭНефтехим, 1977, с. 73.
- Миначев Х. М., Кондратьев Д. А. Свойства и применение в катализе цеолитов типа пентасил. — Успехи химии, 1983, т. 11, вып. 12, с. 1921.
- Дадашев Б. А., Мамедов С. Э., Сарыджанов А. А. и др. — Нефтехимия, 1980, т. 20, № 5, с. 655.
- Ющенко В. В., Кубасов А. А., Федоров О. В., Лимова Т. В. — Нефтехимия, 1987, т. 27, № 2, с. 181.
- Post J. G. van Hoof J. H. — Zeolites, 1984, v. 4, p. 9.

Институт нефтехимических процессов
АН АзССР им. Ю. Г. Мамедалиева

Поступило 25. V 1988

Б. А. Дадашов, С. Б. Агаева, С. М. Мамедова, Е. Н. Попова, Э. Э. Сарычанов

ТӘРКИБИНДӘ НАДИР ТОРПАГ ЕЛЕМЕНТ ҚАТИОНЛАРЫ ОЛАН Pd-ЖҮКСӘК СИЛИСИУМЛУ СЕОЛИТ ҮЗӘРИНДӘ *n*-ПЕНТАНЫН ИЗОМЕРЛӘШМӘ РЕАКСИЯСЫ

Мәгәләдә *n*-пентанының изомерләшмә реаксијасында Pd-жүксәк силисiumлу сеолит катализаторларының активлијинә ۋە туршу мәркәзләриңе надир торпаг элемент катионуун (*Pr*) тә'сири өյрәнилмешдір.

Мұғжән олунмушдур ки, надир торпаг элемент катиону Pd-жүксәк силисiumлу сеолит катализаторунун тәркибиңе дахил олдугда онун каталитик фәаллыгының артырмагла жаңашы орта күчлү туршу мәркәзләриниң артырыр, күчлү ۋە даһа күчлү туршу мәркәзләрини исә азалдыр.

B. A. Dadashev, S. B. Agaeva, S. M. Mamedova, E. N. Popova, A. A. Sarydjyanov

IZOMERIZATION OF *n*-PENTANE OVER Pd-HIGHLY SILICEOUS ZEOLITES CONTAINING CATIONS OF RARE EARTH ELEMENTS

Effect of rare earth elements on activity and acidity of Pd-highly siliceous zeolites was studied.

It is shown that incorporation of rare earth elements into Pd-highly siliceous zeolites increases activity and selectivity of catalysts in reaction of pentane izomerization.

It is related to redistribution of acid sites for strength with modification of Pd-highly siliceous zeolites by cations of rare earth elements.

Чл.-корр. Ак. А. АЛИ-ЗАДЕ, Ш. Б. АСЛАНОВ

НЕКОТОРЫЕ БИОГЕОХИМИЧЕСКИЕ АСПЕКТЫ БИОСОБЫТИЙ

Резкие изменения различных таксономических групп на рубежах в геологической истории Земли имеют весьма важное значение не только для познания развития биосфера в целом, но и представляют значительный практический интерес — позволяют выявить соответствия или несоответствия единой геологической шкалы определенным этапам развития органического мира.

Причина смены биоты, независимо от ее характера — постепенно и (или) внезапно, всегда была объектом тщательных исследований широких кругов специалистов, в первую очередь естествоиспытателей. Интерес к ним не ослабевает и по сей день. В многочисленных, уходящих своими корнями в глубь веков, публикациях отечественных и зарубежных исследователей выдвигались различные гипотезы, освещдающие те или иные аспекты этой очень сложной проблемы.

К настоящему времени все имеющиеся взгляды по данной проблеме можно условно сгруппировать в двух больших направлениях: а) исчезновение организмов является следствием «собственно биологических» или «внутренних» факторов. Главной причиной эволюции и массовой гибели живых организмов Ч. Дарвин считал борьбу за существование, а изменениям природных условий отводил подчиненную роль, и его мнение разделялось многими поколениями биологов — сторонников теории эволюции. Согласно им, эволюционное развитие любой группы, как и любой формы, завершается ее исчезновением. Поэтому вымирание видов и групп видов нельзя рассматривать в отрыве от изучения эволюции органического мира [1];

б) массовое вымирание в органическом мире связано главным образом с воздействием «внешних» факторов, т. е. резким изменением климата, понижением эвстатического уровня мирового океана, интенсивным вулканизмом, тектоническими явлениями и т. д. В последние годы наряду с указанными геологическими процессами все чаще называются и внешние причины, хотя эта идея не нова и была выдвинута еще в первой половине нынешнего столетия Г. Маршаллом, Ю. Вильзером, О. Шинделевольфом и др. Однако обнаруженное аномально высокое содержание элементов платиновой группы, особенно иридия в пограничных отложениях мела и палеогена в пещерных карбонатных отложениях Италии [2], а вслед за ними в различных, удаленных друг от друга регионах Земли (США, Гаити, Испания, Дания, СССР, КНР, Новая Зеландия и т. д.), дало новый импульс развитию гипотезы космической катастрофы. Считается, что высокая концентрация иридия и других сидерофильных элементов имеет «космическое происхождение» и мо-

жет образоваться только в результате столкновения Земли с огромной кометой, болидного или астероидного удара, появления сверхзвезд и т. д., которые впоследствии создали парниковый эффект и способствовали резкому изменению экологической обстановки (увеличение радиации и нарушение процессов фотосинтеза, понижение солнечности, резкий перепад в температурном режиме и др.).

Если коротко проанализировать указанные взгляды на резкую смену биоты — «собственно биологических» (внутренних) и «внешних», то можно выделить для каждого из них сильные и слабые стороны. Так, в пользу «внешних», особенно космических воздействий говорит тот факт, что на сегодняшний день избыток иридия был найден почти в 50 районах [3], причем как в скальных образцах, так и в донных отложениях, что указывает на глобальный характер явления. Действительно, во всех изученных разрезах, за исключением Кьялби-Гаард (Дания), содержание Ir достигает нескольких десятков нанограмм на 1 г и на 2—3 порядка превышает его среднее содержание в земной коре. Помимо, того, соотношения Au/Ir, Cr/Ir и других сидерофильных элементов в приграничных отложениях также близки к их космическому значению [4]. Космическую гипотезу подтверждают и результаты изучения содержания изотопа осмия во взятых на территории Дании образцах и обнаружение в США (Монтана), Дании (Стевис-Клинт) и СССР (Мангышлак, Копетдаг, Малый Балхан) кристаллов кварца со следами механического воздействия.

Вместе с тем нужно отметить, что обращение к палеонтологическим объектам и изучение филогенетического развития отдельных групп организмов в течение длительного геологического времени ставит под сомнение некоторые аспекты космической гипотезы. Прежде всего это выражается в том, что воздействие внеземного фактора, поскольку оно имело глобальный характер, должно было бы более или менее одинаково сказаться на родственных группах организмов и сходных по общности признаках. Это выражается в том, что воздействие внеземного фактора, поскольку оно наглядно обнаруживается на примере брахиопод, двустворок, колоний и др., представители которых в одних случаях смогли успешно преодолеть катастрофические барьеры, а в других — исчезли. И это является очень веским аргументом о несостоятельности принятия космического фактора в качестве единственного при массовых вымираниях.

Что же касается гипотезы эволюционистов, то ее уязвимым звеном остается внезапное экстраординарное событие короткой длительности, неоднократно имевшее место в истории развития Земли, причем не в локальных участках, а в планетарном масштабе.

Резюмируя вышеизложенное можно отметить, что ни одна из этих гипотез в отдельности не дает удовлетворительного объяснения причин биологических событий. В этой связи несомненный интерес представляет идея, высказанная недавно Э. Кауфманом и Ф. Сурликом, являющаяся по сути дела синтезом двух предыдущих гипотез. По их мнению, космический фактор лишь ускорил вымирание тех организмов, у которых уже имелись признаки спада. Если бы не это событие, вымирание растянулось бы на несколько миллионов лет [6]. Другими словами, космический фактор можно рассматривать, как «катализатор», изменивший ход развития тех или иных биологических комплексов.

Таким образом, проблема факторов вымирания, представляющая как теоретический, так и практический интерес в принципе остается неразрешённой и требует усилия исследователей различных профилей. Поэтому не случайно, что учрежден ряд проектов «Редкие события в геологии» Международной программы геологической корреляции, огромный интерес к нему проявляется не только со стороны палеонтологов, тектонистов, вулканологов, геохимиков, но и представителей казалось бы далеких дисциплин — астрономов и физиков. Результаты предыдущих исследований убедительно показывают, что для достижения прогресса в этом направлении необходима тесная связь, координация между сторонниками различных направлений и гипотез, комплексный подход с применением данных палеонтологии, геохимии, астрофизики, вулканологии, литологии и т. д. Здесь значительную роль могут сыграть и биогеохимические исследования, не только потому, что, выражаясь словами Б. С. Соколова, «биогеохимия стала одной из важнейших наук в изучении биосферы», но еще и потому, что биохимия изучает биологические события в системе мир—среда, т. е. учитывает как «собственно биологические (внутренние)», так и «внешние (экологические)» факторы.

Исследования характера распределения и динамики накопления важнейших биогенных элементов (Mg , Sr , Mn , Fe , Cu и др.) в скелетных остатках «проходящих» (двусторчатые, брахиоподы) и «исчезнувших» (головоногие) организмов в непрерывных разрезах, прослеживание изменения микро-ультраструктурных и текстурных признаков в эволюционном развитии, восстановление палеоэкологических условий среды обитания и их взаимосвязь с биологическими факторами могут успешно применяться при выявлении целого ряда комплексов причин редких событий в геологической истории Земли. Следует отметить, что для проведения этих работ большое значение имеет выбор объекта, т. е. диапазон временного распространения организмов и непрерывность разрезов, а также возможность сопоставления их с таковыми в сопредельных районах. С этой точки зрения территория нашей республики является благоприятным в геологическом отношении регионом для изучения вопросов экстраординарных событий, в частности на рубежах франа и фамена, перми и триаса, мела и палеоценена, эоцена и олигоцена. Так, разрезы Нах. АССР и прилегающей части Армении являются одним из немногих в мире, где палеонтологический материал позволяет проследить непрерывный переход от перми к триасу. Непрерывные приграничные отложения мела и палеоценена, эоцена и олигоцена с остатками двусторчатых, брахиопод, головоногих, фораминифер и т. д. наблюдаются на естественных обнажениях Малого и Большого Кавказа (частично они вскрыты и буровыми скважинами). Аналогичные разрезы имеются в Крыму и Грузии (на западе), Дагестанской АССР (на севере, причем более благодатными палеонтологическими остатками в переходных отложениях мела-палоцена), в Копет-даге, Манышлаке (на востоке), с которыми необходимо проведение корреляции, особенно в плоскости выявления глобального характера явлений.

Литература

1. Давиташвили Л. Ш. Причины вымирания организмов.—М., 1969, —440 с.
2. Science, 1980, v. 208, p. 1095—1108. 3. New Scientist, 1984, v. 104, № 1429, p. 30—33. 4. Природа, 1986, № 1, 53—57. 5. Шманский В. Н., Соловьев А. Н. Рубеж ме-

зозоя и кайнозоя в развитии органического мира.—М., 1982.—39 с. 6. Природа, 1986, № 1, —57—60 с.

Институт геологии АН АзССР,

Поступило 12. IV 1988

А. Элизадэ, Ш. Б. Асланов

БИОЛОЖИ ҺАДИСЭЛЭРИН БЭ'ЗИ БИОКЕОКИМЈЭВИ АСПЕКТЛЭРИ

Органиэмлэрин эвээс олуимасы сэбэблэрийн нээнд олуимасында биокеокимјэви ахтарышлар эсаслы рол ойнажа билээр. Бүүнж үстүүлүүгүй ондай ибарэтдир ки, биокеокимја биологи һадисэлэри организмлэр дүйнэасы—мүнит системийн һэм «сырф биологи (дахили)», һэм дэ «харичин» амиллэри нээрээ алараг ёжрэнэр.

Фасиласиз ڪاسилиشлэрда «бөхрөн сэргээдлэрийн» кечмиш вэ яхуд бирдэфэлниж олмуш организм галыгларыны скелетлэрийн биокен элементлэрийн пајланма гашинаујгуулгуну вэ топланма динамикасынын ашкар едилмэс, тэкамуул инкишафда микро-, ултаструктур вэ текстур эламэллэрийн дэйшилмэсниний нэлэнэаси, этраф мүнитин, палеоколожи шэрантиний бэрпасы вэ онуун биологи амиллээрээ элагэсниний мүэjjэн едилмэс Ерний өөрчлөлийн тарихинда бир сырьа надир һадисэлэрийн баш вермэсниний сэбэблэрийн нээнд мувэффэгижэлэх истифадэ олуна билээр.

Ak. A. Ali-zade, Sh. B. Aslanov

SOME BIOGEOCHEMICAL ASPECTS OF THE BIOEVENTS

The biogeochemical research can play an importance role for clearing up reasons of change of the biological current, gradually and (or) suddenly, irrespective of its character. Their advantages are expressed in that it studies biological events in the system organic universe-environment. It takes into account «proper biological (internal)» and «externals» factors.

Research of character of the distribution and dynamic accumulation of important biogenic elements in skeleton remains «passing» and «extincting» organisms in unbroken sections; proceeding alteration of micro-, ultrastructural and textural indications in evolutionary development, restoration of palaeoecological condition of environment inhabiting and their mutual relations with biological factors can be applied successfully by exposing quite a number of complex cause of the rare events in the geological history of the Earth.

Чл.-корр. АН АзССР А. Н. ГЮЛЬХАМЕДОВ, П. Б. ЗАМАНОВ,
С. Б. ЗЕИНАЛОВ

ВЫНОС АЗОТА, ФОСФОРА И КАЛИЯ РАСТЕНИЯМИ КУКУРУЗЫ ИЗ ВНЕСЕННЫХ ОРГАНИЧЕСКИХ И МИНЕРАЛЬНЫХ УДОБРЕНИЙ

Изучение суммарного выноса питательных веществ с целью установления связи между плодородием почв и урожаем сельскохозяйственных культур всегда интересовало многих исследователей. Вместе с ростом урожая возрастает потребность растений в элементах питания, в связи с чем возникает необходимость увеличения применения минеральных и органических удобрений в хозяйствах [1].

Исследования ВИУА были направлены на изучение географических особенностей изменения химического состава основных сельскохозяйственных культур и вынос ими азота, фосфора и калия. Эти исследования показали, что содержание азота в кукурузе на серых и темно-серых лесных почвах по сравнению со светло-каштановыми изменяется на 10%, фосфора—на 43%, а калия—на 71% [2].

По нашим данным, приведенным в табл. 1, различные дозы органических удобрений оказывают значительное влияние на накопление азота, фосфора и калия в условиях лугово-лесных орошаемых почв Закатальского района. Следует отметить, что различные органы растения отличаются степенью накопления питательных веществ. Во всех исследуемых вариантах более высокое накопление азота было в листьях и стеблях.

При внесении 10 т/га навоза содержание азота в листьях составило 31,3 кг/га, в стеблях—18,4 кг/га, при применении 20 т/га навоза—38,9 и 22,5 кг/га, 30 т/га навоза—39,9 и 26,5 кг/га, соответственно при контролльных значениях—11,9 и 7,2 кг/га. Таким образом, повышение дозы азота вызывает увеличение содержания азота в листьях кукурузы.

Результаты проведенных исследований показывают, что наименьшее накопление азота происходит в метелках—0,76—1,32 кг/га. Аналогичные результаты получены для фосфора и калия. Данные, приведенные в табл. 1, показывают, что наибольшее количество питательных элементов выносится зерном. Вынос азота зерном значительно выше, по сравнению с контролем. Так, в варианте, где вносились 10 т/га навоза вынос азота составил 197,4 кг/га, при внесении 30 т/га навоза вынос азота 264,7 кг/га, 10 т/га компоста—214,9 кг/га.

При внесении 20 т/га навоза растения кукурузы с початками при урожае 232,2 ц/га из почвы выносят 33%, 2 кг/га азота, 188,9 кг/га фосфора и 508,5 кг/га калия, выход сырого протеина составляет 24,6 ц/га, выход кормовых единиц—161,7 ц/га. Эти показатели значительно выше по сравнению с контролем.

При внесении 30 т/га навоза вынос питательных элементов расте-

Таблица 1
Влияние органических удобрений на накопление и вынос NPK растениями кукурузы
(среднее за 1981—1982 гг.)

Вариант опыта	Органы растений	Масса, ц/га	Содержание, кг/га		
			N	P ₂ O ₅	K ₂ O
Контроль (без удобрений)	Корень	17,8	8,4	9,5	56,4
	Стебель	23,9	7,2	17,4	63,6
	Листья	22,7	11,9	11,9	59,1
	Обн. печат.	8,9	2,8	3,2	19,2
	Метелка	1,7	0,8	0,5	2,4
	Зерно	76,5	155,3	32,9	52,0
Всего:		164,5	186,4	75,4	252,7
Выход сырого протеина		11,2			
Выход корм. единиц		101,3			
Навоз — 10 т/га	Корень	18,9	11,9	7,9	66,0
	Стебель	48,1	18,4	31,9	130,3
	Листья	38,7	31,3	24,4	94,0
	Обн. печат.	13,6	9,6	6,0	35,6
	Метелка	2,3	0,8	0,8	5,0
	Зерно	84,7	197,4	71,2	93,3
Всего:		206,3	262,4	142,0	424,1
Выход сырого протеина		18,7			
Выход корм. единиц		134,9			
Навоз — 20 т/га	Корень	20,0	21,6	15,0	65,9
	Стебель	47,5	22,5	39,5	139,6
	Листья	41,3	38,9	39,7	129,7
	Обн. печат.	13,3	7,9	8,5	34,3
	Метелка	3,4	1,3	2,2	9,0
	Зерно	100,0	238,0	84,0	110,0
Всего:		232,2	330,2	188,9	508,5
Выход сырого протеина		24,6			
Выход кормовых единиц		161,7			
Навоз — 30 т/га	Корень	27,4	19,6	28,1	81,8
	Стебель	46,7	26,5	46,1	131,8
	Листья	42,1	39,9	37,5	122,8
	Обн. печат.	16,4	9,3	10,2	42,2
	Метелка	2,5	0,8	2,0	5,9
	Зерно	105,9	264,7	83,7	104,8
Всего:		206,5	294,5	197,2	533,9
Выход сырого протеина		25,5			
Выход кормовых единиц		173,4			
Компост — 10 т/га	Корень	23,6	17,9	13,0	94,9
	Стебель	38,5	20,8	27,3	126,9
	Листья	37,8	30,8	30,7	137,4
	Обн. печат.	14,5	9,2	7,2	36,5
	Метелка	3,3	0,9	1,9	9,0
	Зерно	88,7	214,9	51,5	129,9
Всего:		206,5	294,5	191,9	533,9
Выход сырого протеина		20,1			
Выход корм. единиц		141,4			

ниями кукурузы при урожае 206,5 ц/га составил: азота—294,5 кг, фосфора—197,2 кг, калия—533,9 кг, выход кормовых единиц—161,7 ц/га.

При применении 10 т/га компоста, приготовленного из различных местных отходов, под кукурузу накопление и вынос питательных эле-

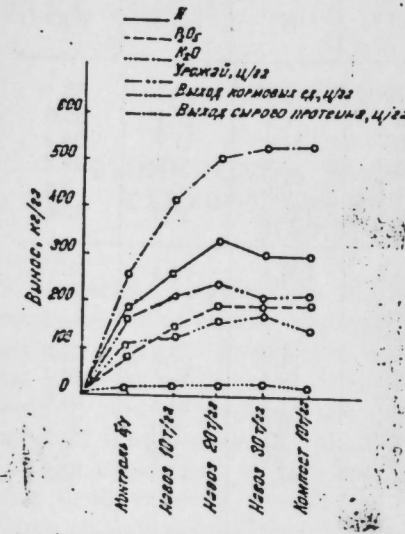


Рис. 1. Влияние органических удобрений на вынос растениями кукурузы, N₂P₂O₅ и K₂O из почвы

ментов из почв с 1 га составили: азота—294,5 кг, фосфора—191,2 кг, калия—533,9 кг, выход сырого протеина—20,1 ц/га, выход кормовых единиц—141,4 ц/га. Эти показатели значительно выше по сравнению с вариантом внесения 10 т/га навоза, где вынос азота составил 269,4 кг, фосфора—142,0 кг, калия—424,1 кг, выход сырого протеина—18,7 ц/га, выход кормовых единиц—134,9 ц/га [1]. Таким образом, наибольшее количество азота, фосфора и калия выносится при внесении навоза 30 т/га.

Результаты совместного внесения органических и минеральных удобрений (табл. 2) показывают, что при внесении 20 т/га навоза + N₁₀₀P₅₀K₃₀ при урожае 232,3 ц/га вынос азота составил 395,9 кг/га,

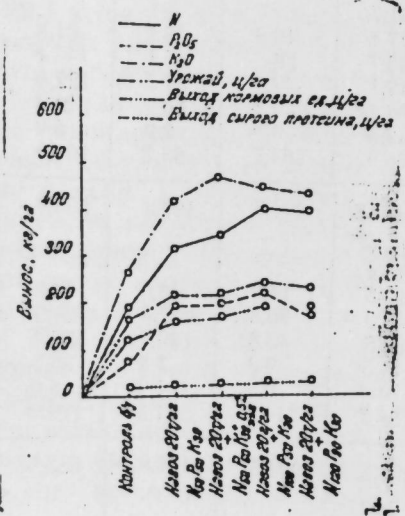


Рис. 2. Влияние совместного применения органических и минеральных удобрений на вынос растениями кукурузы питательных элементов из почвы

Таблица 2
Влияние совместного внесения органических и минеральных удобрений на накопление и вынос NPK растениями кукурузы
(среднее за 1981—1982 гг.)

Вариант опыта	Органы растений	Масса, ц/га	Содержание, кг/га		
			N	P ₂ O ₅	K ₂ O
Контроль без удобрений	Корень	17,8	8,4	9,5	56,4
	Стебель	23,9	7,2	17,4	65,6
	Листья	22,7	11,9	11,9	59,1
	Обв. печат.	8,9	2,8	3,2	19,2
	Метелка	1,7	0,8	0,5	2,3
	Зерно	76,5	155,3	32,9	52,0
Всего:		159,5	186,4	75,4	264,7
Выход сырого протеина		12,2			
Выход кормовых единиц		113,3			
Навоз — 20 т/га + N ₆₀ P ₆₀ K ₃₀	Корень	21,4	13,4	19,3	91,2
	Стебель	38,2	29,6	33,5	127,3
	Листья	39,5	30,6	54,3	90,0
	Обв. печат.	11,8	5,7	9,7	32,0
	Метелка	2,6	1,0	1,8	6,6
	Зерно	97,1	241,8	71,8	71,8
Всего:		210,6	322,1	190,4	418,9
Выход сырого протеина		21,1			
Выход кормовых единиц		154,2			
Навоз 20 т/га + N ₆₀ P ₆₀ K ₃₀ + 0,5 ДДВ	Корень	25,5	20,8	28,4	26,9
	Стебель	39,2	32,8	32,3	141,7
	Листья	37,7	34,5	54,4	98,7
	Обв. печат.	9,1	5,5	7,9	20,1
	Метелка	2,6	2,1	2,4	6,0
	Зерно	99,4	246,3	68,6	98,4
Всего:		213,5	341,2	194,0	461,2
Выход сырого протеина		21,6			
Выход кормовых единиц		158,1			
Навоз 20 т/га + N ₁₀₀ P ₅₀ K ₃₀	Корень	28,0	21,4	31,4	102,9
	Стебель	35,2	25,8	31,3	124,4
	Листья	34,4	33,8	40,5	85,7
	Обв. печат.	12,0	11,5	8,6	24,1
	Метелка	2,3	1,2	1,4	5,9
	Зерно	120,4	302,9	96,3	96,3
Всего:		232,3	395,9	209,5	439,3
Выход сырого протеина		25,0			
Выход кормовых единиц		182,8			
Навоз 20 т/га N ₁₂₀ P ₉₀ K ₃₀	Корень	28,4	25,1	27,7	89,9
	Стебель	31,7	22,6	26,4	88,4
	Листья	33,0	29,4	46,0	95,0
	Обв. печат.	10,7	8,2	8,1	28,6
	Метелка	2,3	0,7	1,5	4,8
	Зерно	118,7	299,1	92,9	117,5
Всего:		224,8	385,1	173,6	425,0
Выход сырого протеина		25,5			
Выход кормовых единиц		176,8			

фосфора—209,0 кг/га, калия—439,3 кг/га, выход сырого протеина—25,0 ц/га, выход кормовых единиц—182,8 ц/га. Наибольшее содержание питательных элементов, особенно азота, отмечалось в листьях и стеблях (рис. 2).

При совместном внесении 20 т/га навоза + $N_{60}P_{60}K_{30}$ содержание азота в листьях составило 30,6 кг/га, в стеблях—29,6 кг/га, а в варианте с внесением 20 т/га навоза + $N_{100}P_{50}K_{30}$ содержание азота в листьях и стеблях соответственно увеличилось и составило 21,8 и 18,6 кг/га, по сравнению с контролем без удобрений.

Однако основное количество питательных элементов выносится с зерном кукурузы. Во всех вариантах с удобрениями вынос азота зерном был значительно выше, чем в контроле, где удобрения не вносились. Так, при применении 20 т/га навоза + $N_{100}P_{50}K_{30}$ выносится азота—302,9 кг/га, фосфора—96,3 кг/га, калия—96,3 кг/га.

Таким образом, устанавливается коррелятивная связь между накоплением выноса NPK растениями кукурузы в зависимости от внесения органических и минеральных удобрений.

Литература

1. Петербургский А. В. О балансе азота, фосфора и калия в земледелии СССР.—Изв. АН СССР, серия биол., 1968, № 5. 2. Справочник агронома.—М., 1980.

Институт почвоведения и агрохимии АН АзССР

Поступило 1. VI 1988

Э. Н. Күләһмәдов, П. Б. Заманов, С. Б. Зеиналов

ҮЗВИ ВӘ МИНЕРАЛ КҮБРӘЛӘРИН ВЕРИЛМӘСИНДӘН ГАРҒЫДАЛЫ БИТКИСИ ТӘРӘФИНДӘН АЗОТУН, ФОСФОРУН ВӘ КАЛИУМУН КӨТҮРҮЛМӘСИ

Мәгәлә суварылан чәмән-мешә торпаглары шәрәнтиндә үзви вә минерал күбәләрин мұхтәлиф нормаларының тә'сирі иәтичәсіндә вайид саһәдән көтүрүлән гида маддәләринин єүрәнилмәсінә һәсәр едилмишdir.

Мүәжжән едилмишdir ки, күбә нормасының артмасы илә әлагәдар гарғыдалы биткисинин жарығ, көздә вә дәндә гида маддәләринин вайид саһәдән көтүрүлән мигдарының артмасы вә онлар арасында асылылыг мушаһидә едилмишdir.

A. N. Gulakhmadov, P. B. Zamanov, S. B. Zeinalov

CARRYING OUT THE NITROGEN, POTASSIUM AND PHOSPHORUS WITH THE MAIZE PLANTS GIVING THE ORGANIC AND MINERAL FERTILIZERS

It is determined that according to the increasing of fertilizer norm the nourishing substances increasing in the leaf, stem and grain of maize plant and the dependence between them are observed.

АЗӘРБАЙЧАН ССР ЕЛМЛӘР АКАДЕМИЯСЫНЫН МӘРҮЗӘЛӘРИ

ДОКЛАДЫ АКАДЕМИИ НАУК АЗЕРБАЙДЖАНСКОП ССР

ТОМ XLV ЧИЛД

№ 3

1989

УДК 581.9

Н. А. МАМЕДОВ, С. Ф. АЛИЕВА

БОТАНИКА

АМБРОЗИИ — НОВЫЕ АДВЕНТИВНЫЕ СОРНИКИ АПШЕРОНА

(Представлено академиком АН Азербайджанской ССР В. И. Ульянцевым)

Согласно перспективным планам развития Апшерона к концу нынешнего столетия должен стать одним из основных поставщиков сельскохозяйственной продукции для г. Баку. Чтобы выполнить эту важную задачу необходимо всестороннее изучение растительного покрова полуострова. В настоящее время антропогенное воздействие на растительный покров приобрело глобальный характер [3].

Особая роль в этом процессе принадлежит инвазии адвентивных растений (от латинского «адвентус» — пришлый, заносный).

В результате фитомелиоративного освоения земель создаются благоприятные условия для заноса и распространения адвентивных видов, изучение которых имеет большое значение для выявления новых пришельцев из состава сорной растительности в целях принятия своевременных мер, предупреждающих расселение адвентивных сорняков на новых территориях.

Среди сорных адвентивных видов флоры Кавказа особый интерес представляют амброзии. Из 25 видов этого рода, распространенных на Американском континенте, в СССР занесено 5 видов, на Кавказ — 4, в Азербайджан — 1 вид (*Ambrosia artemisiifolia* L.). Найден единственный экземпляр (гербарный лист Е. Селиванчика, Т. Гейдеман; Нулинский и Шекинский районы, совхоз им. Орджоникидзе, 1939; ВАК), других экземпляров амброзии полынолистной (*A. artemisiifolia* L.) в гербарии Института ботаники АН АзССР не имеется [1, 4].

В 1972 г. проф. В. Д. Гаджиев выезжал с экспедицией в районы Азербайджана, в том числе в Шекинский, где в 1939 г. были собраны единичные экземпляры амброзии. Однако им этот вид в Шекинском районе не был обнаружен. На Черноморском побережье Кавказа амброзия впервые была собрана в 1936 г. [6].

На Апшероне впервые амброзия нами собрана весной-летом 1986 г., вблизи пос. Говсаны, на орошаемых землях зерновых культур. Растения встречались редко. Видимо, семена амброзии были занесены на Апшерон с семенным материалом из Северного Кавказа.

Амброзия — влаголюбивое растение, прекрасно выносит временное затопление, вместе с тем мирится и с недостатком влаги, развивая мощную корневую систему. Селится амброзия на всевозможных сорно-рудеральных местах, залежах, на огородах, встречается по дорогам, вдоль канав, по межам, окраинам полей и в посевах пропашных культур, виноградниках. По данным грузинских ботаников, она отмечается на высоте до 1000 м над ур. моря [7]. Опытами доказано, что при наличии одного растения амброзии в гнезде кукурузы урожайность ее снижается до 66% [6]. Одно хорошо развитое растение способно дать до

100 000 и более семян, не теряющих всхожести до 10 лет [2]. Этого вполне достаточно, чтобы получить представление о вредоносности указанного сорняка. Широкое распространение амброзии полынолистной объясняется не только ее необычайно высокой репродуктивной способностью, но и тем, что с нею почти не ведется борьба на необрабатываемых площадях, являющихся семенными рассадниками этого злостного карантинного сорняка. Приуроченность амброзии к близким от человеческого жилья местам определяет ее исключительную опасность и для здоровья человека. Легко разносясь на большие расстояния, пыльца амброзии, попадая в дыхательные органы человека, вызывает тяжелые аллергические заболевания. Так, например, в США, в период массового цветения амброзии аллергии болеют более 65% населения [6]. Цветет амброзия с июля по сентябрь, а плодоносит в наших условиях с сентября до начала ноября. Аллергенное воздействие пыльцы амброзии усиливается в период цветения, так как осенью не цветут другие растения, вызывающие поллинозы. Следует отметить, что стебли и листья амброзии содержат 0,07—0,15% горьких эфирных масел [6]. Вследствие этого при поедании амброзии дойными коровами, происходит порча получаемых от них молочных продуктов.

В сентябре 1987 г. на Апшероне нами были собраны и другие виды амброзии — амброзия трехлистная (*Ambrosia trifida L.*), на огороде пос. Хырдалан 21. IX. 1987 г., Н. А. Мамедов (BAK). Это северо-американское однолетнее растение.

На Апшеронском полуострове амброзии пока не имеют широкого распространения, однако, необходимо производить наблюдения за развитием этих опасных карантинных сорняков в условиях Апшерона. Появление амброзии в Азербайджане (на Апшероне) указывает на необходимость тщательного контроля службой карантинной инспекции за привозимым в республику семенным материалом из других регионов СССР.

Борьба с амброзией имеет государственное значение и должна вестись повсеместно. Мероприятия по борьбе с амброзией детально разработаны и должны проводиться в соответствии с основами земельного законодательства СССР и союзных республик.

Литература

1. Ахундов Г. Ф. «Род *Ambrosia*—Амброзия». Флора Азербайджана, —Баку: Изд-во АН АзССР, 1961, т. 8, с. 238. 2. Васильев Д. С. Некоторые данные к биологии *Ambrosia artemisiifolia*—Л.: Бот. ж., 1959, 7. с. 843. 3. Горчаковский П. Л., Пешкова Н. В. Проблема синантропизации естественного растительного покрова и ее освещение в работах польских ботаников.—Л.: Бот. ж., 1975, с. 118—128. 4. Гросгейм А. А. Определитель растений Кавказа.—М.: Сов. наука, 1949. 5. Колаковская В. С. Адвентивная флора Абхазии.—Тбилиси: Мицинереба, 19, 1977, с. 38. 6. Колаковская В. С. Сорные растения Абхазии.—Тбилиси: Мицинереба, 1978, с. 57—59, 96. 7. Колаковский А. А. Флора Абхазии, т. 2.—Тбилиси: Мицинереба, 1982, с. 16—17. 8. Никитин В. В. Сорные растения флоры СССР.—Л.: Наука, 1933, с. 358—360.

Институт ботаники АН АзССР

Поступило 12. V 1988

Н. А. Мамедов, С. Ф. Алиева

АМБРОЗИЯ — АБШЕРОНУН ЈЕНИ АДВЕНТИВ АЛАГ БИТКИСИДИР

Мәгаләдә Абшеронда амброзија чининә мәхсүс ики јени иөв адвентив алаг биткисиндән мә'лумат верилир (*Ambrosia artemisiifolia* L., *A. trifida* L.)

N. A. Mamedov, S. F. Aliyeva

RAGWEEDS—NEW ADVENTIVE WEEDS OF APSHERON

The article informs about first findings of two species of genus *Ambrosia* L. (*A. artemisiifolia* L., *A. trifida* L.) in Apsheron. The both species are the dangerous quarantine weeds. *A. trifida* L. is first presented for the Azerbaijan flora.

УДК 581.543

ГЕОБОТАНИКА

А. А. АСЛАНОВ, чл.-корр. В. Д. ГАДЖИЕВ, Э. Р. ДАШДАМИРОВА,
Ф. Х. НАБИЕВА

РИТМЫ РАЗВИТИЯ РАСТИТЕЛЬНОСТИ ТРЕТИЧНОГО ПЛАТО
БОЗДАГА

Для рационального использования природных ресурсов важно знать сезонное развитие растительности, тем более, что до сих пор отсутствуют систематические наблюдения за фенологией трав, даже эдификаторных видов. Недостаточная изученность данного вопроса и специфика условий обследуемого региона диктовали выбор темы исследования.

В Азербайджанской ССР третичное плато известно под названием Боздаг (серые горы). Это невысокие горы, расположенные в отрогах Малого и Большого Кавказа в пределах от 300 (400) до 600 (700) м над ур. моря. На Большом Кавказе (в пределах Азерб. ССР) он тянется с запада от Ширакской возвышенности (Груз. ССР) до востока — Шемахинского административного района Азерб. ССР. Эта полоса низкогорья и предгорья расположена в периферической зоне третичных и четвертичных структур, окружающих мезозойское сооружение. Состоит из рыхлых третичных (палеогеновые, неогеновые, полиценовые) и четвертичных отложений (песчаники, известняки, конгломераты, глины, суглинники и др.). Для региона характерна куполовидная складчатость [1]. Из тектонических явлений на Боздаге преобладают денудационно-эрзационные процессы, которые особенно активно проявляют себя на эксплуатируемом массиве. Влияние антропогенного фактора здесь проявляется слабо, тогда как физические факторы всегда играли и играют определяющую роль. Сложный рельеф выработал на территории третичного плато неоднородный, порой разнообразный мозаичный тип растительности [2]. В регионе в основном встречаются серо-бурые почвы с различным механическим составом (песчаная, глинистая, суглинистая и др.). Почвы, с разреженной растительностью, подвержены эрозии на 50—60%. Климат здесь почти идентичен: аридный весной и летом, влажный — зимой и осенью. В год выпадает неравномерное количество осадков [2].

Несмотря на эрозионно-денудационные явления, а также аридный климат, в районе представлена богатая флора и разнообразная растительность. Это связано с тем, что на одних склонах Боздага климат напоминает сухой субтропический, на других, особенно северных, выражены признаки континентальности. На южных склонах, в зоне субтропиков, растительность круглый год (за исключением летних месяцев) находится в стадии развития.

На территории обследуемого региона зарегистрировано 459 видов высших растений, относящихся к 259 родам и 53 семействам. 224 вида являются однолетними, 14—двулетними, 117—многолетними, 50—кустарников и полукустарников, 24—деревьев и 30 геофитов (луковичных и клубнелуковичных).

После первых осенних дождей на южных склонах Боздага, где климат напоминает сухой субтропический, у однолетних и многолетних начинается интенсивное развитие.

На северном склоне третичного плато, в силу континентальности климата, такого явления не наблюдается. Зимой и осенью здесь наступает мертвопокровный период.

К весенним видам из кустарников, полукустарников и деревьев мы относим те виды, у которых цветение начинается ранней весной. Сюда были отнесены все виды *Salix* и *Populus*, *Rubus* sp. div., *Rosa* sp. div., *Viburnum lantana*, *Lonicera caprifolium*, *Acantholimon fominii*, *Hippophae rhamnoides*, *Atraphaxis spinosa*, *Berberis iberica*, *Pyrus* sp. div., *Sorbus torminalis*, *Rugacantha coecinea*, *Mespilus germanica*, *Cerasus* sp. div., *Crataegus* sp. div., *Caragana grandiflora*, *Rhus coraria*, *Cotinus coggygria*, *Acer iberica*, *Rhamnus pallas*, *Zizyphus jujuba*, *Tamarix* sp. div., *Elaeagnus angustifolia*, *Punicum cranaium*, *Diospyros lotos* и др.

К весенним видам можно отнести 33 вида луковичных геофитов, которые широко представлены в аридной зоне Боздага. У некоторых геофитов вегетация продолжается до осени (виды *Gagea*). Геофиты являются индикаторами или пионерами в формировании растительности на сухих склонах. Здесь широко представлены виды из сем. лилейные — *Merendraga trigyna*, *Asphodelina dendroides*, четыре вида *Gagea* (*G. chanae*, *G. dubia*, *G. commutata*, *G. bulbifera*), два вида *Allium* (*A. rubellum*, *A. erubescens*), три вида *Tulipa* (*T. eichleri*, *T. biedersteineriana*, *T. polychloma*), три вида *Bellevalia* (*B. wilhelmsii*, *B. fomini*, *B. zygomorpha*), два вида *Muscari* (*M. caucasicum*, *M. szovitsianum*), четыре вида *Asparagus* (*A. persicus*, *A. verticillatus*, *A. caspius*, *A. polypillus*), а из амариллиевых — *Sterubergia fischeriana*, из касатиковых — *Crocus adami*, 8 видов *Iris* (*I. reticulata*, *I. caucasica*, *I. pseudacorus*, *I. cartbaliniae*, *I. cammillae*, *I. iberica*, *I. soehlkownikowii*, *I. taurica*), *Gladiolus segetum*, из ятрышниковых 3 вида *Orchis* (*O. schelkownikowii*, *O. simia*, *O. laxiflora*), *Loroglossum formosum*, *Anaemone pyramidalis*.

Перечисленными видами геофиты Боздага не исчерпываются. Для составления их полного списка необходимы дальнейшие исследования, в особенности в те годы, когда виды дают «вспышки», т. е. обильные проростки. В такие «геофитные» годы склоны Боздага превращаются в цветники тюльпанов, ирисов, ятрышников и других растений.

Из числа у казанных геофитов, встречающихся на Боздаге, 5 видов являются эндемами Азербайджана (*Tulipa eichleri*, *Bellevalia fomini*, *B. zygomorpha*, *Iris cammillae*, *I. schelkownikowii*) и 3 вида эндемами Кавказа (*Bellevalia wilhelmsii*, *Iris iberica*, *I. taurica*). Кроме эндемиков-геофитов на территории Боздага встречаются десятки эндемичных видов, относящихся к многолетним травянистым, видам деревьям, кустарникам.

Наличие в аридной зоне большого числа эндемичных видов свидетельствует об оригинальности региона и потому Боздаг можно считать центром видообразования.

На третичном плато Боздага широко представлены также чешуйчатые древовидные можжевельники (*J. foetidissima*, *J. polycarpos*), которые образуют своеобразные редколесья, известные под названием «арчи». Кстати, на хребте Боздага (400—650 м над ур. моря) расположено

жен самый крупный в республике массив арчевого редколесья площадью более 30 000 га.

Ранней весной арчевники покрываются снегом, кроме крон арчи и фисташек, кое-где на южных склонах и эродированных крутых склонах. В это время на проталинах цветет редкая белая древовидная асфоделина (*Asphodeline dendroides*), хотя по склону маленьками островками все еще лежит снег. Фон бурый, от слежавшегося под снегом мертвого травостоя сочетается с желто-зелеными пятнами вегетирующих мхов. В это время пробиваются злаки и разнотравья, всюду видны лепестки бледно-фиолетовой однолетней герани маленькой и лепестки бледно-розовой герани пурпуровой или лепестки белой однолетней герани рассеченоюй. В разгар весны поднимается разнотравье. Фон по-прежнему буровато-желтый. Отцветает асфоделина древовидная.

На смену приходит аспект золотисто-желтого гусиного лука—виды *Gagea*. Распускают первые листочки и бутонизируют виды жимолости и другие кустарники. Можжевельники цветут и быстро отцветают. На протяжении марта—апреля господствует аспект ранневесенних геофитов. К цветущему гусиному луку и другим геофитам присоединяются желтые звездочки лютников (*Ranunculus meyerianus*, *R. bulbosus*) и бледно-розовые соцветия, изредка встречающихся видов хохлатки, дымянки, мака, фиалки. К маю становятся светло-зелеными. Значительно поднимаются разнотравья и злаки. Их средняя высота достигает 25—30 см. Конец мая—начало июня характеризуется развитием раннелетнего аспекта. На смену геофитам приходят цветущие злаки, разнотравье и представители бобовых. Создается яркий аспект голубых и белых оттенков благодаря кустарникам шиповника, жимолости, курчавки, барбариса и дикоплодовых (семечковых и косточковых). К концу июня этот аспект становится еще красочнее, так как зацветают виды ясколки, герани. На полянах развиваются красно-фиолетовые пятна остролодочника и желтоватые соцветия мытника; цветет белый мелколепестник (*Erigeron*) и желтая лапчатка (*Potentilla*). В конце июня быстро отцветают овсяницы (*Helictotrichon*) и зацветают розовато-белые соцветия горца (*Polygonum*). В конце июня и в начале июля проявляется влияние засушливой и жаркой погоды: почва еще достаточно влажна, хотя в травостое уже видны следы усыхания. В этот период цветет фисташка и фон приобретает вместо светло-зеленого желтоватый оттенок. Начинают подсыхать листья злаков, разнотравья и бобовых. Отцветают последние незабудки, герань, мелколепестники, остролодки и др. В середине июля начинается летний аспект, создаваемый массовым цветением крупных трав: голубоватых колокольчиков, желтых соцветий бузульника, зеленоватого борца. К нему присоединяются колокольчики, реже фиолетовые кисти жимолости. На полянах редкими сиреневыми пятнами стелется тимьян — *Thymus*.

В конце июля—в начале августа растения засыхают. Фон травостоя становится буровато-красным. Продолжают цветти лишь немногие растения предыдущего аспекта. Главная роль при этом принадлежит фиолетовому колокольчику (*Campanula glomerata*), отдельно цветущим экземплярам мелколепестника канадского и крупным розово-пурпурным лепесткам алтея жестколистного (*Althaea hirsuta*).

Такие однолетники, как *Anagallis arvensis* и *A. coerulea* цветут весной (апрель), летом (июнь-июль) и до поздней осени (сентябрь).

Такими свойствами обладают также *Verbascum formosum*, *Xeranthemum inaperatum*, а на засоленных местах, особенно в пониженных — *Camphorosma lessingii*, *Kochia prostrata*, *Chenopodium murale*, *Cerastium caespitosum* и другие виды, относящиеся к семейству маревых. Дольше всех цветут и собственно завершают развитие аспектов вегетационного периода на постоянно избыточно увлажненных местах *Juncus maritimus*, *Ranunculus repens*, *Potentilla* sp.; на сорных местах — *Sisymbrium loeselii*, *Alyssum*, *Pimpinella altissima*, из злаков — *Melica transsilvanica* и *Catabrosa aquatica*. В конце августа—начале сентября большинство травянистых растений засыхает; продолжают вегетировать только трагакантовые астрагалы, тогда как некоторые представители мезофильно-луговых сообществ продолжают плодоносить до глубокой зимы. У видов родов *Erigeron*, *Cerastium*, *Crepis* наблюдается появление в октябре розеток зеленых листьев, которые остаются под снегом. У видов рода скерда встречаются даже розетки с сильно укороченными генеративными побегами, несущими раскрывшиеся цветки. Большинство злаков после первых осенних дождей зимуют с зелеными нижними частями листьев, у них происходит даже кущение и далее ранней весной наблюдается отрастание. В холодные зимние месяцы злаки способны замедлять процесс роста, что отрицательно не отражается на дальнейшем протекании жизненных процессов, наоборот, способствует при наступлении тепла быстрому отрастанию и восстановлению прежнего состояния. Осеннее отрастание листьев, отмирающих зимой, наблюдается также у большинства разнотравья, в частности, у видов лапчатки.

При описании фенологического ритма развития можжевелово-фисташковой лесостепи степного плато Боздага следует отметить, что на описываемом участке она представлена наиболее сухим и обедненным вариантом: бородачово-можжевеловым, бородачово-фисташковым или можжевелово-фисташковым сообществами. Сомкнутость древесного яруса 0,3—0,4, уклон 20—25°, высота — 700 м над ур. моря.

Ввиду того, что каждое сообщество, каждый ценоз имеет свой облик и свой состав флоры, следовательно, при разработке мер по их восстановлению и охране необходим дифференцированный подход.

Таким образом, авторами продолжаются исследования на территории третичного плато Боздага по изучению ритмов развития растительности для разработки фенологических основ рационального природопользования региона. Полученные данные будут использованы также при картографировании, районировании и классификации растительности указанного района исследования.

Литература

1. Геоморфология Азербайджана. — Баку: Изд-во АН АзССР, 1959, с. 359.
2. Прилико Л. И. Лесная растительность Азербайджана. — Баку: Изд-во АН АзССР, 1954, с. 488.
3. Арчевые леса центральной части Туркестанского хребта. — Изд-во АН Таджик. ССР, 1958, с. 265.

Институт ботаники АН АзССР

Поступило 4. III. 1988

В. Ч. Ыачыев, Е. Р. Дашибирова, Ф. Х. Набиева, А. А. Асланов

УЧҮНЧУ ДӨВР БОЗДАФ СИЛСИЛЭСИННИН БИТКИ
ӨРТҮҮJҮНҮН ИНКИШАФ РИТМЛЭРИ

Мэгаладэ Боздагын битки өртүүjүнүн инишиф ритмләри өрнөнүлмүштүр. Хусу-
силэ раionун ардычлы-пусталик меше бозгыларынын фенологи инишиф ритми тәс-
вир олунмуш вә иөв тәркиби тә'жин едиштүр. Ашкар олунмуш кеофитләрин 5 иөв
Азэрбайчан, 3 иөв исә Гафгаз ендеми саялыр.

V. D. Gajiyev, E. R. Dashdamirova, F. Kh. Nabiyeva, A. A. Aslanov

THE RHYTHMS OF DEVELOPMENT OF BOZDAG TERTIARY
PLATEAU VEGETATION

The rhythms of development of Bozdag tertiary plateau vegetation are studied. It specific structure is defined and the description of phenological rhythm of Juniper-pista che forest-steppe development of the region investigated is given. Among the number of the geophytes detected, 5 species are the endems of the Azerbaijan and 3 species are tha of the Caucasus.

АЗЭРБАЙЧАН ССР ЕЛМЛЭР АКАДЕМИЯСЫНЫН МЭРҮЗЭЛЭРИ

ДОКЛАДЫ АКАДЕМИИ НАУК АЗЕРБАЙДЖАНСКОЙ ССР

ТОМ XLV ЧИЛД

№ 3

1989

УДК 582.79 (547.97)

ПРИКЛАДНАЯ БОТАНИКА

М. А. КАСУМОВ, Т. А. КАСУМОВА, В. И. МАМЕДОВ

КРАСНЫЙ ПИЩЕВОЙ КРАСИТЕЛЬ

(Представлено академиком АН Азербайджанской ССР И. Д. Мустафаевым)

Род штокрозы (*Alcea rosea* L. сем. Malvaceae) распространен главным образом в восточной части Средиземноморья, включает в себя около 60 видов. В СССР встречается 34 вида [1].

Штокроза розовая обладает декоративными, лекарственными, волокнистыми, медоносными и красильными свойствами [1, 2, 3, 4, 5, 6, 7, 8]. Она встречается в Азрбайджане только в культуре, как декоративное растение, часто простыми цветками, редко маxровыми [8].

Впервые выделенные нами в республике новые формы штокрозы и их лепестки имеют следующие цвета и оттенки: белая, слабо-розовая, розовая, темно-розовая, розово-красно-чайная, кремово-розовая, красная, красно-кровяная, красно-розовая, красно-малиновая, красно-фиолетовая, красновато-бордовая, слабо-малиновая, светло-малиновая, малиново-розовая, темно-малиновая, фиолетово-красная, фиолетово-черная, светло-фиолетовая, красно-черноватая и многие другие.

Кроме того, по нашим многолетним наблюдениям, окраска цветов маxровых форм штокрозы сильно варьирует. Нами впервые в республике выявлены 4 основные формы, различающиеся по окраске лепестков, которые условно называли: красная, черная, фиолетовая и сиреневато-розовая. Кроме них на территории республики в культурном виде попадаются белые, розовые и малиново-розовые цветки с зазубренными крайними лепестками. Больше всего встречаются растения с красными величинами. Красная форма штокрозы *Alcea rosea* forma ruber высотой 0,6—2,4 м. Кусты хорошо развиты, с моноподиальным, реже симподиальным ветвлением. Листья крупные: длина—22—25, ширина—19—20 см; длина черешка—28—30 см, лопастные, иногда пальчато-рассеченные, вверх по стеблю листья уменьшаются. Стебли, листья и чашелистики опущены звездчатыми, строго шестилучевыми волосками разной величины. Цветы крупные—диаметр в среднем 8—9 (10) см. Масса 1000 семян более 17—19 г, лабораторная и грунтовая всхожесть соответственно 68 и 40%. Масса 100 воздушно-сухих лепестков 37—40 г, содержание красящих веществ—8,7—10%.

Черная форма *A. rosea* forma ruger как простых, так и маxровых встречается единично. Некоторые кусты очень мощные, стебель 1,2—2,3 (2,4) см высоты с моноподиальным ветвлением. Листья крупно-лопастные. Диаметр цветков 7—9 (11) см. Стебли, листья и чашелистики без опушения. Масса 1000 семян около 16—17 г, лабораторная всхожесть 48%, грунтовая—31%. Масса 100 воздушно-сухих лепестков 36—37 г, содержание красящих веществ 10—12%.

Фиолетовая форма *A. rosea* forma violaceus наблюдается часто.

Таблица 1

Органолептические показатели красителей

Показатели	Красители
Внешний вид	Густая сиропообразная жидкость
Цвет	Темно-красный
Вкус	Характерный слабовяжущий
Запах	Специфический, ощущается аромат, свойственный лепесткам штокрозы

Таблица 2

Основные свойства красного пищевого красителя, полученного из красной махровой формы лепестков штокрозы

Показатели	Красители
Содержание сухих веществ, % не менее	35—36
Содержание красящих веществ, г/кг, не менее	38—40
Титруемая кислотность, град	109—110
Титруемая кислотность в пересчете на лимонную кислоту, %	7,65—7,70
pH	0,8—1,0
Содержание общей золы, %	0,5—0,6
Соли тяжелых металлов	отсутствуют

Таблица 3

Физико-химические показатели красителя черной формы штокрозы

Показатели	Красители
Содержание сухих веществ, %	40—45
Содержание красящих веществ, г/кг	45—48
Титруемая кислотность,	
Титруемая кислотность в пересчете на лимонную кислоту, %	7,2—7,8
pH	1,0—1,2
Растворимость в воде	Полная
Содержание общей золы, %	0,6—0,7
Соли тяжелых металлов	

Стебель 1,5—2,5 м высоты, ветвление обычно моноподиальное, редко симподиальное. Стебли голые, редко волоски расположены только в верхней части цветоноса. Листья, бутоны и чашелистики опущены звездчатыми шестилучевыми волосками, иногда один из лучей длиннее остальных. Диаметр цветка в среднем 7—10 см. Масса 1000 семян 16—16,5 г, лабораторная всхожесть около 43—50%, групповая—37—38%. Масса 100 воздушно-сухих лепестков 48—50 г, содержание красящих веществ—9,5—10%.

Сиренево-розовая форма *A. rosea* forma *roseus* встречается очень редко. Высота растений 90—110 см. Стебли прямостоячие, без боковых ответвлений. Листья крупные, лопастные. Стебли опущенные, с густыми шестилучевыми волосками, такие же волоски на листьях, бутонах и чашелистиках. Цветки в сравнении с вышеотмеченными формами мельче, диаметр в среднем 7—8 см. Масса 1000 семян около 12—13 г, лабораторная всхожесть 35—38%, грунтовая—20—25%. Масса 100 воздушно-сухих лепестков 33—35 г, содержание красящих веществ—7—8%.

При изучении состава антициановых пигментов хроматографическим методом в красителях из свежих лепестков красной, фиолетовой и черной форм штокрозы было определено в основном 3—4 антициановых соединений. Как показали хроматограммы, антицианы красной формы лепестков штокрозы содержат главным образом, цианидины, пионидины и пеларгонидины.

Данные хроматографических исследований позволяют предположить, что в красителе из черной формы лепестков штокрозы несколько больше пеларгонидина, цианидина, дельфинидина, мальвинидина и пеонидина, чем в других видах. А фиолетовая форма штокрозы содержит главным образом цианидин, пеонидин, пелартонидин и дельфинидин.

Органолептические показатели натуральных пищевых красителей, изготовленных из лепестков штокрозы, представлены в табл. 1.

Как следует из табл. 1, красители, полученные из лепестков красной, черной и фиолетовой форм штокроз, представляют собой сиропообразную жидкость, окрашенную в интенсивно-розовый, красный цвета, с характерным вкусом, без постороннего привкуса и запаха. Органические показатели красителей вполне приемлемы для окрашивания ими разнообразных пищевых продуктов.

Как следует из представленных данных, краситель из красной махровой формы лепестков штокрозы содержит достаточное количество красящих веществ для окрашивания пищевых продуктов.

Окрашивание пищевых продуктов красителем из лепестков штокрозы.

В процессе изучения основных свойств красителя из лепестков штокрозы сотрудниками Института ботаники им. В. И. Комарова АН Азерб. ССР, СКТБ КПМС с ОП ИНФХ АН Азерб. ССР и совместно с работниками соответствующих предприятий проведены опыты по окрашиванию таких пищевых продуктов, как карамель, дражье, кисель, сироп, лимонад, патока, помада для конфет, крем для торты, пирожных, а также молочных и мясных изделий и т. п.

Во всех опытах получены положительные результаты. Окрашенные изделия имеют приятный цвет красно-розовых тонов; более привлека-

Я. А. АГАЕВ

МОНОАМИНООКСИДАЗНАЯ АКТИВНОСТЬ ХРОМАФИННЫХ КЛЕТОК И ТРИПТАМИНПОЗИТИВНЫХ НЕИРОЦИТОВ ПОЯСНИЧНЫХ СИМПАТИЧЕСКИХ ГАНГЛИЕВ ЧЕЛОВЕКА

(Представлено академиком АН Азербайджанской ССР Г. Г. Гасановым)

Дезаминирующая монооксидаза (MAO) [1, 4, 3, 4] является представителем флавопротеинной группы ферментов, катализирующих процессы окисления ряда диаминов, первичных, вторичных и третичных аминов [5, 1, 2]. Отмечена прямая корреляция между скоростью окисления аминных групп и их локализацией в составе различных органов и тканей [3]. В качестве субстрата MAO в животных тканях выступают триптамины, адреналин и серотонин, но при этом фермент не вступает в связь с гистамином [1, 5]. Есть сведения об определенной роли MAO в детоксикации аминных групп [7], а анализ ультрацентрифугированных тканевых гомогенатов подтвердил предположение, что местом сосредоточения MAO в клетках являются митохондрии [6]. Наибольшей активностью рассматриваемый фермент обладает в почечном эпителии, энтероцитах кишечника и в нервной ткани [2]. Способность MAO окислять триптамины, адреналин и серотонин существенным образом отражается на функциональной деятельности симпатических ганглиев человека, поскольку подавляющее большинство нейроцитов (80–90%) и группа хромаффинных клеток (SIF—клетки) в этих узлах содержат именно перечисленные биогенные амины. При этом мы не исключали вариант, что нейроциты симпатических ганглиев могут пиноптицировать и включать в метаболизм адреналин, серотонин и триптамины, синтезируемые паракринными SIF—или APUD—клетками.

Материал и методы. Материалом исследования послужили правые и левые поясничные симпатические ганглии 12 человек в возрасте 20–50 лет, полученные при максимально ранних вскрытиях (3–6 ч после смерти). Аутопсийный материал замораживался твердой углекислотой (-70°), из него изготавливались криостатные срезы (10 мкм), в которых гистохимически выявлялись триптамин-зависимая моноаминооксидаза. В работе был использован апробированный и хорошо себя зарекомендовавший тетразолиевый метод [4, 2]. В качестве биохимического субстрата в инкубационную среду включался триптамингидрохлорид, а в виде акцептора водорода — нитротетразолиевый синий. Контрольные срезы инкубировались в растворе, содержащем ипрониазид или 0,01 М концентрацию парахлормеркурибензоата. Диформазан, образующийся в результате инкубации криостатных срезов, оценивался визуально в условных единицах по 5-балльной шкале.

Результаты исследования. Установлено, что MAO в составе поясничных симпатических ганглиев сосредоточена главным образом в клеточных элементах. Слабая фоновая реакция в волокнистых элементах

тельный внешний вид, чем контрольные образцы. Вкусовые качества изделий, свойственные данному виду продукта, без постороннего привкуса и запаха. Органолептические и физико-химические показатели всех окрашенных продуктов удовлетворительны и соответствуют требованиям стандарта. Яркость окраски опытных изделий характерная, и в течение гарантийного срока сохраняется. Образцы изделий, окрашенные красным пищевым красителем, полученным из лепестков красной, фиолетовой и черной форм штокрозы, при рассмотрении на заседании республиканской дегустационной комиссии Минпищепрома Азерб. ССР получили единогласное одобрение. Получено разрешение Министерства здравоохранения ССР на использование красного пищевого красителя из лепестков штокрозы в производстве различных пищевых продуктов, в том числе для окрашивания кондитерских изделий.

Литература

1. Ильин М. М. Род Alcea L. Флора ССР.—М.—Л.: Наука, 1949, с. 84. 2. Декоративное садоводство.—М., 1949, с. 84. 3. Некрасова В. Л. Волокнистые растения ССР. В журн.: Раст. сырье ССР.—Л., 1950, т. 1, с. 403–409. 4. Глухов М. М. Медоносные растения.—М.: Сельхозгиз, 1955, с. 352–353. 5. Салихов С. А. Возделывание, уход, сбор, сушка и хранение цветков штокрозы (Alcea rosea L.). Информационное сообщение.—Ташкент № 145, 1975, с. 8. 6. Касумов М. А., Керимов Ю. Б., Бабаев Р. А., Исаев Н. Я. Способ получения красного пищевого красителя. А. с. 1704971, бюлл. изобр., № 47, 1979. 7. Касумов М. А. Некоторые биологические особенности штокрозы розовой (Alcea rosea forma nigra) и ее народнохозяйственное значение. ДАН АзССР—Баку, 1981, с. 64–68. 8. Барнаулов О. Д., Маничева О. А., Турхало Н. А., Фокина Е. Н., Салихов С. А. Alcea rosea L.—источник полисахаридов с противоязвенной активностью.—Л.: Раст. ресурсы, 1985, т. 21, вып. 3, с. 329–340.

СКТБ КПМС с ОП ИИФХ АН АзССР
Институт ботаники АН АзССР

Поступило 30. IX. 1988

М. Э. Гасымов, Т. А. Гасымова, В. И. Мамедов

ГЫРМЫЗЫ ІЕІНТИ БОЛАСЫ

Мәгәләдә илк дәфә құлхәтми биткисинин елмә мә’лүм олмаған жени формаларындағы да онларын ләчәкләрнән алынан бојаг маддәләрнән бәнс едилир.

М. А. Kasumov, T. A. Kasumova, V. I. Mamedov

THE RED EATABLE COLOURANT

For the first time the article deals with the dates of the forms of stockroses unknown before and red dying matters coming out of stock rose petals.

обеспечивается за счет недоокисленного моноформазана и не может рассматриваться как активность МАО. Наибольшее количество диформазана и очень высокая активность фермента (5+) регистрируется в крупных нейроцитах, скапливающихся в отдельные группы в различных участках узла. Характерно, что включения диформазана в этих клетках (рис. 1) гомогенны и большей частью сосредоточены в перинуклеарной зоне.

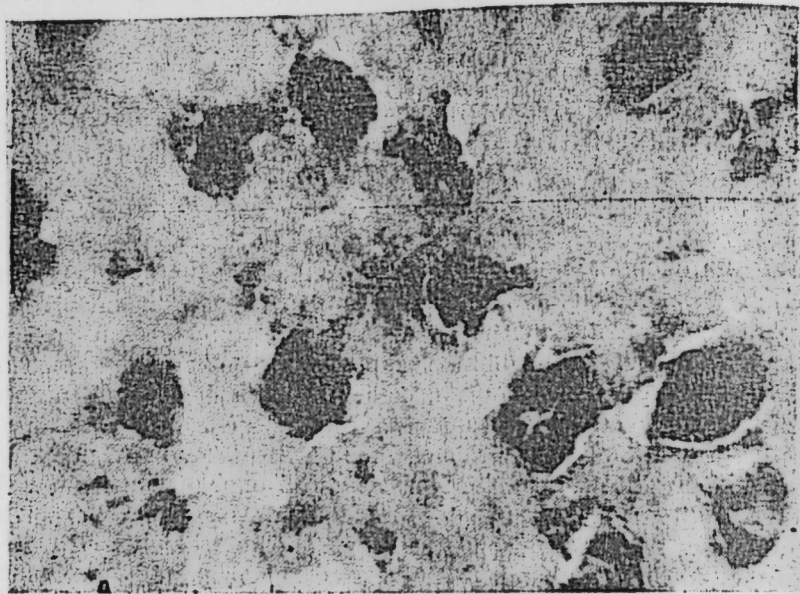


Рис. 1. Взрослый человек, 52 года, 1-й поясничный (левый) симпатический ганглий. В поле зрения группа нейроцитов I типа с гомогенно-диффузными включениями диформазана и очень высокой (5+) активностью МАО. Окр.: нитротетразолиевая реакция по Гленнеру с соавт. Ув.: об. 16; ок. 10

клерной зоне. Содержание продукта реакции и активность МАО заметно ниже в отростках нейроцитов. Вышеописанные клетки в количественном отношении составляют 70—75% от всего клеточного состава паравертебральных ганглиев и могут рассматриваться как основной тип нейроцитов («главные» клетки узлов). Кроме «главных» нейроцитов в поясничных симпатических ганглиях взрослого человека регистрируются отдельные мелкие клетки или же их скопления, в цитоплазме которых активность МАО гистохимически не выявляется: по характеру внутриганглионарного распределения, форме и количественному соотношению с другими клеточными элементами они соответствуют холинэргическим моторным нейроцитам узлов. «Главные» и «моторные» нейроциты находятся приблизительно в соотношении 1:12 и распределены преимущественно в виде отдельных клеточных популяций. Наличие отдельных холинэргических нейроцитов с минимальной активностью МАО (1+) свидетельствует, что эти клетки не утратили окончательно способность синтезировать или пиноцитировать из своего микроокружения биогенные амины типа триптамина, адреналина и серотонина.

И, наконец, третий гистохимический тип клеток в поясничных паравертебральных узлах человека весьма характерен — в их цитоплазме выпадают крупные округлые гранулы диформазана на фоне гомогенного моноформазана и регистрируется высокая активность (4+) трип-

тамизависимой МАО (рис. 2). Клетки крупнее рассмотренных нейроцитов, округлой формы, лишены отростков, расположены в одиночку среди адренергических и холинэргических нейроцитов и только изредка могут формировать группы. Ядро занимает центральную часть клетки, почти лишене хроматина, диформазан распределен равномерно с неко-



Рис. 2. Взрослый человек, 52 года, 1-й поясничный (левый) симпатический ганглий. Отдельные АПУД-клетки с высокой МАО-активностью (4+) содержат в своей цитоплазме многочисленные гранулы с преобладающим перинуклеарным распределением. Окр.: нитротетразолиевая реакция по Гленнеру с соавт. Ув.: об. 40; ок. 125

торым преобладанием в перинуклеарной зоне. По своей форме, размерам, внутриганглионарному распределению и характеру тетразолиевой реакции рассматриваемые клетки могут быть отнесены к хромаффинным APUD-клеткам, обладая при этом отчетливыми признаками эндокринной секреции. Поскольку основными компонентами клеток являются триптамин, адреналин, а возможно, и серотонин, то имея соответствующие гистохимические основания мы можем их причислить к APUD-системе и расценивать как апудоциты поясничных паравертебральных ганглиев человека. В количественном отношении апудоцитов в составе узлов значительно меньше, чем нейроцитов, с которыми они находятся в приблизительном соотношении 1:25.

Диформазан, маркирующий активность МАО в составе первых волокон, гистохимически связан, как мы полагаем, с аксоноплазмой адренергических нейроцитов паравертебральных ганглиев. окончательно этот вопрос может быть решен посредством электронногистохимических методов. Гистохимический анализ клеточного состава поясничных симпатических узлов человека подтвердил, что они представляют собой

многоканальную систему проводниковых элементов, составленную из нейроцитов и нервных волокон различного функционального назначения. Наряду с типичными нейроцитами, составляющими основой клеточный тип узлов, в их составе выявлено определенное количество APUD-клеток или апудоцитов со всеми гистохимическими признаками нейросекреции. На основе активности и распределения триптамина-зависимой MAO следует отметить два типа нейроцитов: нейроциты I типа ($5+MAO$), синтезирующие адреналин, триптамин и серотонин (85—90% от общего числа клеток); нейроциты II типа ($I+MAO$ —негативные), синтезирующие ацетилхолин (10—15%).

Наличие в апудоцитах изученных ганглиев большого количества гранулированного диформазана и отсутствие непосредственного контакта этих клеток с гемокапиллярами свидетельствует о паракринной функции этих элементов. В свою очередь присутствие в микроокружении нейроцитов вышеуказанных биогенных аминов создает необходимые предпосылки для включения последних в цитоплазму и аксоноплазму. Следовательно, есть основания полагать, что триптамины, адреналин и серотонин могут утилизироваться нейроцитами с последующей доставкой в синапсы в качестве медиатора. Использованный нами гистохимический метод выявления триптамин-зависимой МАО позволяет провести успешную гистологическую идентификацию клеточных элементов поясничных паравертебральных ганглиев человека.

Литература

1. Ленинджер А. Биохимия. Молекулярные основы структуры и функции клетки —М.: Мир, 1974. 2. Лойда Э., Госсрау Р., Шаблер I. Гистохимия ферментов.—М., Мир, 1982. 3. Оленев С. Н. Конструкция мозга.—Л., Медицина, 1987. 4. Glenner G. Enzyme histochemistry.—New York: Elsevier Publishing Co., 1965. 5. Pearse V. G. Histochemistry, theoretical and applied.—London: Churchill, 1972, vol. II. 6. Ra'ch F. W. Praktisch-diagnostische Enzymhistochemie.—VEB, Jena: Gustav Fischer verlag, 1981. 7. Thompson S. V. Selected histochemical and histopathological techniques.—Springfield: Thomas, 1974.

Азербайджанский медицинский институт им. Н. Нариманова

Поступило 4. XI 1988

J. E. Araújo

**ИНСАНЫН БЕЛ СИМПАТИК ДУУЈҮНЛӘРІНДӘ МОНОАМИНОГҮСИДАЗА
АКТИВ ХРОМОФИН ВӘ ТРИПТАМИН ПОЗИТИВ НЕЙРОСИТЛӘР**

Иисан-мејитләриндән (12) көтүрүлмүш симпатик бел дүйнеләринин еизимо һистокимјәви үсулла тәдгиги мүэйянләшdirди ки, бу дүйнәрдә олан һүчеjрәләри триптиминдән асылы моноаминоқисидаза активлигине көрә үч група белмәк олар. Бүнларын ики группана ади неjроситләр кими баxмаг олар. МАО негатив һүчеjрәләр исә холи-нергик неjроситләрdir. Тәркебинде адреналин, трооптамин, серотонин сахлаjan һү-чеjрәләрин активлиji бөյүкдүр. Учынчү груп һүчеjрәләр өзләrinин һистокимјәви па-раметрләrinе көрә хромофорин ва жа «АПУД» һүчеjрәләр кими гәбул едиллрләр. Бел симпатик дүйнеләrinин һүчеjre структурларының дәгүк идентификаcиясиасы һистокимјә-ви, иммуноhистокимјәви методларын тәтbiги илә jерине jетирилә биләр.

Ya. A. Agaev

THE MONOAMINOOXIDASE ACTIVITY OF CHROMAFFIN CELLS AND TRIPTAMIN-POSITIVE NEUROCYTES IN HUMAN LUMBAR GANGLIONS

On the basis of histochemical results obtained, there are 3 types of triptamin-dependent chromaffin cells indicated in human lumbar ganglions. The first two types of those cell characterize high level of adrenalin, triptamin and serotonin. The third type of chromaffin cells contains high monoamino oxides activity and biogenic proteins.

УДК 808.03

ЭДЭБИ ТЭРЧУМА

М. З. НАҒЫЛЕІ

XIX ӘСР АЗӘРБАЙЧАН ТӘРЧҮМӘ ӘСӘРИ «ТУТИНАМӘ»

· (Азәрбајҹан ССР ЕА академики М. Ч. Җәфәров тәгдим этишилди)

Нәсиһәтли һекајәләр топлусу олан «Тутинамә» Шәрг әдәбијагында кеңишиң язылмыш мөвзулардан биридир. Эсли гәдим санскрит дилиндән көтүрүлмүш бу мөвзуда XIV јүзиллијин әввәлләриндән башлајараг фарс дилиндә бир нечә әсәр язылмышдыр ки, онларны ичәреписинде эй мәшһүру Нәхшәбиини (—1350) «Тутинамә»си сајылыр [1; 3; 4, 3729—3732]. «Тутинамә»ни түркчә [1; 3; 4, 3279; 8, 1118] вә өзбәкчә дә [6, 240—242] мұхтәлиф тәрчүмә вә вариантылары вардыр. Азәрбајҹан әдәбијатында исә бу мөвзу илк дәфә XVIII әсрин сонларында Мөһесүн Нәсири тәрәфиндән ишләнмиш вә онун ана дилиндә гәләмә алдыры «Лисан эт-тејр» («Гушларын дили») адлы әсәри нағгында сон вахтлар илкин мәлumat верилмишdir [2; 5, 256 — 269]. Азәрбајҹан ССР ЕА Әлжазмалар Институтунда сахланылан «Тутинамә»ләрини диггәтлә өјрәнилмәсі көстәрди ки, Азәрбајҹан дилиндә бу мөвзуда даһа бир әсәр язылмышдыр.

«Тутинамә» адландырылмыш бу әсәрин институтта үч әлјазмасы вардыр. Әлјазмаларын үчү дә јарымчыг олдуғундан, көрүнүр, Нәсиришин «Лисан әт-тејр» әсәриндән бир парча һесаб едилмиш вә буна көрә дә индијәдәк онлара әһәмијјэт верилмәмишdir. Нұсхәләрдән бириндә (Б-3465) әсәрин кириш һиссәси вә сонундан үч hekajet душмұшшдүр. Көчүрүлмә тарихи көстәрилмәмиш бу әлјазманың қағызына вә жазы хүсусијјэтләринә көрә XIX жүзиллијин 60 — 70-чи илләринә аид етмәк олар. Иккінчи әлјазма (Б-5239) мұхтәлиф әсәрләр топлусудур вә 1286/1869-чу илдә көчүрүлмұшшдүр. Бу нұсхәдеки «Тутинамә» нии әввәлиндән чамы жарым сәнифәлик мәтін вә сонундан беш hekajet чатышмыр.

Үчүнчү нүсхә дә (Б-4359) айры-айры эсәрләр топлусудур вә онда да эсәрин кириш һиссәси вә II — VI некајәләри јохдур. Эввәлки нүсхәләри бир нөв тамамлајан вә эсәрин бүтөв мәтиини бәрпа етмәјэ имкан верәни бу әлјазманың башлыча әһәмијәти исә сонундакы ше'р парчаларындадыр. Әлјазманың автограф олмасыны субут едән бу ше'р парчаларында эсәрин мүәллифи вә јазылма тарихи барәдә дәјәрли мәлumat вардыр.

Бэлли олдуғу кими, әлжазмаларда эн'энәви гајдаја эсасән мәтін битдикдән соңра катибләр өз адларыны, әсәрии көчүрүлмә тарихини вә бә'зән дә жазылдығы јери гејд едирләр. «Тутинамә» дә исә мәтін битдикдән соңра ейни хэтлә беш бәндлик бир кәрајлы жазылмыш, бурада китабын «если Ширвандан олан» Эли Гәһрәман оғлу тәрәфиидән тамамланмасы көстәрилмишdir. Зәманәдән шикајет кими сәсленән сон иккі бәнддә Эли устады Гурушлунун адны чәкир вә тәхәллүсүүн Назим олдуғуну билдирир:

Бу јерләрдә экән бичмәз,
Јаманы јахшидан сечмәз,
Көңүл пәрваз едәр учмаз,
Нәдири билмән буна илләт?!

Гурушлудур ки, устадым,
Олур ондан бу ичадым,
Мұдам Назим олур хадим,
Әкәр версә худа синнәт.

Дана соңра исә јенә дә ејни хәтлә јазылыш гејдә көстәрилир ки, әсәр 1266-чы илин јазында (1850-чи илин март — апрел ајлары) Гутгашенде полковник Исмајыл бәйин мәдрәсәсендә јазылышдыр. «Полковник Исмајыл бәј» шуббәсиз ки, көркәмли Азәрбајҹан јазычысы Исмајыл бәј Гутгашынылы (1806 — 1861). Һәмми вахт И. Гутгашынылы көнерал-мајор рүтбәсендә олса да [7], көрүнүр, Гутгашенде һәлә «полковник» кими танынырыш. Бәлли олдуғу кими, И. Гутгашынылы Шамахыдакы мүсәлман мәктәбләриндән биринин јарадылмасында јахшидан иштирак етмишdir [7, 29]. «Тутинамә»дәки бу гејд исә белә бир дәјәрли факты сүбүт едир ки, јазычынын доғма ѡурду Гутгашендәки мәдрәсә дә билавасында онун көмәји илә ачылышында јазычынын ады илә танынырышдыр. Элјазмадакы гејдләр вә мәтні ејни хәтлә јазылдығына көрә онун автограф олмасына шуббә галмыр. «Тутинамә» әслиндә елә бурада битсә дә, соңракы икі сәһиғәнни дә һәмми хәтлә јазылмасы дигәттимизи чәлб етди. Бу сәһиғәләрдә Назим һәр бири 17 бејтлик икі мәснәвисини вә беш бәндлик бир кәрајлысыны јазылышдыр. Мәснәвиләр китабын битмәснә вә јазылма сәбәбинә һәср олунмушдур. Бириңи мәснәвидәки бәзи мисраларда мүәллиф јенә дә «дөвранын мурадынча олмадығыны» көстәрир вә буна көрә дә «хатиринин пәришанлығында» килемләнир. Икинчи мәснәвидә Назим јазыр ки, Гурушлу хидмәтинде охуяркән мејдана чыхан «Тутинамә» китабы «иззәтмәгам» Һачы бәйин чох хошуна кәлди, онун көстәриши илә әсәри «Шәрһ» етдим. Бурада адь чәкилән Һачы бәј И. Гутгашынынын әслиндәндир,* Гутгашенин танынырыш шәхсләриндән бири олмушдур.

Икинчи мәснәвисинде дә Назим дөврүндән разы олмадығына, зәмәнәсендә ше'рә рәғбәт көстәрилмәдијине ишарә вурур вә бу сәбәбдән «көнлүнүн сыйығ» олдуғуну көстәрир. Мүәллифин икинчи кәрајлысы исә «Тутинамә» нин јаранмасынын сәбәкәре Һачы бәйин тә'рифине һәср олунмушдур. «Шәрһ» сөзүнүн гәдим элјазмаларда вә хүсусилә дә орта әср тәрчүмә әдәбијатында һәм дә «тәрчүмә» мә'насында ишләниң көрә биз Назимин һаггында сөз ачдығы китабы фарсча «Тутинамә»ләр арасында ахтардыг. Айдын олду ки, Назимин охудуғу иләрдә фарс дилиндә «зәнир олан» «Тутинамә» Ибадулла Фәгир адлы бир мүәллифин дашбасма шәклиндә дәфәләрлә чап олунмуш «Чеңел тути» («Гырх тути») китабыдыр. Мараглыдыр ки, Ибадулланың бу әсәринин элјазмасы һеч бир каталогда гејд олунмаса да, онун дашбасма чаплары кениш јајылышыдыр. Тәкчә Элјазмалар Институтунда «Чеңел тути»нин миниатүрлү 9 мұхтәлиф дашбасма чапы вардыр ки, бүнләрдан ән гәдими 1263/1847-чи ил тарихли Тәбриз чапыдыр. Дүнија чап китаблары каталогларында да китабын 1264/1848-чи ил тарихли икى мұхтәлиф Тәбриз чапы вә соңракы чаплары көстәрилмишdir. Бурадан белә бир иетиңәјә кәлмәк олур ки, «Чеңел тути» XIX әсәрин 40-чы иллә-

риндә Азәрбајҹанда јазылыш вә даһа чох бу мүһитдә дашбасма шәклиндә јајылышыдыр.

Һәр икى әсәрин тутушдурмасы көстәри ки, Назим «Чеңел тути»нин дәғиг вә һәм дә садә данышыг дилиндә тәрчүмә етмиш, јери кәлдикчә Азәрбајҹан аталар сөзләриндә, халг дејимләриндән бачарыгla истифадә етмишdir. Көстәрмәк кәрәкдир ки, «Чеңел тути» бу мәвзуда әввәлләр јазылыш «Тутинамә»ләри јалиныз сүжет бахымындаң хатырладыр. Мәзмунуна кәлдикдә исә о, тамам башга бир әсәр кими әввәл-киләрдән дилинин садәлиji илә дә сечилир. Бу да тәбииндиr, чүники Фәгириң әсәри әслиндә јазыја алымыш шифаһи халг нүмүнәләри — нағыллар топлусудур. «Чеңел тути»нин даһа чох Азәрбајҹан мүһитиндә јајылмасы вә орадакы «Некајәт» адландырылыш нағылларын Азәрбајҹан нағыллары илә сәсләшмәси вә һәтта бә'зиләrinин үст-үстә дүшмәси истәр-истәмәз Фәгириң фарсча јазан азәрбајҹанлылардан олмасы фикрини дөфурур. Фарсча әсәрдә ишләниш «гуллуг», «кешик», «кешик-чибашы» кими Азәрбајҹан сөзләри дә бу фикрә һагг газандырыр. Фәгириң әсәри «Тутинамә»ләрдән һәм дә һәчмә сечилир, онларда 52, 50, 30 некајәт олдуғу һалда [1; 3; 4, 3729—3732] «Чеңел тути» дә чәми 13 некајәт вардыр. «Чеңел тути» вә онун азәрбајҹанчасы һәчмә кичикдир, 55—60 сәнифәдир.

«Чеңел тути» дә иәср ичәрисинде ара-сыра верилмиш ше'р парчаларыны Назим ше'рлә тәрчүмә етмишdir. Назим һаггында әлдә башга мә'лумат олмаса да, әсәрини сонундакы ше'рләри, хүсусилә дә ордакы зәмәнәдән шикајэт мотивләри көстәрир ки, бу вахт о, өмрүнүн јеткин чаванлыг дөврүнү јашајырмыш. Әсәрдәки ше'р парчалары вә өз ше'рләри исә Назимин классик ше'рә вә ашыг ше'ринә кифајэт гәдәр бәләдлини сүбүт едир.

Элјазмалар Институтунда «Чеңел тути»нин азәрбајҹанча башга бир тәрчүмәснини 1910 вә 1913-чу ил тарихли икى дашбасма чапы да сахланылыр (шифр X-677/3370, XV-138/6019). Мүтәрчими көстәрилмәјән бу чапларын мәтні ејниидир вә һәр икиси «Чеңел тути қүллијаты» адландырылышыдыр. Назимин тәрчүмәсниндән фәргли олараг бу чапларда фарсча ше'рләр әслиндә олдуғу кими сахланышыдыр. Назимин «Тутинамә»си илә мүгајисәдә «Чеңел тути қүллијаты» дил вә тәрчүмә хүсусијәтләри бахымындан ашагы сәвијјәдәdir.

Әдәбијат

- Акимушкин О. Ф. «Тутинамә» и предшественник Нахшаби (К вопросу об индо-иранских культурных связях). Письменные памятники Востока. Историко-филологические исследования. — М.: Наука, 1984, с. 4—21.
- Байрамов С. С. Памятник азербайджанской классической прозы XVIII в. «Лисан ат-тәйр». В сокровищнице рукописей, т. VI. — Баку: Элм, 1983, с. 91—97.
- Бертельс Д. Е. Предисловие к книге Зийа ад-Дин Нахшаби. Книга Попугая (Тути-наме). — М.: Наука, 1979, с. 3—14.
- Монзави А. Фехрест-е иосхеха-йе хатти-йе фарси. т. V. — Тегеран, 1349.
- Сафарли А. Азербайджанская эпическая литература XVII—XVIII вв. — Баку: Язычы, 1986.
- Собрание восточных рукописей АН Узбекской ССР, т. VII. — Ташкент: Наука, 1964.
- Таирзаде Н. А. Новые материалы о писателе и общественном деятеле Исмаил-Беке Куткашенском (1806—1861 гг.). — Изв. АН АзССР, серия история, философия, и право, 1968, № 3, с. 23—24.
- Чалаби К. Кафф аз-зуин, т. II. В Истамбул, 1972.

Азәрбајҹан ССР ЕА Элјазмалар
Институту

Алынышыдыр. 16. XI 1987.

* Бу ма'лumatы биэ вермиш Э. Таирзадеја өз миниэтдарлығымызы билдирик.

АЗЕРБАЙДЖАНСКОЕ ПЕРЕВОДНОЕ СОЧИНЕНИЕ XIX ВЕКА «ТУТИНАМЕ»

Еще в XVIII в. на азербайджанском языке было написано сочинение Мухсина Насри «Лисан ат-тейр» («Язык птиц») на известную тему «Тутинаме» («Книга о попугае»). Недавно в Институте рукописей АН АзССР обнаружено еще одно азербайджанское «Тутинаме», переведенное с персидского языка. На основе трех рукописей сочинения установлено, что перевод был сделан в 1850 г. Назимом с «Чехел тути» («Сорок попугаев») И. Фагира. Ценность перевода заключается еще в том, что он выполнен в медресе видного азербайджанского писателя Исмаил-Бека Куткашевского.

M. Z. Naghiev

THE AZERBAIJANIAN WORK OF TRANSLATION
OF THE XIX-th CENTURY „TUTINAMEH“

In the Azerbaijani language already in the XVIII th century «Lisan al-teir» (the Language of the Birds) was written—a work by Mohsoun Nasiri on the subject widely known in the Orient, that is the «Tutinameh». Another Azerbaijani version of «Tutinameh», translated from the Persian language, was recently discovered in the Institute of Manuscripts of the Academy of Sciences of Azerbaijanian SSR. On the basis of three manuscripts it was determined that the translation was made in 1850 by Nazim from «Chehel tuti» («The forty parrots») by I. Faghira. The translation's value also consists in the fact, that it was carried out in the medreseh of an eminent Azerbaijani writer Ismail-Bek Qoutquashenli.

Р. Г. АЛИЕВА

ВАРИАЦИОННЫЕ ПРИНЦИПЫ РАЗВИТИЯ В ЖАНРАХ
АЗЕРБАЙДЖАНСКОЙ НАРОДНОЙ МУЗЫКИ

(Представлено академиком АН Азербайджанской ССР М. А. Усейновым)

Вариационность в народной музыке представляет собой наглядное проявление одного из основных принципов формообразования—поступательного развития. Суть его в том, что происходит «процесс постоянного обновления, предстающего как движение от исходной точки в определенном направлении к какой-либо новой цели».¹ Этот принцип является выражением динамической сущности музыкальной формы. Истоки варьирования в азербайджанской народной музыке коренятся в самой практике народного музенирования, в специфических особенностях народно-песенного мелоса. Важную роль при этом играют разнообразные приемы мелодического опевания, а также построение формы целого из единого интонационного зерна, подвергающегося в дальнейшем различным изменениям.

Особенности варьирования в жанрах азербайджанского музыкального фольклора определяются характерными чертами двух типов этого метода развития—варьирования вокального и инструментального. Общеизвестно, что в вокальной музыке специфика формы в первую очередь зависит от поэтического содержания, обусловлена строением поэтического текста.

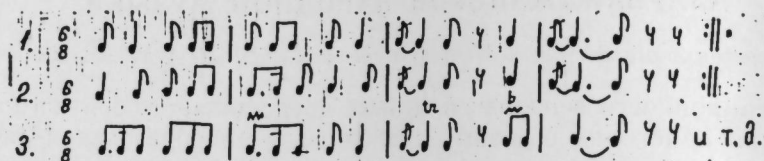
Вокальное варьирование, как правило, затрагивает отдельные, небольшие временные отрезки, ибо ограниченной является и сама куплетная форма народно-песенных образцов.

Так, говоря о варьировании куплетной формы в русской народной песне, проф. Л.А. Мазель отмечал, что здесь варьируется не обязательно каждый куплет, кроме того варьированию подвергается не весь куплет на всем его протяжении, и главное, даже там, где различные изменения вносятся на протяжении всего куплета, самый характер этих изменений отличается большой непринужденностью. «Иначе говоря, в русской народной песне варьирование касается, в основном, деталей напева».²

То же можно сказать и об образцах азербайджанского песенного творчества, т. е. в народной вокальной музыке варьированию подвергается, как правило, не весь напев, а отдельные его участки. Кроме того, само варьирование имеет характер сквозной, более сложенный, лишенный контрастов. Оно касается частных деталей и, как следствие, не приводит к образной трансформации. Образное единство на протяжении всей исполняемой песни—это характернейшие свойство народного музыкального творчества вообще. Отсюда специфику вокального варьирования можно определить как «повторность» с элементами сво-

бодного развертывания» или же сочетание куплетной повторности с непрерывным развертыванием (В. Цуккерман).

Приведем в качестве примера песню «Гачаг Наби» из сборника Азербайджанские народные песни в записи С. Рустамова. Она имеет четкое куплетно-вариационное строение, состоит из семи куплетов, т. е. протяженная по форме. Периодичность куплетных повторов преодолевается именно благодаря варьированию, причем варьированию на первый взгляд самыми незначительными, простыми приемами и средствами: ритмическим изменениям, т. е. большей дробности или укрупнению длительностей, изменению группировки одних и тех же мелодических фраз, например:



Пример № 1

Большое выразительное и формообразующее значение имеют многочисленные мелизмы, захватывающие и ладово характерные звуки. Так, в пятом и седьмом куплетах мелизматическое опевание (форшлаги и мордент) и частые повторы приводят к значительному расширению размеров куплета с десяти тактов до восемнадцати тактов. Таким образом, даже небольшие изменения при повторении куплетов со-действуют динамичности музыкального развития в целом.

Выражением процессуальности вариационного метода является органично свойственный народному формообразованию принцип цепляемости. Яркий образец воплощения принципа цепляемости — песня «Нэ дурмусан даф башында». Интересно строение этой песни. Четкой цезурой отделяется от всего последующего лишь первый трехтакт — первое предложение, имеющее вступительную функцию, обладающее яркой экспозиционностью (показ основного тона лада Раст, диапазон мелодии — M_3). Следующий затем трехтакт развивающего типа способствует раскрытию лада (здесь меняется ладовый устой). Как бы зацепившись за конец второго трехтакта, мелодическая линия строится на повторении точном и варьированном, а также на секвенцировании кратких мелодических формул. Это приводит к непрерывности, текучести развития. В основе строения этой песни структура дробления с замыканием:

3т—3т—1т—1т—1т—1т—1т—1т—2т—2т—4т—4т
секвенция

При внешней однородности мелодического материала варьирование происходит на самых различных уровнях — мелодическом, ритмическом, структурном. Все это способствует особой цельности развития в пределах ограниченного временного отрезка.

В отличие от вокального инструментального варьирования предполагает больший размах развития, предусматривает более свободное обращение с музыкальным материалом, вплоть до образной трансформации.

Инструментальное варьирование опирается на богатые традиции народного исполнительства, на высокий уровень мастерства игры на различных инструментах. Яркое выражение приемы инструментального варьирования получают в азербайджанской народной танцевальной музыке, в частности, в таком ее жанре как Яллы. Обратимся за подтверждением вышесказанного к сборнику «Азербайджан халг рэгс мелодиялары» (Баку, Азернешр, 1965) в записи Б. Гусейили.

В строении многих образцов Яллы прослеживается следующая закономерность. Как правило, многие из этих танцев имеют двухчастное строение, где вторая часть представляет собой вариацию первой. Например, рассмотрим танец, Чынг-чынг, № 8. В первой части, оформленной в период, воплощается характерный для этого танца ритмиче-

ский рисунок 2/4 и т. д.

Четный размер, умеренный темп, ритмическая фигурация, отражающая поступь танцующих, сменяются во второй части быстрым движением (ALlegro) размером 6/8, иной ритмической организацией музыкального материала. В результате меняется сам характер танцевальной мелодии. Во многих случаях в строении Яллы во второй части происходит и более существенные изменения в мелодической линии. Кроме того резко меняется сам характер, образное содержание исполнения танца. Так, сравнивая две части уже рассмотренного образца можно провести следующие параллели: в первой части групповой, коллективный танец, мужественный, энергичный по характеру, воплощающий более суровый образ, мужское начало; во второй же части — сильный, изящный, грациозный танец, олицетворяющий лирическую сущность, женский образ.

Все вышесказанное справедливо и к таким танцам как Тэнзэрэ (№ 13, Ордубадский вариант), № 14 (Норашенский вариант), № 11 — Учајаг јаллы, № 12 — Галадан галаја. Особенно выразительно воплощено это контрастное противопоставление одного и того же мелодического материала в танце на тему известной азербайджанской песни Галадан галаја.

Уже первая часть представляет собой вариацию на тему народной песни, которой приданы характерные черты танца яллы: в ритмическом оформлении 2/4 четкий ритмический упор в конце каждого предложения, связанный со спецификой исполнения этого коллективного танца. Во второй части благодаря смене размера (6/8), новому ритмическому рисунку мелодической линии основная тема получает не только иное образное, но и жанровое решение (сильный лирический женский танец)³.

Таким образом, сама практика народного музироования, наличие различных исполнительских версий, локальных вариантов предопределяет распространение и широкое применение вариационных принципов в жанрах народного музыкального искусства.

Как уже отмечалось, даже малая степень изменений в вокальной музыке, не говоря уже о более существенной трансформации в инструментальных жанрах, способствует большей выразительности изложения музыкального материала, проявлению его национально-специфического характера. Малыми, ограниченными средствами достигается непрерывность, динамичность развития.

Примечания

¹ Соколов О. О двух основных принципах формообразования в музыке. — В кн.: О музыке. Проблемы анализа. — М., 1974, с. 51.



Пример № 2

² Мазель Л. Строение музыкальных произведений. — М., 1960, с. 252.
³ Нотные примеры.

Институт архитектуры и искусства АН АзССР

Поступило 26. V. 1987

Р. И. Элиева

АЗЭРБАЙЧАН ХАЛГ МУСИГИСИ ЖАНРЛАРЫНДА
ВАРИАСИЯ ПРИНСИПЛЕРИ

Бу мэглэдэ Азэрбајчан халг мусигисинин ики нэв (вокал вэ инструментал) вариасија хүсүсийтлэриндэн бэхс олунур.

Халг мусигиси ифачылыгы тэчрүбэснин өзү, ифачылыгын мухтэлиф локал варианты халг мусигисинин жанрларында вариасија принциплэриндэн кениш истилэйнин даха ифадэли сэслэнмэснин, онуу милли-специфик характеристикин парлаг верилгэснин тэ'минн едир.

R. H. Aliyeva

VARIATIONAL PRINCIPLES OF DEVELOPMENT IN GENRES
OF AZERBAIJAN FOLK MUSIC

The peculiarities of the 2 types of variation in folk music—vocal and instrumental—are discovered in the article. The practice of folk music, different performing versions genres of Azerbaijan folk music. Variations facilitate development of musical material, manifestation of its national specific features.

АЗЭРБАЙЧАН ССР ЕЛМЛЭР АКАДЕМИЈАСЫНЫН МЭРҮЗЭЛЭРИ

ДОКЛАДЫ АКАДЕМИИ НАУК АЗЕРБАЙДЖАНСКОГО ССР

ТОМ XLV ЧИЛД

№ 3

1989

УДК 902. 6 (479.24)

АРХЕОЛОГИЯ

Э. Н. БЭДЭЛОВ

ПУСЈАН АНТИК ДӨВР КИЛ ГАБЛАРЫ

(Азэрбајчан ССР ЕА академики Э. С. Сумбатзада тэгдим етшишдир)

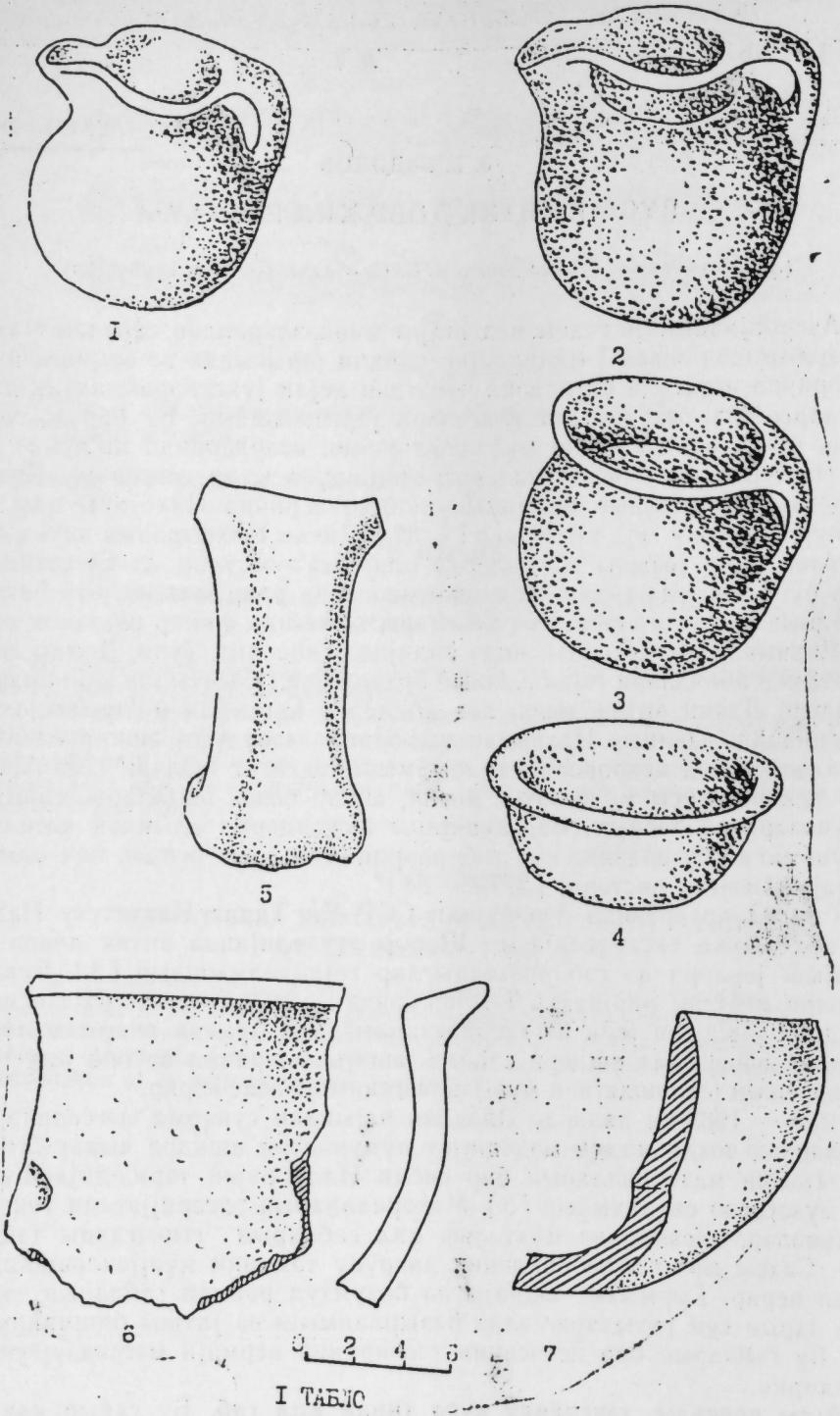
Азэрбајчанын эн гэдим мэдэнијжэт мэркээлэриндэн сајылан Нахчыван ерамыздан эввэл I миниатлийн икиичи јарысында вэ ерамызын илк эсрлэриндэ игтисади вэ мэдэни чөхтэдэн хејли јүксэлэрэк, антик дүниа халглары илэ сых тичарэт элагэлэри јаратмышдыр. Бу барэдэ гэдим јунан, рома, эрэб, ермэни мүэллифлэринин эсэрлэриндэ мэ'лумат вардыр. II эсрэдэ јашамыш јунан чөграфијашунасы вэ астроному Клавди Птоломеј Нахчыванын ерамызын икиичи эсриндэ Нахсуаны ады илэ мэшшүр олдугуун гејд етшишдир [1, 89]. Лакин Нахчыванын антик дөвр тарихинэ даир јазылы мэнбэлэрдэ олан мэ'луматлар аз вэ сэтнидир. Мэхз буна көрө дэ гэдим Нахчыванын антик дөвр мэдэнијжэти наагында јалныз мадди мэдэнијжэт галыглары эсасында фикир сөjlэмэк олар.

Нахчыван МССР эразисиндэ индијэдэк енеолит, Тунч, Дэмир дөврү вэ орта эср абицэлэри гејдэ алныыб археологи газынты ишлэри апарылмышдыр. Лакин антик дөврэ аид абицэлэр наагында мэ'лумат јох дээрэчэсниндэдир. Јалныз Нахчыван шэхэриндэ тэсадуфи ашкар едилмийш антик дөврэ аид некрополда апарылмыш тэдгигат ишлэри нэтичэсниндэ элдэ едилэн сахсы мэ'луматы, метал, шүшэ бэзэк эшжалары, глипттика нумунэлэри вэ нэхажэт, македонијалы Искандэрин адындан кэсилмийш күмүш сиккэ бу эразидэ күп гэбирилэринин е. э. IV эсрдэн кеч олмајраг јаялдыбыны көстэрир [2, 73—84].

Сон иллэр өрзиндэ Азэрбајчан ССР ЕА Тарих Институту Нахчыван археологи экспедисијасы Шэрур дүзээлийнде антик дөврэ аид јашајыш јерлэри вэ гэбиристанлыглар гејдэ алмышдыр [3]. Буналардан бири дэ Илич рајонунун Пусјан көнди јахынлығында јерлэшэн антик дөвр јашајыш јери вэ гэбиристанлыгдыр. Бурада апарылмыш археологи кэшфијјат ишлэри саһэдэ јашајыш јериний вэ она аид гэбиристанлыгын јерлэшдијини мүэjjэнлэшдирмэжээсас верир.

1981—1982-чи иллэрдэ Элэддин чајындан суварма мэгсэдилэ архчэкилэркэн чохлу мадди мэдэнијжэт нумунэлэри ашкара чыхарылмышдыр. Һэмийн материалларын бир гисми Илич рајон тарих-дијаршунааслыг музейнде сахланылыр [3]. Материалларын экспозицэйнин тэргүллү күпэлэр, касалар вэ мухтэлиф кил габларын гырыглары тэшкил едир. Сахсы мэ'мулаты абицэнин дөврүнү тэхмийн мүэjjэнлэшдирмэжэ имкан верир. Гырмызы, чөхрајы вэ бозумтул рэнкли габларын тэркибинэ нарын гум гатылараг элдэ һазырланмыш вэ јахши бишнуримнишдир. Бу габларын бир нечэснин тэсвирийн вермэжи мэгсэдэүүгүн һесаб едирик.

Ағзы новчалы, тэргүллү күпэ типли кил габ. Бу габын көвдэсийшар формалы олуб, отурачаға догру тэдричэн јығылыр. Ағзы һиссэсийн бир тэрэфдэн новчалыдыр. Дикэр тэрэфдэн ағзынын кэнары илэ көвдэни бирлэшдирэн илкэквары гулпу вардыр (I табло, 1).



I ТАБЛ

Күпэ типли лүләкли габ. Үзәриндә басма бәзәкләри вардыр. Көвдәси јухары һиссәдә габарыг олуб, отурачаға дөгру кетдиңчә дараалыр. Отурачағы ястыдыр. Ағыз кәнары азча харичә әйләнешdir. Лентвары гулпу ағзынын кәнары илә чијинни бирләшdirir. Көвдәден ағыз кәнары илә бәрабәр сәвијјәдә дуран лүләji вардыр. Үзәри вә ичәриси әл илә сығалланмыш, ачыг чәһрајы рәнкли аигобла өртүлмүшdур (I табло, 2).

Күпэ типли тәкгулл кил габ. Ачыг боз рәнкәдәр. Көвдәси габарыг, ағзы кениш, отурачағы ястыдыр. Ағыз кәнары азча кәнара гатлаимышдыр. Чијин илә ағыз кәнарыны бирләшdirән лентвары гулпу вардыр. Үзәри ачыг сары рәнкли аигобла өртүлмүшdур (I табло, 3).

Чам формалы кил габ. Боз рәнкә олуб, назик диварлы һазырланмышдыр. Бу чүр габларын ағзы отурачаг һиссәjө нисбәтән чох кенишdir. Ағзынын кәнары габарыг олуб, дәјирми касаны хатырладыр (I табло, 4).

Бурада бүтөв кил габ иүмүнәләри илә бирликдә боз вә гырмызымтыл габ гырыглары да әлдә едилмишdir. Бу сахсы мә'мулатлар күпә, чөлмәк, допу типли тәкгулл габлара мәхсусудур.

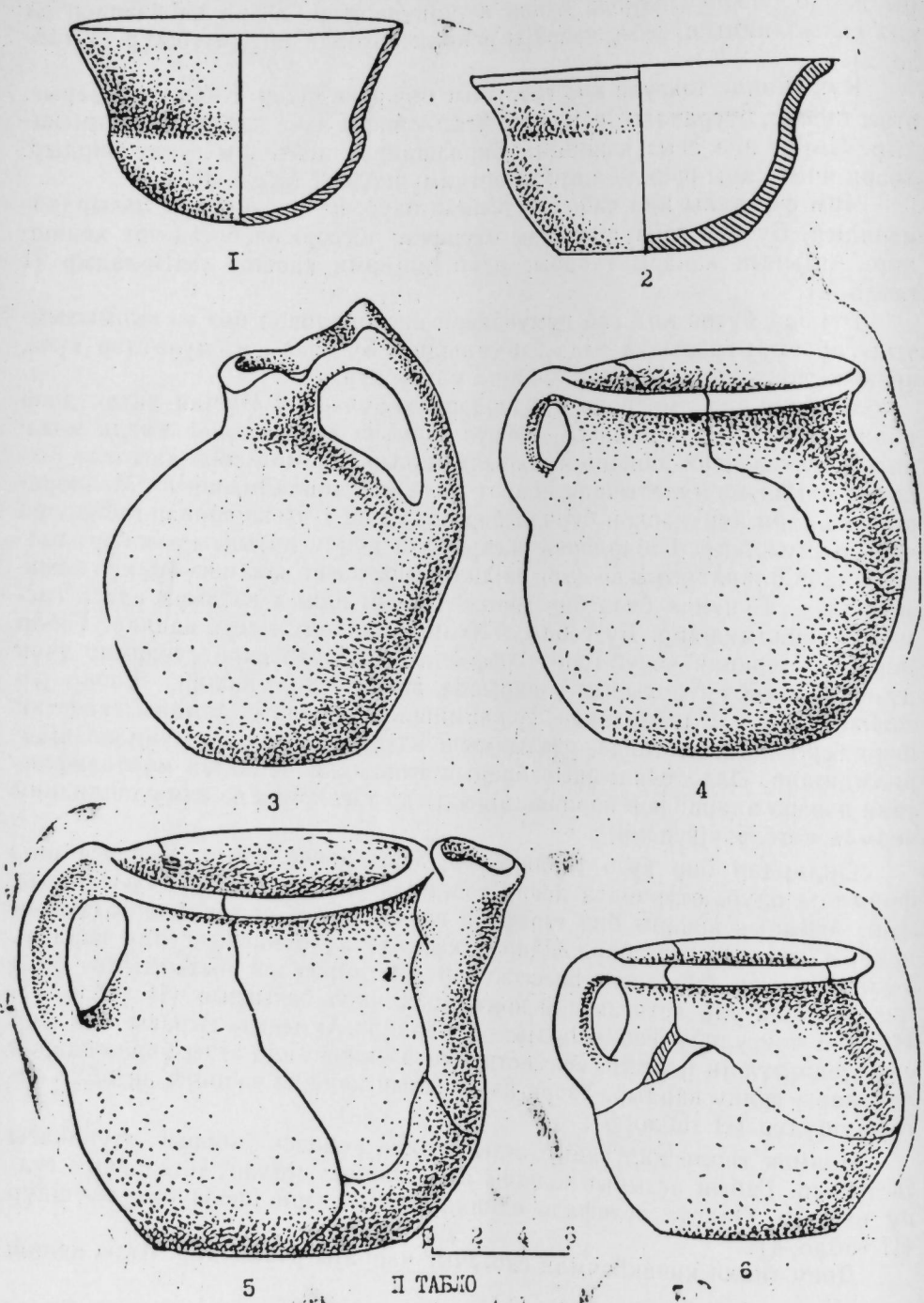
1987-чи илдә мелиорасија ишләри көрүләркән Пүсјан антик дөвр абиадәләри јенә дә дағынтыја мә'руз галмыш вә мұхтәлиф мадди мәдәниjjэт иүмүнәләри ашқара чыхарылмышдыр.* Һәмни саh диггәтлә јохланараң кил мә'мулатындан ибарәт материал топланмышдыр. Мелиорасија ишләри көрүләркән бурада бир нечә даш гуту вә торпаг гәбирләри дағыдылмышдыр. Гәбирләрин эксәриjjәти күчлү дағынтыја мә'руз галдығындан планларыны вә дәфи гајдаларыны дәгиг изләмәк мүмкүн олмашыдыр. Бунунла белә бир торпаг гәбрин планы вә дәфи адәти гисмән өjрәнилмишdir. Бу гәбир I №-ли гәбир кими геjд едилir. Гәбир яшајыш јеринин чәнуб-гәrb тәрәфиндә, әкин саhесини сувармаг үчүн дүзәлдилмиш су архынын кәнарында ашкар едилмишdir. Гәбир јер сәтһиндәn 0,5 м дәринликдә јерләшмишdir. Тәдгигат заманы скелетин шәрг-гәrb истигамәттindә, узадылмыш вәзијјәтдә олдуғу мүәjжәнләширилмишdir. Әлдә едилмиш габларын типология чәhәтдәn мұхтәлифлијини иәзэрә алараг һәр биринин аjрылыгда тәсвирини вә елми тәhилини вермәк мәгсәдәујғундур.

Онлардан бир күзә типли олуб, ағзы новчалыдыр. Көвдәси шар формалы олуб, отурачаға дөгру тәдричән јығылыр. Отурачағы ястыдыр. Ағзынын кәнары бир тәрәфдәn новчалы, дикәр тәрәфдәn ағзынын кәнары илә көвдәни бирләшdirән кәсикдә дүзбучаглы гулпу вардыр. Гулпун ағыза бирләшән һиссәси һәр икى тәрәфдәn чыхынтылы, орта һиссәси шагули истигамәтдә новча шәклиндә батыгдыр (II табло, 3). Икинчи тәкгуллуп габ чәһрајы рәнкәдәр. Ағзынын гырағы илә бир сәвијјәдә лүләji вардыр. Экс истигамәтдә көвдә илә ағзы бирләшdirән лентвары гулпу вардыр. Үзәри вә ағзынын кәнары чәһрајы аигобла өртүлмүшdур (II табло, 5).

Чөлмәк типли кил габын ағзы кениш, көвдәси габарыг, отурачағы ястыдыр. Габын ағзынын кәнары азча харичә әjилиr. Илкәквары гулпу вардыр. Очагда истифадә едилдијиндәn үзәри һислә өртүлмүшdур (II табло, 4).

Допу типли кичикhәчмли габ ачыг чәһрајы рәнкәдәr. Ағзы кениш

* Бу бурада бизә мә'лumat верән Пүсјан кәнд орта мәктәбинин мүәллими Тәрлан Маһмудова дәрин тәшәккүрмүзү билдиририк.



72

олуб, гырағы кәнара әйилмиш, көвдәси габарыг, отурачағы жастыдыр. Гулпу орта һиссәдән шагули истигамәтдә новча шәкилли батыгдыр (II табло, 6).

Чам типли кил габ кениш ағызылы олуб, дивары ағзынын гырағынан көвдәнин ортасына доғру тәдричән јығылыр. Отурачағы габарыгдыр (II табло, 1).

Јашајыш жериндә тәдигигат ишләри көрүләркән күпэ, бардаг, чам вә с. типли мәишәт аваданлыгларына да тәсадуф олунмушдур. Топланан чам гырыглары мұхтәлиф типлидир. Биринчи тип чамлар симметрик формаја малик олуб, ағзы кениш, көвдәси ашағы һиссәдә габарыг, отурачағы жастыдыр. Ағзынын гырағы кәнара әйилмишdir (II табло, 2). Иккінчи тип чамлар кениш ағызылы, жастьы отурачаглыдыр. Үзәри сары ангобла өртулмушдур (I табло, 7). Қаса типли габларын ағзы кениш, көвдәси габарыг, отурачағы жастыдыр. Үзәри ангобланмышдыр (I табло, 6). Элдә едилмиш гулп илкәквары олуб боз рәнклидир. Орта һиссәси шагули истигамәтдә новча шәклиндә батыгдыр (I табло, 5).

Пүсјан јашајыш жериндән вә гәбирләринидән әлдә едилмиш кил мә'мулатлары формаларына вә хәрактерик хүсусијәтләrinә көрә Азәрбайжанын Іалојлутәп [4, I, II, VII, XII, XXVII таблолар], Минкәчевир [5], Исмаїллы [6, XIII, XVI таблолар], Шамахы [7, II, III, IV таблолар], Гәбәлә (8, 14-чу шәкил), Чәфәрхан гәбиристанлығы [9, 3, 6, 9-чу шәкилләр] вә башга антик дөвр абидәләринин материаллары гәлә еңијјәт тәвшил едир. Йәмчииин керамика мә'мулатларынын аналойијалары Күрчустан ССР әразисинде Алазан вадисинидә [10, II — VI таблолар], Дағыстан МССР әразисинде Гарабудагқәнд гәбиристанлығындан [11, 3, 4, 10, 21, 22-чи шәкилләр], Ермәнистан ССР-дә Двина дән [12, 11 — 12] вә б. абидәләрдән мә'лумдур.

Материалларын мұғајисәли тәһлили көстәрир ки, Пүсјан абидәләри антик дөврүн мәрһәләләрини әнате едир. Ашқар олунмуш сахсы мә'мулатынын формаларындағы мұхтәлифлиji иәзәрә алараг мәдәни тәбәгәнин вә һәмдөвр гәбиристанлығын е. ә. I миниlliјини сону — ерамызың әvvәлләринә аид олдуғуну еңтимал етмәк олар. Пүсјан абидәләринин таптылтылары Нахчыван МССР әразисинде антик дөврдә керамика истенсалында сәнәткарлығын јүксәк инкишаф етдијини көстәрир. Көстәрилән әразидә кениш елми тәдигигат ишләри апарылмасы гәдим тарихимизә аид чохлу гијматли мадди мәнбәләрни әлдә едилмәсисиң комәк едәр.

Әдәбијјат

- Сысоев, В. В. Нахичевань — на Араксе и древности Нах. АССР. (Отчет о поездке летом 1926 г.). Изв. Азкомистариса, вып. IV. — Баку, 1929.
- Элијев В. Һ. Нахчыван шәһәринин антик дөврү күп гәбири абидәләри. — Азәрб. ССР ЕА Хәбәрләри, тарих, фәлсәфә вә һүгуг серијасы, 1976, № 1.
- Илич район Тарих-Дијаршүаслыг Музеи. Дахили китаб, № 82, 89, 126, 129.
- Исмизаде О. Ш. Ялойлутепинская культура. — Баку, 1956.
- Газијев С. М. Күп гәбириләр албому. — Бакы, 1960.
- Османов Ф. Л. Гафгаз Албанијасынын мадди мәдәнијјәти. — Бакы, 1982.
- Хәлилов Ч. Ә. Хыныслы гәдим јашајыш жер. — Азәрб. ССР ЕА Хәбәрләри, ичтимай елмлар серијасы, 1961, № 3.
- Бабаев И. А., Әмәдәв Г. М. Гәбәлә. — Бакы, 1981.
- Пассек Т. С. Джарханский могильник. — ВДИ, 1946, № 2.
- Ниоразде Г. К. Раскопки в Алазанской долине. — Груз. ФАН СССР, 1940.
- Смирнов К. Ф. Грунтовые могильники албано-сарматского времени у сел. Карабудаккент. — Материалы по археологии Дагестана, II чилд, Маңац-Гала, 1961.

12. Хачатрян Ж. Д. Материальная культура древней Армении в V в. до н. э.—IV.—Автореф. дис. канд. ист. наук.—Ереван, 1966.

Азәрбајҹан ССР ЕА Тарих Институту
Археолоџија вә Этнографија сектору

Алынышдыр 17. V. 1988

А. Г. Бадалов

ГЛИНЯНЫЕ СОСУДЫ АНТИЧНОГО ПЕРИОДА ИЗ С. ПУСЯН

При земляных работах, вблизи с. Пусян Ильичевского района Нахичеванской АССР, обнаружены различные археологические материалы. Нахичеванской археологической экспедицией была осмотрена местность и установлено, что здесь расположено поселение и могильник. Собранные различные глиняные сосуды и их обломки. Они формировались от руки и хорошо обожжены. Эти находки датируются концом I тыс. до н. э.—первыми веками н. э.

A. G. Badalov

POTTERY OF THE ANCIENT PERIOD FROM PUSIAN VILLAGE

In time of the excavation works near Pusian village (Nakhichevan ASSR) some archaeological materials were found.

This territory was observed by Nakhichevan archaeological expedition, which established that there were the settlement and the cemetery, some pottery and its fragments were collected here (Pl. I, II). Vessels were made without wheel. They are wellburned. These samples are dated from the end of the I millennium B. C. till I century A. D.

МУНДЭРИЧАТ

Ријазијјат

Ә. Д. Чәбрајылов, Н. И. Гулијев. Үмуми һамарлыглы функцијалар фәзасы үчүн аралыг дахиолма теоремләри 3

Јарымкечиричиләр физикасы

Ә. Ш. Абдинов, А. М. Һүсейнов, Л. Н. Мулана, Ј. Г. Нуруллајев, М. М. Сеидов. Лайвары индиум вә галиум-сelen монокристалларыда мәнфи фотокечиричилүүнү хүсүнүйтләри 7

Н. А. Арајса, Н. Х. Эждеров. Көрмәнүм-силисүм бәрк мәйлүллары кристалларында гәфәс рәгсләриндән сәпилмәләр заманы дешикләрин јүрүклүйү 12

Т. С. Эбилова, Ф. А. Гәдимова, К. А. Гәнбәрова, Р. М. Эймәдов. Мүхтәлиф информасијаларда β -аллиламинбутиронитрил молекулунун инфрагырмизы спектринин иэзәри несабаты 15

С. Ә. Һачыјев, Т. О. Бајрамова. Янг-Миллс иэзәрийјәснинде С-зәррәчијин Грин функцијасының тәддиги 21

Үзви кимја

Д. Н. Хыдыров, Н. В. Липушкина, А. К. Әрәбов, М. М. Һәсәнова, Р. А. Бабаканов, С. Ш. Вердијева. 1-фенил—3-алкоксипропилдиразин—1-ин синтези вә тәддиги 25

Гејри-үзви кимја

А. Д. Гулијев, Г. Н. Кириченко, Р. М. Масагутов, Т. Н. Шахтахтински. Актив алюминий һидрокениндә температуралы тә'сириндей фаза чөврилмәләриниң өјрәнилмәси 29

Физики кимја

Б. А. Җадашов, С. Б. Агајева, С. М. Мәммәдов, Е. Н. Попова, Ә. Ә. Сарычанов. Тәркибиндә надир торпаг элемент катионлары олан Pd —јүксәк силисүмлү сеолит үзәриндә и-пентаның изомерләшмә реаксијасы 32

Биокеокимја

А. Әлизадә, Ш. Б. Асланов. Биологи һадисәләрин бә'зи биокеокимјави аспектләри 36

Агрокимја

Ә. Н. Күләмәдов, П. Б. Заманов, С. Б. Зејналов. Үзви вә минерал күбрәләри верилмәснинде гарғыдалы биткиси тәрәфииндей азоту, фосфору вә калийнүү көтүрүлмәси 40

Ботаника

Н. А. Мәммәдов, С. Ф. Әлијев. Амброзија—Абшеронун јени адвентив алаг биткисидир. 45

Кеоботаника

В. Ч. Һачыјев, Е. Р. Дашидәмирова, Ф. Х. Нәбијева, А. А. Асланов. Үчүнчү дөвр Боздағ силсиләсниниң битки өртүйүнү инишаф ритмләри 48

<i>М. Э. Гасымов, Т. А. Гасымова, В. И. Мамедов.</i> Гырмызы јеинити бојасы	53
<i>Л. Э. Агаев.</i> Инсанын бел симпатик дүйүләриндә мономаминооксидаза актив	
хромоффин вә триптамин позитив иејроситләр	57
Әдәби тәрчүмә	
<i>М. З. Нагыев.</i> XIX әср Азәрбајҹан тәрчүмә әсәри «Тутинамә»	61
Мусигишинаслыг	
<i>P. H. Элијева.</i> Азәрбајҹан халг мусигиси жаңарларында вариасија принципләри	65
Археолокија	
<i>Ә. Һ. Бәдәлов.</i> Пүсјан антик дөвр кил габлары	69

СОДЕРЖАНИЕ

Математика	
<i>Джабраилов А. Д., Гулиев Н. И.</i> Промежуточные теоремы вложения про-	3
странств функций с обобщенной гладкостью	
Физика полупроводников	
<i>Абдинов А. Ш., Гусейнов А. М., Муллина Л. Н., Нуруллаев Ю. Г., Сеидов</i>	7
М. М. Особенности отрицательной фотопроводимости в монокристаллах слоистых полупроводников селенидов индия и галлия	
<i>Агаев Н. А., Аждаров Г. Х.</i> Подвижность дырок в кристаллах твердых растворов германий-кремний при рассеянии на колебаниях решетки	12
Теоретическая физика	
<i>Абилова Т. С., Кадымова Ф. А., Ганбарова К. А., Ахмедов Р. М.</i> Теоретический расчет ИК-спектров молекулы β -аллиламинообутиронитрила в различных конформациях	16
<i>Гаджиев С. А., Байрамова Т. О.</i> Исследование функции Грина «духа» в калибровочной теории	21
Органическая химия	
<i>Хыдыров Д. Н., Липушкина Н. В., Арабов А. К., Гасanova М. M., Бабаханов Р. А., Вердиева С. Ш.</i> Синтез и исследование 1-фенил-3-алкоксипропилгидразинов-1	25
Неорганическая химия	
<i>Кулиев А. Д., Кириченко Г. Н., Масагутов Р. М., Шахтахтинский Т. Н.</i> Изучение фазовых превращений активного гидрогеля алюминия под воздействием температуры	29
Физическая химия	
<i>Дадашев Б. А., Агаева С. Б., Мамедова С. М., Попова Е. Н., Сарыджанов</i>	32
Л. А. Изомеризация <i>H</i> -пентана на Pd—СВК-цеолитах, содержащих катионы редкоземельных элементов	
Биогеохимия	
<i>Али-заде Ак. А., Асланов Ш. Б.</i> Некоторые биогеохимические аспекты биособытий	36
Агрономия	
<i>Гюльахмедов А. Н., Заманов П. Б., Зейналов С. Б.</i> Вынос азота, фосфора и калия растениями кукурузы из внесенных органических и минеральных удобрений	40
Ботаника	
<i>Мамедов Н. А., Алиева С. Ф.</i> Амброзии — новые адвентивные сорняки Апшерона	45
Геоботаника	
<i>Асланов А. А., Гаджиев В. Д., Дашибамирова Э. Р., Набиева Ф. Х.</i> Ритмы развития растительности третичного плато Боздага	48

Прикладная ботаника	
<i>Касумов М. А., Касумова Т. А., Мамедов В. И. Красный пищевой краситель</i>	53
Гистология	
<i>Агаев Я. А.Monoаминооксидазная активность хромаффинных клеток и триптаминпозитивных нейроцитов поясничных симпатических ганглиев человека</i>	57
Художественный перевод	
<i>Нагиев М. З. Азербайджанское переводное сочинение XIX века «Тутинаме»</i>	61
Музыковедение	
<i>Алиева Р. Г. Вариационные принципы развития в жанрах азербайджанской народной музыки</i>	65
Археология	
<i>Бадалов А. Г. Глиняные сосуды античного периода из с. Пусян</i>	69

Сдано в набор 6.03.89 г. Подписано к печати 26.06.89. ФГ 10265. Формат бумаги 70×100¹/₁₆. Бумага типографская № 1. Гарнитура шрифта литературная. Печать высокая. Усл. печ. лист 6,5. Усл. кр.-от. 6,5. Уч.-изд. лист 5,45. Тираж 550. Заказ 272. Цена 70 коп.

Издательство «Элм».
370143 Баку-143, проспект Нариманова, 31, Академгородок,
Главное здание
Государственный комитет Азербайджанской ССР по делам издательств, полиграфии
и книжной торговли.
Производственное промышленное объединение по печати.
Типография «Красный Восток». Баку, ул. Ази Асланова, 80.

9. Текст статьи печатается на белой бумаге через два интервала на одной странице листа стандартного размера, с полями с левой стороны (не более 28 строк из одной страницы по 58—60 знаков в строке). В тексте нельзя делать рукописные пеставки и вклейки.

Статьи, напечатанные на портативной машинке, не принимаются.

10. Текст статьи должен быть изложен кратко, тщательно отредактирован и подписан авторами в печать. В математических статьях желательно избегать доказательства теорем, лемм и т. п. При использовании в тексте сокращенных названий (кроме общепринятых) необходимо давать их расшифровку.

11. Математические и химические формулы и символы в тексте должны быть вписаны четко. Следует избегать громоздких обозначений, применяя, например, дробные показатели степени вместо радикалов, а также \exp . Занумерованные формулы обязательно включаются в красную строку, номер формулы ставится у правого края страницы. Желательно нумеровать лишь те формулы, на которые имеются ссылки. Подстрочные и надстрочные индексы и степени следует отмечать карандашом, дугами сверху и снизу:

$$k^n r_n$$

Греческие буквы нужно обводить (в кружок) красным карандашом. Буквы готического шрифта и рукописные в рукописях не использовать, векторные величины — подчеркивать черным, буквы латинского рукописного шрифта следует отметить на полях (например, И рукоп.).

Во избежание ошибок следует четко обозначать прописные (заглавные) и строчные буквы латинского алфавита, имеющие сходное начертание (Ca ; Kk ; Pp ; Oo ; Ss ; Uu ; Vv ; и т. д.), буквы $I(i)$ и $J(j)$ букву I и римскую единицу I , а также арабскую цифру I и римскую I' , (вертикальная черта), I и штрих в индексах, I (латинское эль) и e . Прописные буквы подчеркивают карандашом двумя черточками снизу (C), а строчные — сверху (c).

Следует избегать знаков типа \sim (волна), $\odot \oplus, \otimes; \square, \boxed{I}, \diamond \vee \wedge$ (крышки) над и под буквами, а также знаков:

$$h \mathbf{x} \notin \phi \dot{\psi}, \phi, \emptyset$$

Латинские названия вписываются на машинке.

Слова «теорема», «лемма», «следствие», «определение», «замечание» и т. п. следует подчеркивать штриховой чертой, а текст утверждений типа теорем—волнистой чертой (исключая математические символы).

При выборе единиц измерения рекомендуется придерживаться международной системы единиц СИ.

12. При описании методики исследования следует ограничиваться оригинальной ее частью. При элементном анализе приводить только усредненные данные.

13. Необходимо тщательно проверить написание местных географических названий.

14. Цитированная литература проводится общим списком на отдельной странице: ссылки в тексте даются порядковым номером в круглых скобках над строкой (например, ¹). Список литературы оформляется следующим образом:
для книг: инициалы и фамилии авторов, полное название книги, место и год издания;

для журнальных статей, инициалы и фамилии авторов, название журнала, номер тома, номер выпуска, страница и год издания.
Ссылки на неопубликованные работы не допускаются.

15. Все статьи должны иметь резюме на английском языке, кроме того, статьи, написанные на русском и азербайджанском языках, должны иметь резюме на азербайджанском и на русском соответственно.

Публикация статьи в «Докладах» не препятствует напечатанию расширенного ее варианта в другом периодическом издании.

70 гэп.
коп.

Индекс
76355